



## ใบรับรองวิทยานิพนธ์

บัณฑิตวิทยาลัย มหาวิทยาลัยเกษตรศาสตร์

วิทยาศาสตร์มหาบัณฑิต (เทคโนโลยีชีวภาพ)

บริษัทฯ

เทคโนโลยีชีวภาพ

เทคโนโลยีชีวภาพ

สาขา

ภาควิชา

เรื่อง การคัดกรองเชื้อรากที่ผลิตเปปไทโนอิดิกส์โดยใช้เทคนิคทางชีวโมเมลกุล

Molecular Screening for Peptaibiotics Producing Fungi

นามผู้วิจัย นางสาวสโตรชา ปัญจนวนพร

ได้พิจารณาเห็นชอบโดย

อาจารย์ที่ปรึกษาวิทยานิพนธ์หลัก

( ผู้ช่วยศาสตราจารย์สุทธิพันธ์ แก้วสมพงษ์, Ph.D. )

อาจารย์ที่ปรึกษาวิทยานิพนธ์ร่วม

( อาจารย์ชนกุล ชูตระกูร, Ph.D. )

หัวหน้าภาควิชา

( รองศาสตราจารย์สุนិษ์ นิชิสินประเสริฐ, D.Sc. )

บัณฑิตวิทยาลัย มหาวิทยาลัยเกษตรศาสตร์รับรองแล้ว

( รองศาสตราจารย์กัญจนा ชีระกุล, D.Agr. )

คณบดีบัณฑิตวิทยาลัย

วันที่ ..... เดือน ..... พ.ศ. ....

วิทยานิพนธ์

เรื่อง

การคัดกรองเชื้อราที่ผลิตเป๊ปไทด์ในโอดิกส์โดยใช้เทคนิคทางชีวเคมี

Molecular Screening for Peptaibiotics Producing Fungi

โดย

นางสาวสโรชา ปัญจนาพร

เสนอ

บัณฑิตวิทยาลัย มหาวิทยาลัยเกษตรศาสตร์

เพื่อความสมบูรณ์แห่งปริญญาวิทยาศาสตร์ธรรมชาติ (เทคโนโลยีชีวภาพ)

พ.ศ. 2551

สโروح ปัญจนวพร 2551: การคัดกรองเชื้อร่าที่ผลิตเปีปไบโอดิกส์โดยใช้เทคนิคทางชีวเคมี ปริญญาวิทยาศาสตรมหาบัณฑิต (เทคโนโลยีชีวภาพ) สาขาวิชาเทคโนโลยีชีวภาพ ภาควิชาเทคโนโลยีชีวภาพ อาจารย์ที่ปรึกษาพานิพันธ์หลัก: ผู้ช่วยศาสตราจารย์สุทธิพันธุ์ แก้วสมพงษ์, Ph.D. 96 หน้า

เปีปไบโอดิกส์ (peptaibiotics) เป็นสารปฏิชีวนะในกลุ่มเปีปไทด์สายยาว 5 – 21 อะเซติวิส ประกอบด้วย  $\alpha$ -aminoisobutyric acid (Aib) และกรดอะมิโนไม่มาตรฐาน การสังเคราะห์เปีปไบโอดิกส์เป็นระบบ non – ribosomal system โดยกลุ่มเอนไซม์ non – ribosomal peptide synthetases (NRPSs) ที่ควบคุมโดยยีน *nrps* การค้นพบและศึกษาสารกลุ่มนี้ที่มีรายงานมาก่อน นิยมใช้เทคนิคทางเคมี งานวิจัยนี้มีเป้าหมายในการใช้เทคนิคทางชีวเคมี โดยการพัฒนาไพร์เมอร์จำเพาะสำหรับกระบวนการพีซีอาร์เพื่อคัดกรองเชื้อร่าที่ผลิตเปีปไบโอดิกส์ ตลอดการศึกษามีเชือความคุณการทดลอง คือ *Trichoderma asperellum* BCC12530 การทดสอบกระบวนการคัดกรองเชื้อร่าที่ผลิตเปีปไบโอดิกส์โดยมีตัวอย่างเชื้อร่าทั้งหมด 57 สายพันธุ์ พบว่าเทคนิคพีซีอาร์กับไพร์เมอร์จำเพาะสามารถใช้คัดกรองเชื้อร่าได้ในระดับเบื้องต้นเท่านั้น โดยเชือที่พนยืนมีมากกว่าเชือที่ผลิตเปีปไบโอดิกส์ได้ริง 1.87 เท่า และอาจบอกได้ว่าเทคนิคพีซีอาร์กับไพร์เมอร์มีความจำเพาะน้อยกว่าเทคนิคอื่นที่ใช้ในการศึกษานี้ ซึ่งการคัดกรองจะมีประสิทธิภาพสูงขึ้นเมื่อวิเคราะห์ควบคู่กับการตรวจสอบกรดอะมิโน Aib ด้วย Thin Layer Chromatography (TLC) และการทดสอบกิจกรรมการยับยั้งทางชีวภาพ ซึ่งพบว่าสามารถขัดกับกลุ่มเชื้อร่าที่คาดว่ามีการสังเคราะห์เปีปไบโอดิกส์ได้ และพบเชือที่น่าสนใจควรศึกษาในลำดับต่อไป ได้แก่ *Clonostachys rogersiana* BCC4862 และ *Mariannaea campylospora* BCC12193 จากงานวิจัยนี้สามารถกล่าวได้ว่าเทคนิคพีซีอาร์และไพร์เมอร์มีประสิทธิภาพเพียงพอ ใช้คัดกรองและค้นหาเชื้อร่าสายพันธุ์ต่าง ๆ ที่อาจมีความสามารถในการผลิตเปีปไบโอดิกส์ได้ในระดับเบื้องต้น

Sarocha Panchanawaporn 2008: Molecular Screening for Peptaibiotics Producing Fungi. Master of Science (Biotechnology), Major Field: Biotechnology, Department of Biotechnology. Thesis Advisor: Assistant Professor Suttipun Keawsompong, Ph.D. 96 pages.

Peptaibiotics are defined as a group of polypeptide antibiotics that contain the  $\alpha$ -aminoisobutyric acid (Aib) and have been shown to have a wide spectrum of biological activities. The synthesis of peptaibiotic compound involves a non-ribosomal system based on peptide synthase (*nrps*) genes. A wide variety of novel forms of these compounds have been discovered and identified solely on chemical techniques. The present work used established PCR strategies in a screening for peptaibiotic producing fungi. The putative peptaibiotics producing strain, *Trichoderma asperellum* BCC12530, was used to identify the relevant genes and prove the peptaibiotics producing, and compared with TLC analysis and bioassays. These protocols were adapted to screen 57 strains of various filamentous fungi. Molecular screening by PCR with specific primers was less specific to target the peptaibiotic producing fungi than other methods used in this study. The strains presenting *nrps* gene from the total fungal isolates were 1.87 times more than another two screening methods. Chemical and bioassay analyses could be used, together with the molecular approach for the efficient screening of peptaibiotic producing fungi, some of which have been previously reported to produce peptaibiotics. *Clonostachys rogersoniana* BCC4862 and *Mariannaea camptospora* BCC12193 showed interesting results indicating the gene and Aib related to peptaibiotic production. This capability will be used for further primary screening of peptaibiotics from other sources and the results validated as the potential screening protocols.

---

Student's signature

---

Thesis Advisor's signature

/ /

## กิตติกรรมประกาศ

ข้าพเจ้าขอกราบขอบพระคุณ พศ.ดร. สุทธิพันธุ์ แก้วสมพงษ์ กรรมการที่ปรึกษา และ อ. ดร. ชนกุล ชูตระกูร กรรมการ ที่ได้ช่วยเหลือในการวางแผนการทำวิจัยของวิทยานิพนธ์ ฉบับนี้ ตลอดจนการให้คำปรึกษาแนะนำอบรมสั่งสอนในทุกเรื่องตลอดการทำงานวิจัยและการตรวจทานแก่ไขวิทยานิพนธ์ฉบับนี้ ขอกราบขอบพระคุณ รศ.ดร. สุนีย์ นิธิสินประเสริฐ ประธาน การสอนและ อ. ดร. จันทร์ ปัญญา ผู้ทรงคุณวุฒิภายนอก ที่กรุณาให้คำปรึกษาแนะนำ และช่วยเหลือในการทำวิทยานิพนธ์ฉบับนี้ให้สำเร็จลุล่วงไปได้ด้วยดี และขอกราบขอบพระคุณอาจารย์ทุกท่านที่ได้อบรมสั่งสอนให้ความรู้ด้านสำเร็จการศึกษาในครั้งนี้

ขอขอบพระคุณ ดร. ปัทมา พิทยาจารุติ และ ดร. ชลธรัชต์ บุญลากประดับ ห้องปฏิบัติการ วิจัยทรัพยากรชีวภาพ หน่วยปฏิบัติการ Bioresources Technology ดร.สิทธิรักษ์ รอยตระกูล ห้องปฏิบัติการบริการโพรติโอมิก สถาบันจีโนม และ ดร.วรรณพ วิเศษสงวน ห้องปฏิบัติการ เทคโนโลยีชีวภาพทางอาหาร หน่วยปฏิบัติการวิจัยกลางไบโอเทคโนโลยีพันธุ์ชีวกรรมและ เทคโนโลยีชีวภาพแห่งชาติ ที่ให้คำปรึกษาแนะนำต่าง ๆ ตลอดจนให้ความช่วยเหลือในส่วนของการวิเคราะห์มวลด้วยเทคนิค HPLC, LC/ESI-MS และ MALDI-TOF เป็นอย่างดี ทำให้การวิจัยนี้สำเร็จลุล่วงไปได้

ขอขอบพระคุณสำนักงานพัฒนาวิทยาศาสตร์และเทคโนโลยีแห่งชาติ (สวทช.) ที่ให้ทุน สถาบันบัณฑิตวิทยาศาสตร์และเทคโนโลยีไทย (พ.ศ. 2549) และบัณฑิตวิทยาลัย มหาวิทยาลัยเกษตรศาสตร์ ที่ให้ทุนอุดหนุนการค้นคว้าและวิจัยประภพวิทยานิพนธ์ (พ.ศ. 2550)

ขอขอบคุณ เพื่อน ๆ พี่ ๆ และน้อง ๆ ในห้องปฏิบัติการ รวมทั้งเพื่อนร่วมรุ่นปริญญาโท ทุกคน ที่เคยให้คำปรึกษาแนะนำ และร่วมทุกช่วงสุขกันมา ขอบคุณพี่ ๆ เจ้าหน้าที่ทุกท่านที่ให้ความช่วยเหลือ และอำนวยความสะดวกในด้านต่าง ๆ เสมอมา

สุดท้ายนี้ขอขอบพระคุณ คุณพ่อ คุณแม่ พี่สาวและน้องชาย ที่เคยสนับสนุน ให้ความรัก และให้กำลังใจในทุก ๆ เรื่อง ซึ่งเป็นสิ่งที่สำคัญที่สุดในการทำวิทยานิพนธ์ครั้งนี้

สรชา ปัญจนาพร  
กรกฎาคม 2551

## สารบัญ

หน้า

สารบัญ	(1)
สารบัญตาราง	(2)
สารบัญภาพ	(5)
คำนำ	1
วัตถุประสงค์	2
การตรวจเอกสาร	3
อุปกรณ์และวิธีการ	22
ผลและวิจารณ์	37
สรุป	74
เอกสารและสิ่งอ้างอิง	76
ภาคผนวก	86
ภาคผนวก ก. เทคนิคทางชีวสารสนเทศและชีวโมเมเลกุล	87
ภาคผนวก ข. ข้อมูลจากการทดลอง	92
ประวัติการศึกษาและการทำงาน	96

## สารบัญตาราง

ตารางที่	หน้า
1 เชื้อราที่มีรายงานว่าเกี่ยวข้องกับการสังเคราะห์สารปฎิชีวนะในกลุ่มไทยใบโอลิกส์ 7	
2 การเปรียบเทียบเนื้อไขมันพื้นฐานของการสังเคราะห์เปปไทด์หรือโปรตีนทั้ง 2 ระบบ คือ ระบบโรโนไซมและไม่ใช่โรโนไซม 8	
3 ลำดับกรดอะมิโนในส่วน consensus sequence motifs ที่มีบริเวณอนุรักษ์สูงของแต่ละโคเด็นในเนื้อไขมัน NRPSs 12	
4 ลำดับกรดอะมิโนลักษณะของยีน tex1 ในโคเด็น A ของเชื้อรา <i>T. virens</i> 19	
5 เชื้อราจาก BCC สายพันธุ์ที่มีรายงานและคาดว่าสามารถผลิตเปปไทด์ใบโอลิกส์ทั้งหมด 49 สายพันธุ์ 22	
6 แสดงเชื้อ <i>Hypocrea</i> หรือ <i>Trichoderma</i> ที่แยกจากตัวอย่างดิน 24	
7 เปอร์เซ็นต์ของสารละลายระหว่างน้ำและอะซิโตในไครท์ (ACN) ในการวิเคราะห์ HPLC 29	
8 ไฟร์เมอร์ที่ใช้ในการศึกษาคัดกรองเชื้อรา 31	
9 การวิเคราะห์ปริมาณโปรตีนในสารสกัดเชื้อ <i>T. asperellum</i> BCC 12530 จากอาหารเลี้ยงเชื้อ 3 % ME ที่เติมกรดอะมิโน Aib ความเข้มข้นต่างๆ 38	
10 กิจกรรมการยับยั้ง <i>B. cereus</i> ATCC 11778 โดยเปรียบเทียบกันระหว่างสารสกัดของ <i>T. asperellum</i> BCC 12530 ก่อนและหลังการทำให้บริสุทธิ์ bằngส่วนด้วย TLC 46	
11 ค่า m/z จากการวิเคราะห์ LC/ESI-MS ในรูปแบบ doubly และ singly charges ของสารสกัด <i>T. asperellum</i> BCC 12530 54	
12 การวิเคราะห์มวลของ trichotoxins ที่มีการรายงานมาแล้ว 54	
13 ชื่อยีน รหัส และเชื้อราจากฐานข้อมูลธนาคารยีน NCBI สำหรับออกแบบไฟร์เมอร์คู่ C4F&C6R 56	
14 องค์ประกอบที่เหมาะสมต่อปฎิกริยาพิชีอาร์และไฟร์เมอร์แต่ละคู่ 61	
15 การคัดกรองและแบบแบนกลุ่มเชื้อราเป็น 6 กลุ่ม โดยการคัดกรองยีนที่เกี่ยวข้องกับการผลิต การตรวจสอบกรดอะมิโน Aib และการทดสอบยับยั้งเชื้อก่อโรค 64	

## สารบัญตาราง (ต่อ)

ตารางที่	หน้า
16 การศึกษาโคลนจากไพร์เมอร์ C2F&C5R โดยโปรแกรม Blastp version 2.2.18+ 17 ลำดับสัญลักษณ์ของเชื้อ <i>T. asperellum</i> BCC12530 และ <i>H. lixii</i> BCC488 จากลำดับกรดอะมิโนที่ได้จากการทำพีซีอาร์กับไพร์เมอร์ C2F&AibR	68 73
 <b>ตารางผนวกที่</b>	
ก1 การระบุสายพันธุ์เชื้อโดยการศึกษาลำดับนิวคลิโอล์ที่ส่วนของยีน ITS1, 5.8s และ ITS2 ด้วยไพร์เมอร์ ITS1&ITS4 ข1 เปรียบเทียบการวิเคราะห์กิจกรรมการยับยั้งเชื้อ <i>B. cereus</i> ATCC 11778 ระหว่างเทคนิค Agar well plate และ microdilution assay ข2 การวิเคราะห์สารสกัดต่อการยับยั้งแบคทีเรียแกรมบวก <i>B. cereus</i> ATCC 11778 ด้วยเทคนิค microdilution assay ข3 การวิเคราะห์สารสกัดต่อการยับยั้งแบคทีเรียแกรมลบ <i>E. coli</i> ATCC 25922 ด้วยเทคนิค microdilution assay ข4 การวิเคราะห์สารสกัดต่อการยับยั้งเชื้อรากษล์เดียว <i>C. albicans</i> ATCC 90028 ด้วยเทคนิค microdilution assay	87 92 93 94 95

## สารบัญภาพ

ภาพที่	หน้า
1 องค์ประกอบของเปปไทด์ในโอดิกที่จำเพาะ (uncommon constituent) กรดอะมิโนแบบไม่มาตรฐานหรือกรดอะมิโน	4
2 ลำดับกรดอะมิโนที่เป็นสมาชิกของเปปไทด์โอดิกในแต่ละ subfamilies; SF 1 – 9 และกรดอะมิโน Aib หรือ U	6
3 เอนไซม์พื้นฐานที่จำเป็นสำหรับการสังเคราะห์เปปไทด์หรือโปรตีน ก.) แบบระบบໄรโนไซม์ และ ข.) ระบบไม่ผ่านໄรโนไซม์	8
4 โนมูลและโ dik เมนของเอนไซม์ NRPSs หรือ PES	10
5 ภาพจำลองโครงสร้างของโนมูลในเอนไซม์ NRPSs ประกอบด้วยส่วนที่เป็นลำดับอนุรักษ์บนแต่ละ โ dik เมน	11
6 โครงสร้างสารเมตาบอไลต์จากกระบวนการสังเคราะห์แบบไม่ผ่านໄรโนไซม์ โดยแบ่งกลุ่มตามการออกฤทธิ์ทางชีวภาพ	13
7 รูปแบบการเกิด membrane permeation ของสารปฏิชีวนะ amphipathic $\alpha$ -helical linear peptide	16
8 แบบจำลองการระบุตำแหน่งของลำดับกรดอะมิโนสัญลักษณ์ (signature sequence หรือ binding-pocket constituent) และส่วนที่เป็น core sequences เป็นลำดับที่มีความอนุรักษ์สูง	19
9 องค์ประกอบสำคัญ 3 ส่วนของเครื่องวัดสเปกตรัมมวล	20
10 วิธีการสกัดสาร (Extraction) I – III และขั้นตอนการสกัดสาร	25
11 การวิเคราะห์กรดอะมิโนโดย TLC เพื่อเปรียบเทียบอาหารเลี้ยงเชื้อ PDB และการเติมกรดอะมิโนอิสระ Aib	36
12 การตรวจสอบกรดอะมิโนในสารสกัดโดยวิธี TLC เพื่อเปรียบเทียบปริมาณกรดอะมิโน Aib อิสระที่เติมในอาหาร 3 % ME เลี้ยงเชื้อ <i>T. asperellum</i> BCC 12530	38
13 กิจกรรมการขับยั้งเชื้อ <i>B. cereus</i> ด้วยเทคนิคดูดซับสารในหลุมอาหารแข็งของสารสกัดจากเชื้อราตัวอย่าง	39
14 โครงสร้างยาปฏิชีวนะที่ใช้ในการศึกษาวิธีการสกัดสารแบบที่ III	41

## สารบัญภาพ (ต่อ)

ภาพที่	หน้า
15 % recovery ของ gramicidin, bacitracin และ amphotericin B เมื่อสกัดด้วยวิธีแบบที่ III	41
16 การทำให้สารสกัดจากเชื้อ <i>T. asperellum</i> BCC 12530 บริสุทธิ์บางส่วนโดย Thin Layer Chromatography (TLC)	42
17 การทดสอบยับยั้ง <i>B.cereus</i> ATCC 11778 โดยเทคนิค agar well diffusion	44
18 การเปรียบเทียบวิธีการทดสอบการยับยั้งแบนค์ที่เรียของสารสกัดโดยเทคนิค agar well diffusion และ microdilution	45
19 การเปรียบเทียบระบบเฟสเคลื่อนที่ในเทคนิค TLC	47
20 การตรวจสอบกรดอะมิโนโดยเปรียบเทียบกันระหว่างสารสกัดก่อนและหลังการทำให้บริสุทธิ์บางส่วนด้วย TLC จาก <i>T. asperellum</i> BCC 12530	48
21 การวิเคราะห์กรดอะมิโนด้วย HPLC โดย AccQ•Tag <sup>TM</sup> method	49
22 แสดงการวิเคราะห์กรดอะมิโนด้วยเทคนิค TLC กับสารสกัดเชื้อราทึ้งหมด 27 สายพันธุ์	51
23 การวิเคราห์มวลโดยเทคนิค LC-ESI/MS	53
24 แบบจำลองบางส่วนของขีน pes โดยประกอบด้วย A, T และ C-domain และตำแหน่งของไพร์เมอร์ทั้ง 3 คู่ คือ C2F&C5R, C4F&C6R และ C2F&AibR	55
25 การทดสอบหาอุณหภูมิ annealing ที่เหมาะสมของไพร์เมอร์ C2F&C5R	57
26 การหาองค์ประกอบและสภาพะที่เหมาะสมในการทำพีซีอาร์ของไพร์เมอร์ C4F&C6R	58
27 การหาองค์ประกอบและสภาพะที่เหมาะสมในการทำพีซีอาร์ของไพร์เมอร์ C2F&AibR โดยการปรับความเข้มข้น MgCl <sub>2</sub> และไพร์เมอร์ทั้ง 2 ด้าน	59
28 การทดสอบหาอุณหภูมิ annealing ที่เหมาะสมในการทำพีซีอาร์ของไพร์เมอร์ C2F&AibR	60
29 สภาวะ อุณหภูมิ และเวลาที่เหมาะสมต่อปฏิกิริยาพีซีอาร์และไพร์เมอร์แต่ละคู่	61
30 การทำพีซีอาร์จากจีโนมดีเอ็นเอของ <i>T. asperellum</i> BCC12530 (เชื้ออ้างอิง) กับไพร์เมอร์ C2F&C5R, C4F&C6R และ C2F&AibR	61

## สารบัญภาพ (ต่อ)

ภาพนวนที่	หน้า
ก1 การทำ multiple alignment โดยใช้โปรแกรม ClustalW (version 2) ของ ข้อมูลลำดับกรดอะมิโนเพื่อออคแบบไพร์เมอร์ C4F&C6R	88
ก2 การทำ multiple alignment ส่วน A-domain ของกรดอะมิโน Aib จาก ฐานข้อมูล NCBI โดยโปรแกรม CLUSTAL W (2) และตำแหน่งไพร์เมอร์ C2F&AibR	91

# การคัดกรองเชื้อราที่ผลิตเปปไทด์ในโอดิกส์โดยใช้เทคนิคทางชีวโมเลกุล

## Molecular Screening for Peptaibiotics Producing Fungi

### คำนำ

ปัจจุบันนี้เชือแบบที่เรียแและราก่อโรคจำนวนมากมีความต้านทานต่อยาปฏิชีวนะสูงขึ้น ดังนั้นการสำรวจแหล่งของสารปฏิชีวนะชนิดใหม่หรือที่มีประสิทธิภาพสูงกว่าเดิม จึงมีความสำคัญเพื่อให้ทันต่อความต้องการ สารปฏิชีวนะในกลุ่มเปปไทด์ชนิดหนึ่งคือ เปปไทด์ในโอดิกส์ (peptaibiotics) มีกิจกรรมทางชีวภาพสูงต่อการขับยักษ์แบคทีเรียแแกรมบวกและเชื้อรา สามารถทำลายผนังเซลล์จนเกิดรูร้าวได้ อีกทั้งสารดังกล่าวสามารถต่อการสลายได้ดีเป็นผลให้เปปไทด์ในโอดิกส์ได้รับความสนใจเพิ่มมากขึ้น

สารปฏิชีวนะในกลุ่มเปปไทด์ผลิตได้จากจุลินทรีย์หลายกลุ่ม โดยทั่วไปจะพบในเชื้อรา และมักมีคุณสมบัติในการต่อต้านเชื้อจุลินทรีย์ก่อโรค โดยเอนไซม์ที่เกี่ยวข้องกับการสังเคราะห์สารปฏิชีวนะเปปไทด์คือ non-ribosomal peptide synthetases (NRPSs) ซึ่งแปลงรหัสจากยีน *nmps* เอนไซม์เหล่านี้มีโครงสร้างเป็นโมดูล (module) หลายโมดูลต่อเนื่องกัน แต่ละโมดูลประกอบด้วยโดเมน (domain) ที่มีความจำเพาะต่อปฏิกิริยา ในส่วนโดเมนเหล่านี้พบว่ามีลำดับกรดอะมิโนอนุรักษ์ (conservative sequence) หลายตำแหน่งซึ่งเป็นประโยชน์ในการออกแบบและสังเคราะห์ไพรเมอร์จำเพาะ (specific primers) ต่อยีนได้ ไพรเมอร์จำเพาะจะสามารถใช้ในการคัดกรองเชื้อราที่มีการผลิตเปปไทด์ในโอดิกส์ได้ โดยการทำพีซีอาร์ (Polymerase Chain Reaction; PCR) รวมทั้งการใช้เทคนิคทางเคมี คือ Thin Layer Chromatography (TLC) เพื่อตรวจสอบกรดอะมิโนที่เป็นองค์ประกอบสำคัญของเปปไทด์ในโอดิกส์ และการทดสอบกิจกรรมทางชีวภาพ (bioassay) ของสารสกัด ก็จัดเป็นกระบวนการคัดกรองสารปฏิชีวนะเปปไทด์ได้ เช่นกัน

เทคนิคทางชีวโมเลกุลคือ การทำพีซีอาร์ ซึ่งคาดว่าจะสามารถใช้ประโยชน์ในการคัดกรองเชื้อราที่ผลิตเปปไทด์ในโอดิกส์ได้ และเป็นวิธีการปฏิบัติในระยะเวลาสั้น ครั้งละหลายตัวอย่าง อีกทั้งยังช่วยลดแรงงานคน สามารถประยุกต์ใช้กับจุลินทรีย์กลุ่มอื่น ๆ ได้ ดังนั้นวิธีการคัดกรองทางชีวโมเลกุลนี้จึงได้รับความสนใจและน่าเชื่อถือมากขึ้นในปัจจุบัน

## วัตถุประสงค์

1. เพื่อพัฒนาไพร์เมอร์จำเพาะ (specific primers) ร่วมกับวิธีพิชีอาร์ตตรวจสอบยีนที่เกี่ยวข้องกับ non ribosomal peptide synthetase (*nrps*) และ peptaibiotic synthetase (*pes*) ในเชื้อรา
2. เพื่อศึกษาและเปรียบเทียบประสิทธิภาพการใช้ไพร์เมอร์จำเพาะในการทำพิชีอาร์ตรวจสอบยีน *nrps* และ *pes* กับวิธี TLC และการทดสอบทางชีวภาพ (bioassay)

## การตรวจเอกสาร

### 1. เป๊ปไทด์ไบโอดิกส์ (Peptaibiotics)

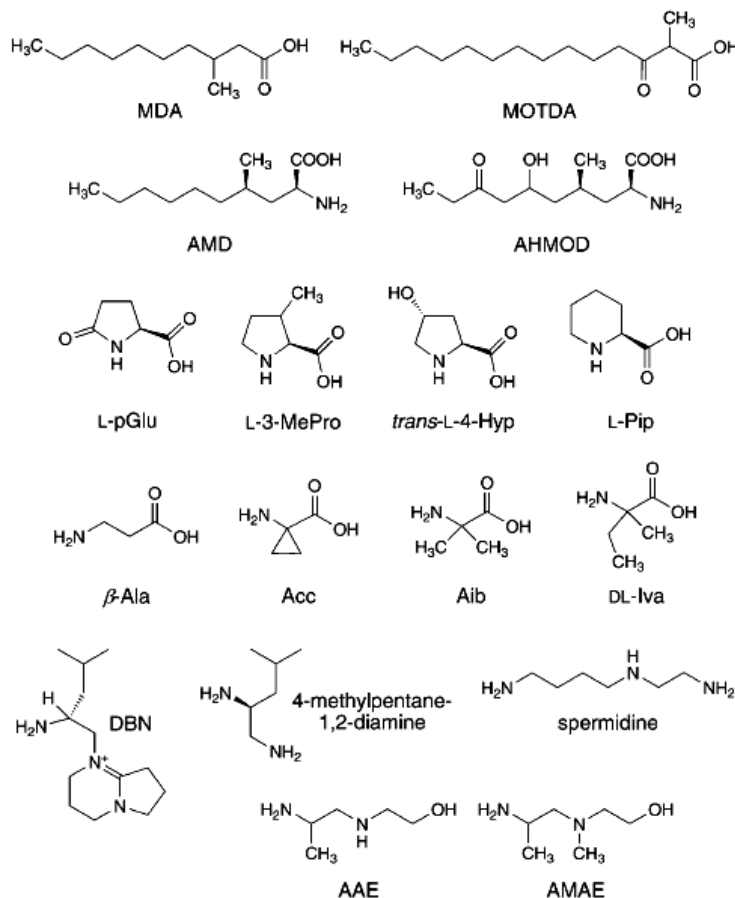
#### 1.1 นิยามและลักษณะที่สำคัญของเป๊ปไทด์ไบโอดิกส์

เป๊ปไทด์ไบโอดิกส์เป็นสารปฏิชีวนะจำพวกเป๊ปไทด์สายตรง (linear peptide antibiotic) จากเชื้อรา มีลักษณะสำคัญคือ สายเป๊ปไทด์มีความยาว 5 – 21 เรซิดิวส์ ซึ่งมีน้ำหนักโมเลกุลระหว่าง 500 – 2,200 ดัลตัน (Dalton) ในสายเป๊ปไทด์ประกอบด้วยกรดอัลฟ่าอะมิโน ไอโซบิวทิริก ( $\alpha$ -aminoisobutyric acid; Aib) ปริมาณสูง โดยมากจะมีกรดอะมิโนแบบไม่มาตรฐาน (non-standard amino acids) และ/หรือ กรคลิโปอะมิโน (lipoamino acid) (ภาพที่ 1) เป็นองค์ประกอบด้วย กรดอะมิโนทางด้านปลายในโตรเจน (N – terminus) และการรับอน (C – terminus) มีการดัดแปลง (modification) ไปจากกรดอะมิโนปกติ โดยเป๊ปไทด์ไบโอดิกส์สามารถแบ่งเป็นกลุ่มย่อย (subgroup) ตามลักษณะสำคัญบางประการร่วมทั้งปลายด้านในโตรเจน และการรับอน (Degenkolb *et al.*, 2006; Krause *et al.*, 2006; Degenkolb *et al.*, 2007) ได้ดังนี้

1.1.1 เป๊ปไทด์บิอล (peptaibol) เป็นเป๊ปไทด์ที่มีการดัดแปลงปลายด้านในโตรเจนโดยเกิดปฏิกิริยาอะซิทิลเดชัน (acetylation) กับกรดอะซิติกเกิดเป็นหมู่อะซิทิล (acetyl) และปลายด้านการรับอนเป็น กรดอะมิโนแอลกอฮอล์ (1,2 – amino alcohol) เช่น phenylalaninol (Pheol), valinol (Valol) หรือ leucinol (Leuol)

1.1.2 ลิโปเป๊ปไทด์บิอล (lipopeptaibol) มีลักษณะเฉพาะที่ปลายในโตรเจนเป็น lipophilic acyl chain คือการเกิดปฏิกิริยาอะซิทิลเดชันหรือ อะซิเลต (acylated) กับกรดไขมัน (fatty acid) ความยาวสายขนาดกลาง (8 – 15 คาร์บอน) เช่น octanoic, decanoic หรือ cis-dec-4-enoic acid เป็นต้น ส่วนปลายด้านการรับอนเป็นกรดอะมิโนแอลกอฮอล์ เช่นเดียวกับเป๊ปไทด์บิอล และความยาวสายเป๊ปไทด์เท่ากับ 6 – 10 เรซิดิวส์ (Toniolo *et al.*, 2001) ตัวอย่างของลิโปเป๊ปไทด์บิอลที่สำคัญคือ trichogins จากเชื้อ *T. longibrachiatum* มีขนาด 11 เรซิดิวส์ ปลายในโตรเจนเป็น *N*-octanoyl และปลายการรับอนเป็น leucinol (Auvin-Guette *et al.*, 1992) เป็นต้น

1.1.3 ลิโปอะมิโนเปปป์ไทด์ (lipoaminopeptide) หรือ อะมิโนลิโปเปปป์ไทด์ (aminolipopeptide) เป็นเปปป์ไทด์ที่มีปลายในトイเจนเกิดอะซิเดตกับกรดหรือกรดไขมันขนาด 4-15 ที่อิ่มหรือไม่อิ่มตัว และปลายด้านคาร์บอนเป็นกรดอะมิโนและกลอชอล์ เช่นเดียวกับเปปป์ไทด์บลอกจากนี้ในสายเปปป์ไทด์ตำแหน่งเรซิดิวที่ 1 มักเป็น L-proline-, trans-4-hydroxy-L-proline หรือ cis-4-methyl-L-proline และที่สำคัญคือ ตำแหน่งเรซิดิวที่ 2 จะเป็น lipoamino acid ได้แก่ 2-amino-6-hydroxy-4-methyl-8-oxo-decanoic acid (AHMOD) ตัวอย่างลิโปอะมิโนเปปป์ไทด์ เช่น culicinins มี butanoic acid (BTA) เกิดปฏิกิริยาอะซิทิลเลชันที่ปลายในトイเจน มี AHMOD ที่เรซิดิวที่ 2 และที่ปลายคาร์บอนเป็น 2-(2'-aminopropyl) aminoethanol (APAE) (He *et al.*, 2006) เป็นต้น



**ภาพที่ 1** องค์ประกอบของเปปป์ไทด์ที่ไม่обы通常 (uncommon constituent) กรดอะมิโนแบบไม่มาตรฐานและ/หรือกรดลิโปอะมิโน

ที่มา: Degenkolb, *et al.* (2007)

นอกจากนี้ยังมีชั้งมีเป็นป่าในโอดิกส์บางชนิดที่ไม่ได้จัดอยู่ใน 3 กลุ่มย่อยตามที่ก่อตัวมาแล้ว เช่น cicadapeptins ขนาด 7 เรซิดิวส์ ผลิตจากเชื้อ *Cordyceps heteropoda* เป็นราก่อโรคในแมลง (entomopathogenic fungus) ซึ่งสารนี้มีการดัดแปลงปลายในโตรเจนโดยเกิดปฏิกิริยาอะซิทิลเลชันกับ N-decanoic acid และที่ปลายคาร์บอนเกิดพันธะเอโนดกับ 1,2-diamino-4-methylpentane (Krasnoff *et al.*, 2005)

ปัจจุบันมีรายงานเกี่ยวกับเป็นป่าโนบล จำนวนมากกว่า 300 ชนิด ในด้านต่าง ๆ เช่น โครงสร้าง ลำดับกรดอะมิโน กิจกรรมการทำงาน และแหล่งจุลินทรีย์ที่ผลิต เป็นต้น ในฐานข้อมูล Peptaibol database ที่เว็บไซด์ [www.cryst.bbk.ac.uk/peptaibol/home.shtml](http://www.cryst.bbk.ac.uk/peptaibol/home.shtml) (Whitmore and Wallace, 2004)

## 1.2 การจำแนกเป็นป่าในโอดิกส์

เป็นป่าในโอดิกส์สามารถจัดจำแนกได้เป็น 9 subfamilies (SFs) ตามจำนวนและตำแหน่งของกรดอะมิโนที่เป็นองค์ประกอบ โดยเฉพาะตำแหน่งของกรดอะมิโน Aib (ภาพที่ 2, ตัวอักษรที่บ) (Chugh and Wallace, 2001; Neuhof *et al.*, 2007) ซึ่งจัดเป็นกลุ่มหลักๆ ได้ดังนี้

1.2.1 เป็นป่าในโอดิกส์ขนาดใหญ่ มีจำนวนกรดอะมิโน 17 – 21 เรซิดิวส์ โดยจะมีกรดอะมิโน Aib 6 – 9 เรซิดิวส์ อยู่ในตำแหน่งที่ 1 หรือ 2, 3, 4, 6, 8, 10, 13, 16 และ 17 ได้แก่ SF1 เช่น alamethicin, longibrachin และ trichorzin เป็นต้น

1.2.2 เป็นป่าในโอดิกส์ขนาดกลาง มีจำนวนกรดอะมิโน 11 – 16 เรซิดิวส์ มีกรดอะมิโน Aib 3 – 7 เรซิดิวส์ ได้แก่ SF2-8 ซึ่งแต่ละ SF แยกโดยตำแหน่งของกรดอะมิโน Aib อยู่ในตำแหน่งที่ 1 หรือ 2, 3 หรือ 4, 7, 8, 9 และ 12 หรือ 14 เช่น hazianin, trichorovin, trichogin และ trikoningin เป็นต้น

1.2.3 เป็นป่าในโอดิกส์ขนาดเล็ก มีจำนวนกรดอะมิโน 5 – 10 เรซิดิวส์ ได้แก่ SF9 ซึ่งเป็นกลุ่มที่ยังมีการกันพมไม่นานนัก เช่น peptaibolin มีกรดอะมิโน Aib อยู่ในตำแหน่งที่ 2 และ 4 เป็นต้น

<b>SF1</b>		<b>SF5</b>	
-DPI-AIAQIVVGLPVLQQF -AATAAQIVVGLPVLQQF -ASAX--QXVGLPLBQW FSLXL--QQQAAQPUUQW	Alamethicin_F30 Longibrachin_LGAIV Trichorzin_PA_IV Chrysospermin_C	IGLGGGLGIL GVGGVGIL XGVGGVGIL	Trichogin_A_IV Trikonining_KB_I Trikonining_KB_II
<b>SF2</b>		<b>SF6</b>	
FQVIXGLIHDQXH_PF FJUVGLIHDQXHA-F -VJUVGLIHDQXH-F	Antiamoebin_I Emerimycin_IV Bergofungin_D	WAQIQLQDQDQQLQL WVXAQALSQLQL WVLAQALSQLQL	Ampullosporin Tylopeptin_A Tylopeptin_B
<b>SF3</b>		<b>SF7</b>	
LIQXITLHQH_PF WICITLHQH_PF WXQITLHQH_PFXPFG	L1_zervamicin Emerimycin_IIA XR586	IPYQQZQAL IPFQQZQAL IPFQQZQAL	LP237_F5 LP237_F7 LP237_F8
<b>SF4</b>		<b>SF8</b>	
INLPSVPPPLPL IQIPAIIPXLDPL INI---IPLLPI XQV---VPLLLPL	Harzianin_HC_I Harzianin_HC_XV Trichorovin_TV_XIIa Hypomurocin_HMA2	CHLXHLXHIXHXI	Clonostachin
		<b>SF9</b>	
		ILIF	Peptaibolin

**ภาพที่ 2** ลำดับกรดอะมิโนที่เป็นสมาชิกของเปปไทด์ในโอดิกในแต่ละ subfamilies; SF 1 – 9 และกรดอะมิโน Aib หรือ U แสดงเป็นตัวทึบ  
**ที่มา:** Chugh and Wallace (2001)

### 1.3 แหล่งเปปไทด์ในโอดิกส์ (peptidiotic sources)

แหล่งจุลินทรีย์ที่มีการสังเคราะห์เปปไทด์ในโอดิกส์ คือ เชื้อราก โดยเฉพาะกลุ่มเชื้อรากิน (soil-borne fungi) และเชื้อราก่อโรคพืช (plant-pathogenic fungi) รวมถึงพากเชื้อรากที่สร้างสี (fungicolous species, mycophillic taxa) ทั่วไปแล้วสายพันธุ์เชื้อรากที่ไม่ออาศัยเพศ (fungi imperfecti) มีรายงานกลุ่มเชื้อรากที่สามารถผลิตสารเหล่านี้จำนวนมาก ได้แก่ *Trichoderma*, *Acremonium*, *Paecilomyces* และ *Emericellopsis* นอกจากนี้ มีข้อมูลของเชื้อรากสายพันธุ์อื่นๆ ที่คาดว่าเกี่ยวข้องกับการผลิตสารกลุ่มเปปไทด์ในโอดิกส์ด้วย แสดงในตารางที่ 1 (Degenkolb *et al.*, 2003)

นอกจากนี้ยังมีรายงานการพบเปปไทด์ในโอดิกส์ กลุ่มเปปไทด์ จากเชื้อรากที่เป็น basidiomycetes เช่น เชื้อ *Boletus* spp. ซึ่งพบว่าผลิต boletusin ขนาด 19 เรซิดิวส์ มีกิจกรรมการยับยั้งแบคทีเรียแกรมบวกหลายชนิด และ *Tylopilus neofelleus* ผลิต tylopeptins A, B โดยสกัดได้จากถ่านเห็ด ประกอบด้วย 14 เรซิดิวส์ ปลายคาร์บอนเป็น leucinol และมีกิจกรรมการยับยั้งแบคทีเรียแกรมบวกหลายชนิด แต่ไม่สามารถยับยั้งเชื้อราก่อโรคและแบคทีเรียแกรมลบ (Lee *et al.*, 1999a; Lee *et al.*, 1999b)

### ตารางที่ 1 เชื้อราที่มีรายงานว่าเกี่ยวข้องกับการสังเคราะห์สารปฎิชีวนะในกลุ่มไทยใบโอดิกส์

Name of peptaibiotic	Isolated from
Chrysospermins	<i>Sepedonium chrysospermum</i>
Peptaibolin	<i>Sepedonium</i> sp.
Ampullosporins	<i>Sepedonium ampullosporum</i>
Hypomurocins A and B	<i>Hypocrea muroiana</i>
Some of the hypelcins	<i>Hypocrea peltata</i>
Clonostachin	<i>Clonostachys</i> sp.
Aibellin	<i>Verticimonosporium ellipticum</i>
Stilboflavins	<i>Stilbella flavipes</i>
Antiamoebin I	<i>Verticillium epiphytum</i>
Gliodeliquescin	<i>Gliocladium deliquescens</i>
Efrapeptins	<i>Tolyocladium inflatum</i>

ที่มา: Degenkolb *et al.* (2003)

## 2. การสังเคราะห์เป๊ปไทด์ใบโอดิกส์

การสังเคราะห์เป๊ปไทด์ใบโอดิกส์ในเชื้อรา มีระบบควบคุมการสร้างที่จำเพาะคือไม่ใช้ระบบของไรโบโซม (non-ribosomal system) แต่เป็นการทำงานร่วมกันของเอนไซม์ขนาดใหญ่ที่มีหลายหน้าที่ (multifunctional enzyme) ได้แก่ เอนไซม์ nonribosomal peptide synthetases (NRPSs) ซึ่งมีองค์ประกอบและการทำงานคล้ายกับระบบไรโบโซม (ribosomal system)

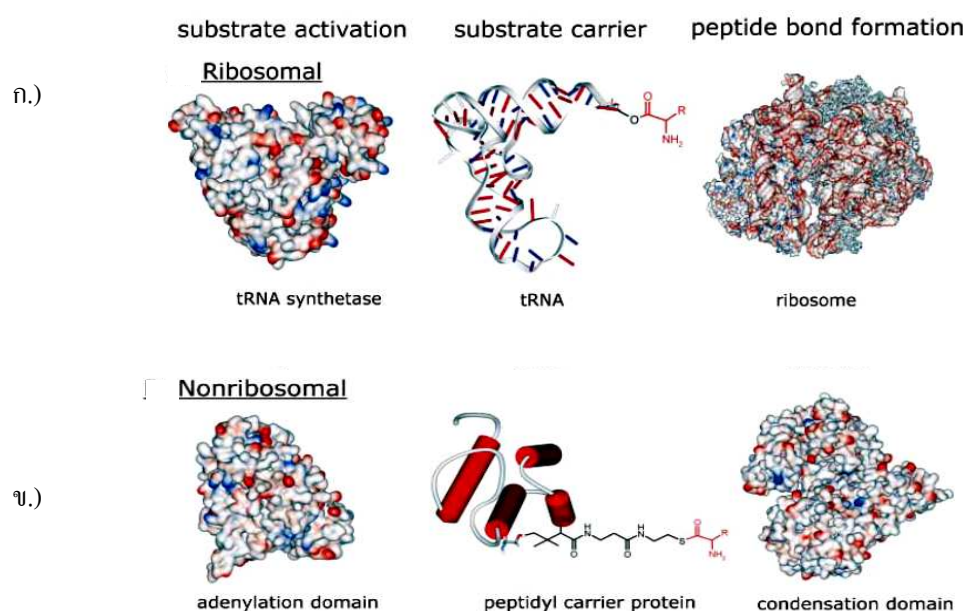
### 2.1 การเปรียบเทียบระบบการสังเคราะห์เป๊ปไทด์

การสังเคราะห์เป๊ปไทด์หรือโปรตีนทั้ง 2 ระบบคือ ระบบไรโบโซมและไม่ใช้ไรโบโซมแสดงการเปรียบเทียบเอนไซม์พื้นฐานของแต่ละระบบและการทำงานในตารางที่ 2 ระบบไรโบโซมจะประกอบด้วย เอนไซม์ t-RNA synthetases, t-RNA และไรโบโซม (ภาพที่ 3 ก.) โดย t-RNA synthetases ทำหน้าที่กระตุ้นกรดอะมิโนกลาบเป็น acyl adenylate จากนั้น t-RNA นำกรดอะมิโนที่อยู่ในสภาพะกระตุ้นส่งมายังไรโบโซมเพื่อสร้างพันธะเป๊ปไทด์ (peptide bond) กับกรดอะมิโนตัวที่สองบน t-RNA ไม่เลกูลัตติคไป และเกิดปฏิกิริยาต่อเนื่องกันไปได้ผลิตภัณฑ์เป็นเป๊ปไทด์หรือโปรตีนนั่นเอง

ในภาพที่ 3 ข.) แสดง出นิใช้มพื้นฐานของการสังเคราะห์เปปไทด์โดยไม่ใช้ไรโบนิซม ประกอบด้วย adenylation domain (โดเมน A) ทำหน้าที่กระตุ้นกรดอะมิโนเป็น acyl adenylate เช่นเดียวกับ t-RNA synthetase แต่มีโครงสร้างของเอนไซม์ไม่เกี่ยวข้องกัน ซึ่งกรดอะมิโนที่กระตุ้นแล้วจะขนส่งโดย peptidyl carrier protein หรือ thiolation domain (โดเมน PCP หรือ T ตามลำดับ) และ condensation domain (โดเมน C) จะทำหน้าที่เชื่อมพันธะเปปไทด์ระหว่างกรดอะมิโนที่อยู่ตำแหน่ง (n-1) บนโดเมน T (Finking and Marahiel, 2004)

ตารางที่ 2 การเปรียบเทียบเอนไซม์พื้นฐานของการสังเคราะห์เปปไทด์หรือโปรตีนทั้ง 2 ระบบ คือ ระบบไรโบนิซมและไม่ใช้ไรโบนิซม

System	Basic enzymes	
	Ribosomal synthesis	Nonribosomal synthesis
1. cognition and activation amino acid	t-RNA synthetases	A domain
2. transportation unit	t-RNA	PCP or T domain
3. formation of a peptide bond	ribosome	C domain



ภาพที่ 3 เอนไซม์พื้นฐานที่จำเป็นสำหรับการสังเคราะห์เปปไทด์หรือโปรตีน ก.) แบบระบบไรโบนิซม และ ข.) ระบบไม่ผ่านไรโบนิซม

ที่มา: Finking and Marahiel (2004)

การสังเคราะห์เปปไทด์โดยระบบไฮโลบิโซม เกิดขึ้นในกระบวนการเมตาบólism ขั้นปฐมภูมิ (primary metabolism) และทำหน้าที่เกี่ยวข้องกับการสังเคราะห์โปรตีนที่จำเป็นในเซลล์อย่างไรก็ตามการสังเคราะห์เปปไทด์โดยไฮโลบิโซมจะจำเพาะกับกรดอะมิโนมาตรฐานจำนวน 20 ชนิดมาเป็น building blocks ของโปรตีน ในขณะที่สับสเตรตของเอนไซม์ NRPSs ในระบบไม่ใช่ไฮโลบิโซมนั้นใช้กรดอะมิโนแบบไม่มาตรฐาน (non proteinogenic amino acids) หรือมีการดัดแปลงแทกต่างกันออกไปเป็นองค์ประกอบ (Marahiel *et al.*, 1997) ดังนั้นความหลากหลายของโครงสร้างเปปไทด์ รวมทั้งเปปไทด์ในอ Totik ส์จากระบบนี้ จึงมีความสามารถและประสิทธิภาพที่แตกต่างไปจากระบบไฮโลบิโซม

## 2.2 การจำแนก โดเมนในโนดูล

เอนไซม์ NRPSs ในระบบไม่ใช่ไฮโลบิโซม ดังที่ได้กล่าวมาแล้ว ประกอบด้วยโนดูล (modules) หลายโนดูลจัดเรียงกันอยู่ แต่ละโนดูลจะเป็นตัวกำหนดกรดอะมิโนในสายโซ่โพลีเปปไทด์ ซึ่งมีหน้าที่รับผิดชอบการนำอา变态กรดอะมิโนหรือ building block มาเข้ามกันด้วยพันธะ เปปไทด์รวมเป็นสายเปปไทด์หรือโปรตีนที่ยาวขึ้น (Finking and Marahiel, 2004) ดังนั้น เอนไซม์ NRPSs ทำหน้าที่เป็นแม่แบบ ในการกำหนดกรดอะมิโนที่เป็นองค์ประกอบในสายเปปไทด์ในอ Totik ส์

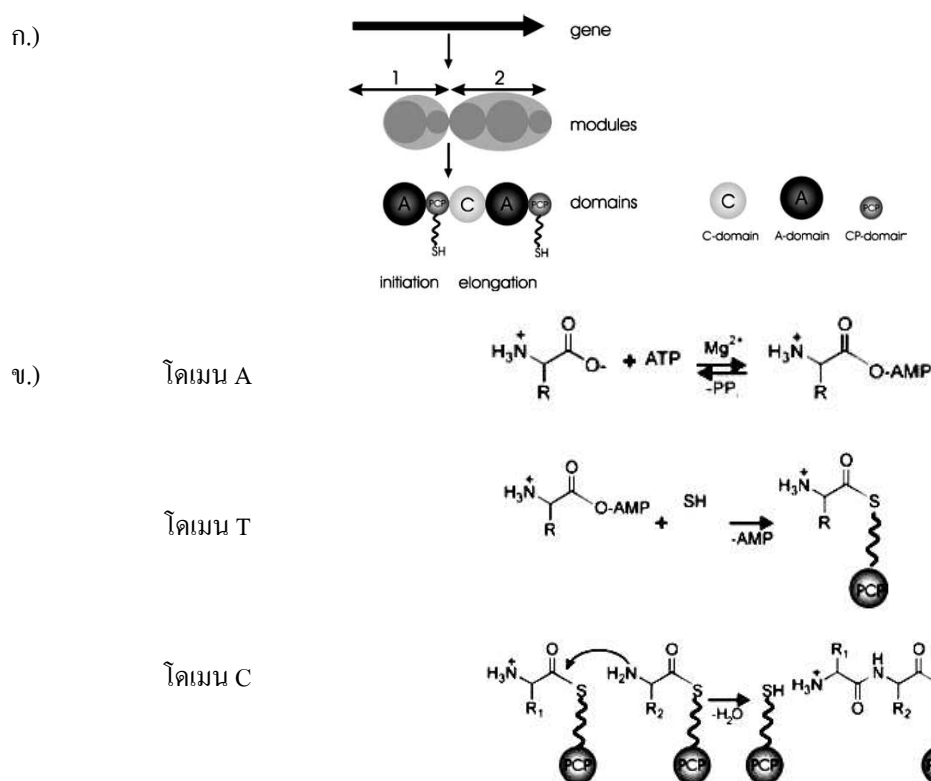
การสังเคราะห์เปปไทด์โดยระบบไม่ใช่ไฮโลบิโซม สามารถแบ่งหน่วยเอนไซม์ย่อยๆ ภายในโนดูลได้ ซึ่งเรียกว่า โดเมน (domains) โดเมนเหล่านี้จะทำหน้าที่เร่งปฏิกิริยาขั้นต่อ แสดงในภาพที่ 4 ในแต่ละโนดูลประกอบด้วย โดเมนที่สำคัญ 3 โดเมนและมีหน้าที่ต่าง ๆ กัน (Marahiel *et al.*, 1997; Mootz and Marahiel, 1997; Finking and Marahiel, 2004; von Dohren, 2004) ดังนี้

2.2.1. Adenylation (A) domain มีขนาดประมาณ 500 เรชิดิวส์ ทำหน้าที่ substrate activation คือการตุ้นกรดอะมิโนหรือสับสเตรตด้วย ATP ให้ออกในสภาวะ amino acyl adenylate

2.2.2. Peptidyl carrier protein (PCP) หรือ Thiolation (T) domain มีขนาดประมาณ 80-100 เรชิดิวส์ ทำหน้าที่ขนส่งกรดอะมิโนที่กระตุ้นแล้ว โดยโคแฟคเตอร์ 4'-phospho pantetheine (4'PP) จะเกิดปฏิกิริยา posttranslational phosphopantetheinylation กับ carrier protein (CP) เกิดเป็นโดเมน PCP ทำให้มี serine residue บนโดเมน PCP จากนั้นกรดอะมิโนที่

กระตุ้นแล้วจาก โอดเมน A จะเกิดการจับแบบ covalent binding กลไกเป็นพันธะ thioester กับ serine residue ซึ่งมีลักษณะเป็นแขนยาวยืดหยุ่น ได้คือ

2.2.3. Condensation (C) domain ขนาดประมาณ 450 เรซิวัวร์ เป็นอนไซม์ที่เกี่ยวข้องกับการสร้างพันธะเปปไทด์ (peptide bond formation) ระหว่างกรดอะมิโนที่กระตุ้นแล้วบน โอดเมน T ที่อยู่ติดกัน ไปในตำแหน่ง n และ (n-1) ทำให้พันธะ thioester ของกรดอะมิโนตำแหน่ง (n-1) จะหลุดออก และสายเปปไทด์จะไปอยู่บน โอดเมน T ทางตำแหน่ง n ซึ่งเป็นโมดูลต่อไป กระบวนการนี้จะเกิดปฏิกิริยาเดิมกรดอะมิโนโดยอ่อนไชม์เหล่านี้เพื่อเพิ่มความยาวสายเปปไทด์ (elongation) ต่อเนื่องกันไป



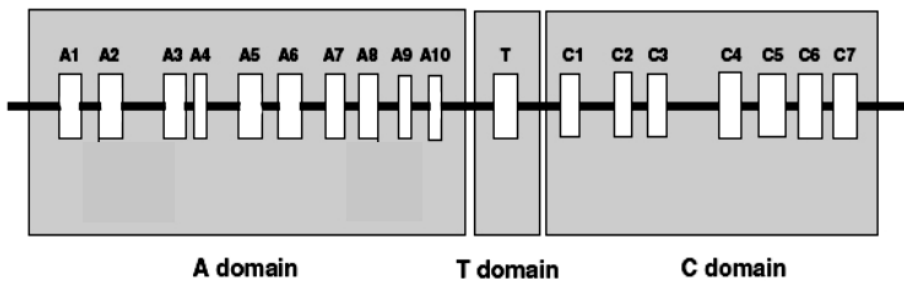
**ภาพที่ 4** โมดูลและโอดเมนของเอนไซม์ NRPSs ก.) แบบจำลองโมดูล ได้จากการถอดรหัสของยีน *nrps* โดยแต่ละโมดูลสามารถแบ่งย่อยได้เป็น โอดเมน บ.) แสดงการทำงานของแต่ละ โอดเมน ดังนี้ โอดเมน A ทำหน้าที่กระตุ้นสับสเตรตหรือกรดอะมิโน, โอดเมน PCP หรือ T ทำหน้าที่ขนส่งกรดอะมิโนที่กระตุ้นแล้วไปตำแหน่งที่เหมาะสม คือ โอดเมน C เกิดการ สร้างพันธะเปปไทด์ซึ่งมีกรดอะมิโนระหว่าง โอดเมน PCP 2 โมเลกุลที่อยู่ติดกันทำให้ได้ สายเปปไทด์ยาวขึ้น (elongation)

ที่มา: Finkin and Marahiel (2004)

นอกจากโดเมนเหล่านี้ ยังมีโดเมนอื่นๆ อีกนอกราก 3 โดเมนหลักที่กล่าวแล้วข้างต้น เช่น epimerisation domain ทำหน้าที่ดัดแปลงโครงสร้างกรดอะมิโนจาก L-isomer ไปเป็น D-isomer ซึ่งเป็นโดเมนที่อยู่ต่อกับ T domain และ methyltransferase domain เป็นโดเมนที่อยู่ต่อ กับ A domain ทำหน้าที่เติมหมู่เมทิลในตำแหน่งหมู่เอไมด์ของกรดอะมิโนเกิดเป็นพันธะ N-methylated peptide bond ซึ่งโดเมนเหล่านี้ทำให้ได้โครงสร้างเป็นไทด์ที่หลากหลายยิ่งขึ้น มี กิจกรรมทางชีวภาพ และทำให้ทนต่อการสลายตัว (proteolytic cleavage) ได้ดี (Marahiel *et al.*, 1997; von Dohren, 2004)

### 2.3 บริเวณอนุรักษ์ของโดเมน

ในแต่ละ โดเมนจะมีบริเวณลำดับอนุรักษ์ (Conserved sequence motifs) อยู่จำนวน มาก การระบุตำแหน่งของบริเวณอนุรักษ์ใน โดเมนจากการตรวจสอบลำดับกรดอะมิโน (amino acid sequence) ซึ่งมีส่วน consensus sequence motifs ต่าง ๆ (ภาพที่ 5 และ ตารางที่ 3) โดย บริเวณเหล่านี้มีประโยชน์สำหรับการออกแบบไพร์เมอร์เจเพาะและการทำพีซิอาร์เพื่อใช้ในการ บ่งชี้ยืน *nrps* ที่เกี่ยวข้องกับเอนไซม์ NRPSs



**ภาพที่ 5** ภาพจำลองโครงสร้างของโมดูลในเอนไซม์ NRPSs ประกอบด้วยส่วนที่เป็นลำดับ อนุรักษ์ (consensus sequence motifs; รูปสี่เหลี่ยมสีขาว) บนแต่ละ โดเมน  
ที่มา: Vizcaino *et al.* (2005)

ตารางที่ 3 ลำดับกรดอะมิโนในส่วน consensus sequence motifs ที่มีบริเวณอนุรักษ์สูงของแต่ละโดเมนในoen ไซม์ NRPSs

Domain <sup>a</sup>	Region <sup>b</sup> (core) <sup>c</sup>	Consensus sequence
adenylation	A1	L(TS)YxEL
	A2 (core 1)	LKAGxAYL(VL)P(Bechinger <i>et al.</i> )D
	A3 (core 2)	LAYxxYTSG(ST)TGxPKG
	A4	FDxS
	A5	NxYGPTE
	A6 (core 3)	GELxIxGxG(VL)ARGYL
	A7 (core 4)	Y(RK)TGDL
	A8 (core 5)	GRxDxQVKIRGxRIELGEIE
	A9	LPxYM(IV)P
	A10	NGK(VL)DR
thiolation	T (core 6)	DxFFxxLGG(HD)S(Bechinger <i>et al.</i> )
	C1	SxAQxR(LM)(WY)xL
condensation	C2	RHExLRTxF
	C3 (His)	MHHxISDG(WV)S
	C4	YxD(FY)AVW
	C5	(IV)GxFVNT(QL)(CA)xR
	C6	(HN)QD(YV)PFE
	C7	RDxSRNPL

<sup>a</sup> จากราฟที่ 5

<sup>b</sup> แต่ละส่วนของoen ไซม์ที่มี consensus sequence และคงในราฟที่ 5 รูปสี่เหลี่ยมสี่ข้าง

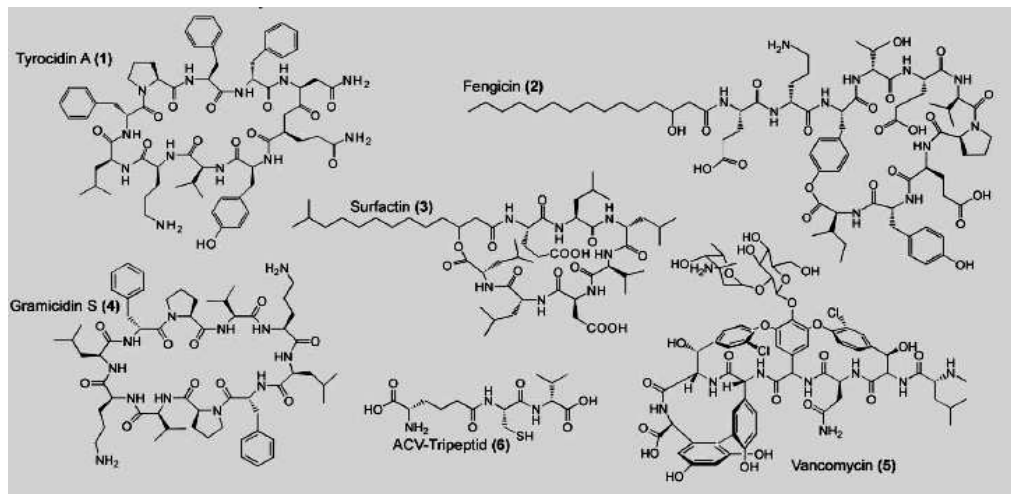
<sup>c</sup> ส่วน core ของoen ไซม์เป็นส่วนสำคัญต่อการทำงาน

ที่มา: Marahiel *et al.* (1997)

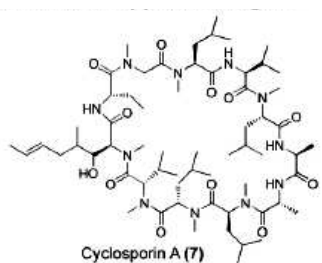
### 3. สารเมตาบอไลต์กลุ่มเป็ปไทด์จากระบบไมโครโนบิซิม

สารเมตาบอไลต์กลุ่มเป็ปไทด์จากกระบวนการสังเคราะห์โดยระบบไมโครโนบิซิมจัดเป็นคลาส (class) หนึ่งของผลิตภัณฑ์จากธรรมชาติ (natural product) ที่มีคุณสมบัติพิเศษทางเภสัชซึ่งพบว่ามีโครงสร้างที่หลากหลาย ตัวอย่างของสารเมตาบอไลต์เป็ปไทด์เหล่านี้ โดยแบ่งกลุ่มตามกิจกรรมการออกฤทธิ์ทางชีวภาพได้ทั้งหมด 4 กลุ่ม และคงในราฟที่ 6 ก.-ง. (Marahiel *et al.*, 1997; Schwarzer *et al.*, 2003) ราฟที่ 6 ก. กลุ่ม antibiotic หรือ antibiotics precursors เช่น ACV-tripeptide (6) เป็นตัวอย่างของสารตั้งต้นในการสังเคราะห์ยาปฏิชีวนะแฟ้มมิลลี penicillin และ cephalosporine ส่วนสารอื่น ๆ ในราฟที่ 6 ก. เป็นกลุ่มสารที่มีกิจกรรมเป็นสารปฏิชีวนะและเป็ปไทด์ในโอดิกัสซ์ดเป็นแฟ้มมิลลี (family) หนึ่งในกลุ่มนี้ทั้ง ราฟที่ 6 ข. กลุ่ม immuno-suppressive agent เช่น cyclosporine (7) สามารถคุณมิคุ้มกันได้ ใช้ในการ

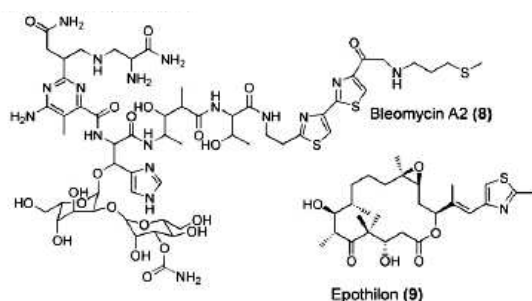
ก. antibiotics/antibiotic precursors



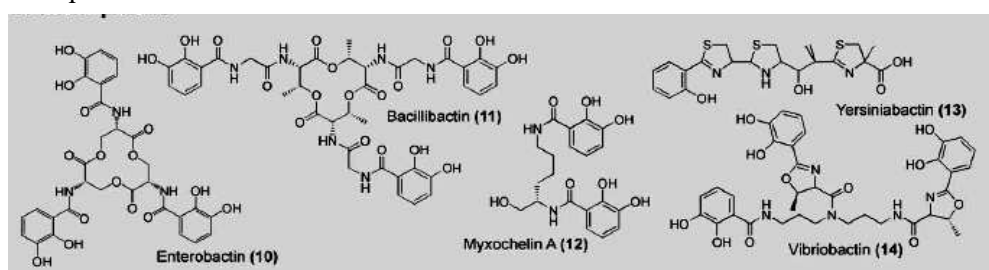
ก. immunosuppressive agent



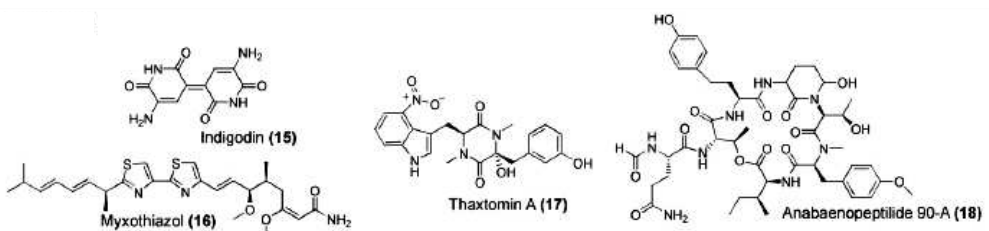
ก. cytostatic agents



ก. siderophores



ก. อื่น ๆ



ภาพที่ 6 โครงสร้างสารเมตาบoloได้จากการกระบวนการสังเคราะห์แบบไม่ผ่านไฟฟ้าโดยแบ่งกลุ่มตามการออกฤทธิ์ทางชีวภาพ

ที่มา: Schwarzer *et al.* (2003)

รักษาการปลูกถ่ายอวัยวะ ภาพที่ 6 ก. กลุ่ม cytostatic agent เช่น bleomycin (8) epothilon (9) และ ตามลำดับ ซึ่งแสดงคุณสมบัติเป็น cytostatic คือการควบคุมเซลล์ให้อยู่ในสภาพวงที่ใช้รักษาโรคมะเร็งได้ ภาพที่ 6 ง. กลุ่ม siderophores เป็นกลุ่มของสารประกอบธาตุเหล็ก (iron-chelating substance) เช่น bacillibactin (11) ซึ่งการผลิตขึ้นอยู่กับปริมาณธาตุเหล็ก (Fe) ในสิ่งแวดล้อมที่เชื้อผู้ผลิตอาศัยอยู่ ส่วนกลุ่มอื่น ๆ (ภาพที่ 6 จ.) เช่น indigodin (15) เป็นรงควัตถุ (pigment), thaxtomin A (17) เป็นท็อกซิน และ anabaenopeptilide (18) เป็นเปปไทด์ที่ยังไม่ทราบหน้าที่ (Schwarzer *et al.*, 2003; Finking and Marahiel, 2004) เป็นต้น

จากข้อมูลดังกล่าววนี้จะเห็นได้ว่าผลิตภัณฑ์จำพวกเปปไทด์ของกระบวนการผลิตโดยระบบไม่ใช้ไรโนโซม ค่อนข้างมีความหลากหลายสูงรวมถึงกลุ่มสารที่มีคุณสมบัติทางชีวภาพ มีกิจกรรมในการยับยั้งเชื้อเป็นอย่างมาก เป็นผลให้ผลิตภัณฑ์เปปไทด์เหล่านี้ได้รับความสนใจ และมีการศึกษาในหลายด้าน

#### 4. กลไกและกิจกรรมการทำงานของเปปไทด์ในโอดิกส์

##### 4.1 กลไกการทำงาน (mechanisms of action)

โครงสร้างของสายเปปไทด์ในโอดิกส์มีลักษณะเป็นแบบ amphipathic  $\alpha$ -helical linear peptide มีประจุบวก (net positive charges) โดยส่วนใหญ่ไม่ชอบน้ำ (hydrophobic) ดังนั้นกลไกการทำงานของเปปไทด์ในโอดิกส์เหล่านี้ ส่วนใหญ่เกิดการเข้าทำปฏิกิริยาโดยการจับและแทรกซึมกับเยื่อหุ้มเซลล์ (มีคุณสมบัติเป็น phospholipid bilayer) ซึ่งเรียกว่า membrane permeation และเรียกเปปไทด์ที่มีคุณสมบัติดังกล่าวว่า membrane-active peptides กลไกสำคัญ 2 แบบคือ การทำลายและรบกวนสภาวะของเยื่อหุ้มเซลล์โดย carpet-like model และการสร้างรูรั่วแบบ barrel-stave model (Oren and Shai, 1998; Lohner and Blondelle, 2005; Duclozier, 2006)

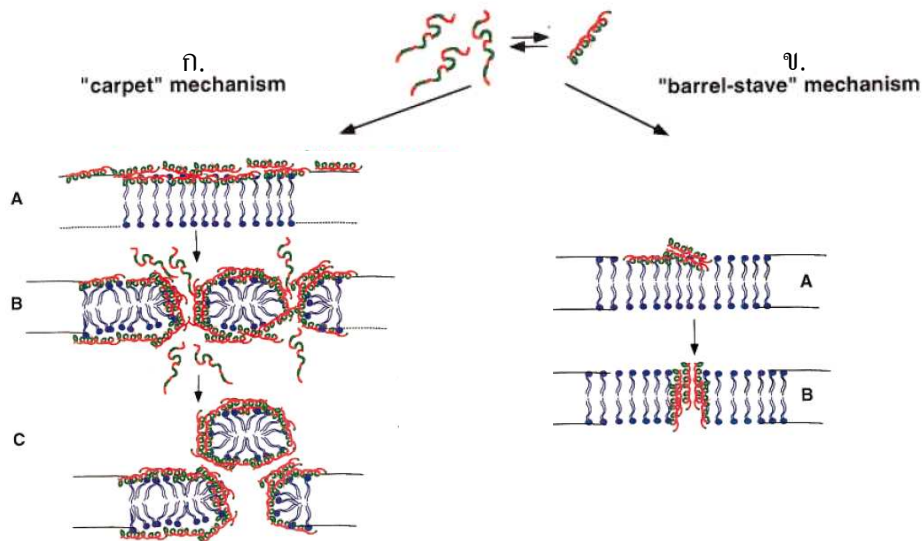
กลไกแบบ carpet-like model เริ่มต้นจากเปปไทด์ที่มีโครงสร้าง  $\alpha$ -helical เข้าจับและปักคุณบนผิวเยื่อหุ้มเซลล์ในลักษณะการปูพรม การแทรกผ่านเข้าสู่เยื่อหุ้มเซลล์เป็นอย่างมาก ขึ้นอยู่กับอัตราส่วนความเข้มข้นของโมเลกุลเปปไทด์มากถึงระดับหนึ่งเท่านั้น ซึ่งต่างกับ barrel-stave model คือ ไม่แทรกไปยังบริเวณส่วนเยื่อหุ้มที่เป็นลิปิดโดยตรง แต่จะจับกับหน่วย phospholipid headgroups ทำให้ส่วนลิปิดที่อยู่ภายนอกเปิดเข้าหากันเอง (ภาพที่ 7 ก.) ขั้นตอนสำคัญของการนี้ คือ 1. เปปไทด์โมเลกุลเดียวซึ่งมีประจุบวกเข้าจับกับ phospholipid headgroups ซึ่งมีประจุลบ 2. เปปไทด์โมเลกุลเดียวเกิดการกระจายทั่วผิวหนาเยื่อหุ้มเซลล์ โดย

ประจุบวกที่เกิดจากกรดอะมิโนบนเป๊ปไทด์ทำปฏิกิริยากับประจุลบของ phospholipid headgroups หรือ โมเลกุลน้ำ 3. เรซิดิวส์ที่เป็น hydrophilic ด้านหน้าของเป๊ปไทด์ไม่เลกุลเดียว เกิดการหมุนเข้าหากันส่วนเยื่อหุ้มเซลล์ที่เป็น hydrophilic เช่นกัน และส่วนลิปิดเกิดการบิดงอเข้าหากัน และ 4. เยื่อหุ้มเซลล์จะแยกออกจากกันเนื่องจากเกิดการรบกวนสภาพของชั้น bilayer ซึ่งมีลักษณะโค้งเข้าหากัน เรียกว่า micellisation เป็นผลให้เกิดช่องโหว่ บางรายงานเรียกกลไกการเกิดรูร้าวแบบนี้ว่า toroidal หรือ wormhole model

กระบวนการสร้างรูร้าวทะลุผ่านเยื่อหุ้มเซลล์แบบดังเดิมนี้อธิบายได้โดย barrel-stave model ซึ่งเป๊ปไทด์โครงสร้าง  $\alpha$ -helical หลายโมเลกุลเชื่อมต่อกัน เป็นผลให้ด้าน hydrophobic surfaces เกิดปฏิกิริยากับฟอลโลฟิลิปิดส่วนกลางของเยื่อหุ้มเซลล์ด้วยแรง hydrophobic interaction ส่วนด้าน hydrophilic surfaces มีลักษณะเป็นช่องโหว่ (transmembrane pore) ทำให้เกิดรูร้าวกับเยื่อหุ้มเซลล์ (ภาพที่ 7 ข.) การเกิดกลไก barrel-stave model มี 4 ขั้นตอนหลักๆ คือ 1. การจับกันของเป๊ปไทด์ไม่เลกุลเดียว (monomer) ที่มีโครงสร้างเป็น  $\alpha$ -helical แล้ว กับเยื่อหุ้มเซลล์ 2. เกิดการขาดขั้นพันธะการจับกันของโมเลกุลเดียวกับเยื่อหุ้มเซลล์ เป็นผลให้มีความหนาแน่นของผิวน้ำเยื่อหุ้มเซลล์ลดลง 3. โมเลกุลเดียวที่เชื่อมต่อกันอย่างน้อย 2 โมเลกุล เกิดการแทรกเข้าไปที่เยื่อหุ้มเซลล์และเริ่มต้นการสร้างช่องโหว่ และ 4. เกิดการเพิ่มจำนวนและดึงเป๊ปไทด์ไม่เลกุลเดียวเข้าหากันขยายช่องโหว่ให้ใหญ่ขึ้น (Oren and Shai, 1998; Lohner and Blondelle, 2005; Duclochier, 2006)

ตัวอย่างการศึกษาการทำงานของเป๊ปไทด์ในไออติกส์ เช่น alamethicin เป็นเป๊ปไทด์โนบลที่มีขนาด 20 เรซิดิวส์ จะมีลักษณะบิดงอแบบ helical distorter เนื่องจากมีองค์ประกอบของกรดอะมิโนบางชนิด เช่น โพรลีน หรือ ไกลซีน ซึ่งลักษณะพิเศษดังกล่าวนี้ทำให้เกิดการสร้างรูร้าว หรือช่องโหว่ และกลไกการเกิดช่องมีสานเหตุเนื่องจากไออ่อน ซึ่งเรียกว่า voltage-gated ซึ่งเป็นแบบ barrel-stave model (Chugh and Wallace, 2001; Duclochier, 2004)

trichogin เป็นเป๊ปไทด์ในไออติกส์กลุ่มลิโปเป๊ปไทด์โนบล มีขนาด 11 เรซิดิวส์ซึ่งสั้นกว่า alamethicin ครึ่งหนึ่ง พบร่วมกับเยื่อหุ้มเซลล์ lipid bilayer บางส่วนและโครงสร้างหลัก  $\alpha$ -helical จับกับผิวเซลล์ด้านนอกในลักษณะของกลไกแบบ carpet-like model (Epand *et al.*, 1999; Chugh and Wallace, 2001)



ภาพที่ 7 รูปแบบการเกิด membrane permeation ของสารปฏิชีวนะ amphipathic  $\alpha$ -helical linear peptide โดยแสดงเป็นแบบ carpet-like model (ก.) และ barrel-stave model (ข.) ตามลำดับ ขั้นตอน A คือการเข้าจับผิวน้ำเยื่อหุ้มเซลล์ โดยเป็นไทด์ที่เกิดเป็นโครงสร้าง  $\alpha$ -helical ด้าน hydrophobic surfaces (green area) ขั้นตอน B และ C คือการแทรกผ่านสู่บริเวณชั้นไขมันของเยื่อหุ้มเซลล์ โดยเป็นไทด์หันด้าน hydrophilic surfaces (red area) ออกสู่สารละลายทำให้เกิดช่อง

ที่มา: Oren and Shai (1998)

#### 4.2 กิจกรรมการทำงาน (activity)

เป๊ปไทด์โนโอดิกส์มีกิจกรรมต่อต้านการเจริญของจุลินทรีย์ค่อนข้างกว้าง ทั้งแบคทีเรีย แกรมบวกและเชื้อร้า เป๊ปไทด์โนโอดิกส์บางชนิดสามารถต่อต้านไวรัสและปรอตัวได้ด้วยตัวอย่างของเป๊ปไทด์โนโอดิกส์ที่มีฤทธิ์ทางชีวภาพ เช่น trichokonins เป็นเป๊ปไทด์ที่มีความคงตัวในหลายอุณหภูมิและ pH สั้นกระหายได้จากเชื้อร้า *T. konigii* SMF2 มีคุณสมบัติในการยับยั้งแบคทีเรีย แกรมบวก ได้แก่ *Staphylococcus aureus*, *Bacillus subtilis* และ *Streptococcus faecalis* อีกทั้งสามารถยับยั้งเชื้อราก่อโรคพืช (plant pathogen) ได้แก่ *Fusarium oxysporum*, *Botrytis cinerea* และ *Rhizoctonia solani* (Song et al., 2006)

สิทธิบัตร US patent No. 6582949 แสดงเป๊ปไทด์โนโอดิกส์ที่สามารถควบคุมและต่อต้านการเจริญของปรสิตໄicide คือ cephobols มีกรดอะมิโน 16 เรซิดิวส์ ผลิตจากเชื้อร้า *Acremonium tubakii* FH 1685 DSM 12774 ซึ่งทดสอบการยับยั้งพยาธิในลำไส้ เช่น ตัวอ่อน

ของพยาธิตัวกลมในไก่ (*Ascaridia galli*) รวมทั้งพากโปรโตซัวด้วย เช่น ตัวอ่อนของหมัดในแมว (*Ctenocephalide felis*) อีกทั้งสาร cephreibols นี้สามารถพัฒนาไปเป็นผลิตภัณฑ์ยาที่ใช้กับคน และสัตว์ได้ (Vertesy *et al.*, 2003)

เป็นปีที่ใบโอดิกส์บางชนิดมีกิจกรรมการยับยั้งเซลล์มะเร็ง เช่น culicinin D ซึ่งผลิตโดยเชื้อราก่อโรคในแมลง *Culicinomyces clavisporus* LL-12I252 ซึ่งเป็นปีที่ใบลงนาดสั้น 10 เรซิดิวส์ มีโครงสร้างเป็น  $\alpha$ -helix สามารถยับยั้งการเจริญของเซลล์มะเร็งเต้านม MDA468 (PTEN-negative) โดยแสดงค่า LC<sub>50</sub> น้อยกว่า  $0.007 \mu\text{g.ml}^{-1}$  (He *et al.*, 2006)

peptaivirin A และ B เป็นปีที่ใบโอดิกส์ขนาดใหญ่ 19 เรซิดิวส์ ผลิตจากเชื้อรากที่ยังไม่ทราบชื่อ สายพันธุ์ KGT142 แสดงกิจกรรมการยับยั้งไวรัส *Tobacco mosaic virus* (TMV) ได้ดี โดยแสดงเปอร์เซ็นต์การยับยั้งเท่ากับ 74 และ 79 ที่ความเข้มข้น  $10 \mu\text{g.ml}^{-1}$  ตามลำดับ (Yun *et al.*, 2000) นอกจากนี้มีรายงานว่า Peptaivirin A และ B จากเชื้อราก *Apiocrea sp.* 14T สามารถยับยั้งแบคทีเรีย *Corynebacterium lilium* เชื้อราก *Aspergillus niger* อีกทั้งมีคุณสมบัติยับยั้งเซลล์มะเร็ง K562 (leukemia) และ UACC62 (melanoma) (Yeo *et al.*, 2002)

## 5. การศึกษาใน *nrrps* โดยเทคนิคทางชีวโมเลกุล

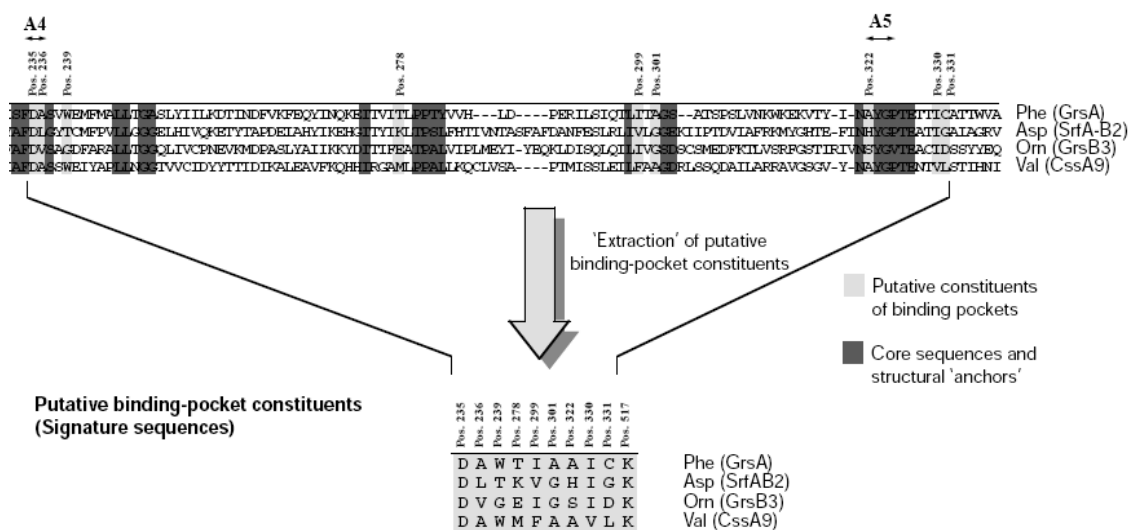
มีรายงานเกี่ยวกับการใช้เทคนิคทางชีวโมเลกุล เช่น การทำพีซีอาร์และไฟร์เมอร์ที่จำเพาะกับบริเวณอนุรักษ์บนโคเมนของเอนไซม์ NRPSs ที่ถอดและแปลรหัสจากยีน *nrrps* การโคลนยีนหรือการตรวจสอบยีนโดยใช้ไพรบ (probe hybridization) ตัวอย่างของการศึกษาเหล่านี้ เช่น Wilhite และคณะ (2001) รายงานการโคลน cDNA บางส่วนขนาด 5 kb ของยีน *psy1* ซึ่งแปลรหัสได้อ่อนไชม์ putative peptide synthetase (เป็นเอนไซม์ในกลุ่ม NRPSs) จากเชื้อ *T. virens* ซึ่งการศึกษานี้มีการคัดแยกยีนโดยการทำพีซีอาร์กับไฟร์เมอร์ที่ออกแบบจากโคเมน A ในส่วน core 2 และ core 4 Wiest และคณะ (2002) ได้รายงานชิ้นยีนทั้งหมดที่เกี่ยวข้องกับเอนไซม์ peptaibol synthetase ในเชื้อราสายพันธุ์เดียวกัน คือ *T. virens* โดยใช้ชื่อยีน *npr1* นี้ว่า *tex1* มีขนาด 62.8 กิโลเบส ซึ่งแปลเป็นกรดอะมิโน TEX1 ได้ 18 โนดูล โดยพบว่าสามารถสังเคราะห์เป็นปีที่ใบคลื่อ trichorzin TVA และ TVB มีขนาด 18 เรซิดิวส์ การศึกษานี้ใช้ไฟร์เมอร์ที่ออกแบบจากส่วนของโคเมน A บริเวณอนุรักษ์ core 2 และ core 5 จากเอนไซม์ และยีนดังกล่าวในได้ชิ้นที่เป็นปีที่ใบที่ฐานข้อมูล NCBI คือรหัส AAM78457 ซึ่งทั้ง 2 รายงานดังกล่าวคาดว่าเป็นยีนเดียวกันโดย *psy1* เป็นส่วนทาง 3' terminal ของยีน *tex1*

การศึกษาใน *pes* บางส่วนในเชื้อรา *T. asperellum* ที่เกี่ยวข้องกับการสังเคราะห์เป็นปีโป้ไบโอดิกซ์ trichotoxins ซึ่งการศึกษานี้ได้ผลิตโดยจากการทำพีซีอาร์ในส่วนของโอดเมน A บริเวณอนุรักษ์ core 2 และ core 5 สำหรับตรวจสอบโคลนของ *T. asperellum* ทั้งหมด 25 โคลน และพบว่าลำดับกรดอะมิโนที่ได้จากโคลนมี 86 % identity กับโปรตีน NRPSs อื่นๆ รวมทั้ง TEX1 ด้วย (Chutrakul and Peberdy, 2005)

ยีน *salp1* ซึ่งเป็น peptide synthetase gene ขนาด 19 กิโลเบส ประกอบด้วย 4 โมดูลของเชื้อรา *T. hazianum* CECT 2413 การคัดกรองชิ้นยีนดังกล่าวด้วยไฟร์เมอร์ที่ออกแบบจากโอดเมน A ในส่วน core 1 และ core 5 (Vizcaino *et al.*, 2005) ซึ่งใช้หลักการหาบริเวณ consensus sequences ของยีนแบบเดียวกับการศึกษาของ Wilhite และคณะ ปี 2001 และ Wiest และคณะ ในปี 2002 โดยเชื้อราสายพันธุ์ดังกล่าวคาดว่าผลิตเป็นปีโป้ไบโอดิกซ์ขนาด 18 และ 11 เรซิดิวส์ ซึ่งมีมวลโมเลกุล  $[M+H]^+$  *m/z* เท่ากับ 1,711 – 1,781 และ 1,197 – 1,227 Da ตามลำดับ และเอนไซม์ Salps1 ได้รับการพิสูจน์ว่าไม่เกี่ยวข้องกับการผลิต siderophore อีกด้วย (Vizcaino *et al.*, 2006)

## 6. การศึกษาลำดับกรดอะมิโนสัญลักษณ์ (Signature sequence)

การตรวจสอบลำดับกรดอะมิโนสัญลักษณ์มีต้นแบบจากเอนไซม์ GrsA ซึ่งเป็น peptide synthetases สำหรับผลิต gramicidin S โดยใช้โมดูลแรก ซึ่งจำเพาะกับกรดอะมิโน phenylalanine โดยมีการศึกษาโครงสร้าง 3 มิติของผลึกโปรตีน (crystal) ในส่วนโอดเมน PheA (phenylalanine-activating adenylation domain) พบร่วมกับหน่วยต่อไปนี้ สำหรับจัดลำดับสัญลักษณ์ที่จำเพาะบนปีโป้ไบโอดิกซ์ (Stachelhaus and Marahiel, 1995) ลำดับกรดอะมิโนสัญลักษณ์จะอยู่ในส่วนโอดเมน A โดยจะประกอบไปด้วย 8 – 10 เรซิดิวส์ (Stachelhaus *et al.*, 1999) ซึ่งกรดอะมิโนในตำแหน่งต่างๆ นี้จะเป็นสัญลักษณ์ในการกำหนดสัญลักษณ์สำหรับที่จำเพาะ (ภาพที่ 8) ตัวอย่างจากการศึกษาของ Wiest และคณะ ค.ศ. 2002 แสดงลำดับสัญลักษณ์ของยีน *tex1* ในโอดเมน A จากทุกโมดูลของปีโป้ไบโอดิกซ์ trichorzin รวมทั้งลำดับกรดอะมิโนสัญลักษณ์ของ aminoisobutyric acid (Aib; U) ซึ่งเป็นกรดอะมิโนสำคัญของปีโป้ไบโอดิกซ์ (ตารางที่ 4)



**ภาพที่ 8** แบบจำลองการระบุตำแหน่งของลำดับกรดอะมิโนสัญลักษณ์ (signature sequence หรือ binding-pocket constituent, แบบสีอ่อน) และส่วนที่เป็น core sequences เป็นลำดับที่มีความอนุรักษ์สูง (แบบสีเข้ม)

ที่มา: Stachelhaus *et al.* (1999)

**ตารางที่ 4** ลำดับกรดอะมิโนสัญลักษณ์ของขีน tex1 ในโคเมน A ของเชื้อรา *T. virens* โดย J: isovaline, U: aminoisobutyric acid (Aib), V-OH: valinol

Amino acid	Module	Signature sequence position								
		235	236	239	278	299	301	322	330	331
Q	6	D	G	G	M	V	G	G	N	Y
Q	17	D	G	G	M	V	G	G	N	Y
J/U	7	D	C	G	W	V	V	G	V	V
U	1	D	L	G	Y	L	A	G	V	F
U	9	D	L	G	Y	L	A	G	C	F
U	12	D	L	G	Y	L	A	G	V	F
U	15	D	L	G	F	L	A	G	V	F
U	16	D	L	G	F	L	A	G	L	F
U/A	5	D	L	G	W	L	C	G	V	F
A	3	D	V	G	F	V	A	G	V	L
A	8	D	I	F	V	V	A	G	V	I
L	11	D	F	L	Y	F	G	G	V	V
L/V	14	D	A	A	L	I	G	A	V	F
V	4	D	M	G	F	L	G	G	V	C
V-OH	18	D	A	I	I	I	V	G	V	T
G	2	D	I	G	M	V	V	G	V	I
S	10	D	V	G	Y	L	A	A	V	Y
P	13	D	V	L	F	C	G	L	I	C

ที่มา: Wiest *et al.* (2002)

## 7. การศึกษาสเปกตรัมมวล (Mass spectrometry; MS) ของเปปไทด์ในโอติกส์

เทคนิค MS คือการวัดอัตราส่วนมวลต่อประจุของไอออน (mass-to-charge ratio;  $m/z$ ) และเขียนกราฟความสัมพันธ์ระหว่างความหนาแน่นของไอออน (intensities) และ  $m/z$  โดยแสดงผลในรูปแบบของ ดัลตันส์ (Daltons; Da) ต่อ 1 ยูนิตประจุ (Juliana and Filho, 2007) ปัจจุบันเทคนิค MS นี้ มีการพัฒนาและประยุกต์ใช้ในการวิเคราะห์ทางเคมีและชีวภาพแล้ว ค่อนข้างมาก ทำให้ MS เป็นเครื่องมือสำคัญสำหรับการศึกษาสารชีวภาพหรือผลิตภัณฑ์จากธรรมชาติ เช่น จุลชีพและพืชสมุนไพร เป็นต้น เครื่องวัดสเปกตรัมมวล (mass spectrometer) ประกอบไปด้วย 3 ส่วนสำคัญ คือ แหล่งกำเนิดประจุ (ionization source) เครื่องวิเคราะห์มวล (mass analyzer) และเครื่องตรวจวัด (detector) และแสดงในภาพที่ 9 ซึ่งการรายงานนี้จะกล่าวเฉพาะ เทคนิคสำหรับการศึกษาสเปกตรัมมวลของเปปไทด์ในโอติกส์เท่านั้น



ภาพที่ 9 องค์ประกอบสำคัญ 3 ส่วนของเครื่องวัดสเปกตรัมมวล ก.) แหล่งกำเนิดประจุ ข.) เครื่องวิเคราะห์มวล และ ค.) เครื่องตรวจวัด

แหล่งกำเนิดประจุที่นิยมใช้สำหรับการศึกษาเปปไทด์ในโอติกส์ คือ Fast atom/ion bombardment (FAB) ซึ่งวิธีนี้เป็นเทคนิคแรกๆ ที่พัฒนาขึ้นเพื่อใช้สำหรับศึกษาโมเลกุลสารที่ไม่ระเหย (non-volatile molecules) และมีช้า (polar molecules) มีการศึกษาเพื่อหาลำดับกรดอะมิโนของเปปไทด์ในโอติกส์โดย FAB ประกอบกับ tandem mass spectrometry (MS/MS) การศึกษามวลและหาลำดับกรดอะมิโนที่เป็นองค์ประกอบในเปปไทด์ในโอติกส์โดยการวิเคราะห์ FAB-MS เช่น atroviridins A, B และ C จากเชื้อ *T. atroviride* (Oh *et al.*, 2000) peptaivirins A และ B เปปไทด์ขนาด 19 เราชีวิส์ แยกได้จากเชื้อรากพันธุ์ KGT142 (Yun *et al.*, 2000) และ เปปไทด์ในโอติกส์ clonostachins มีขนาด 14 เราชีวิส์ มีปลายcarboxyl เป็นน้ำตาลแอลกอฮอล์ ผลิตจากเชื้อรา *Clonostachys* sp. F5898 (Chikanishi *et al.*, 1997) เป็นต้น

แหล่งกำเนิดประจุที่สร้างโดยเทคนิค Liquid Secondary Ionization (LSI) จะผสมกับ เมทริกส์ เช่น 3-nitrobenzyl alcohol ที่อิ่มตัวด้วย LiCl ดังนั้นมวลโมเลกุลอาจมีไอออนของ

ลิเทียมด้วย และวิธี LSI จะสามารถใช้ประกอบกับ MS/MS เพื่อหาลำดับกรดอะมิโนในโครงสร้างได้ ตัวอย่างเป็นปีป์ไทีโอดิกส์ที่ศึกษาด้วยเทคนิค LSI-MS เช่น harzianin HB I ขนาด 11 เรซิดิวซ์ จากเชื้อ *T. harzianum* (Augeven-Bour *et al.*, 1997)

การสร้างไอออนอิกวิชีนนิ่งคือ Matrix-Assisted Laser Desorption/Ionisation (MALDI) โดยจะนำตัวอย่างมาผสมกับเมทริกส์และจับตัวเป็นผลึก (crystal) ซึ่งเป็นของแข็งก่อนแล้วใช้เลเซอร์ยิงไปเป็นการสร้างไอออนให้กับตัวอย่าง โดยวิธีนี้มักเกิดมวล  $m/z$  แบบ singly charge คือมวลที่มีหนึ่งประจุ เช่น  $[M+H]^+$  เป็นต้น ตัวอย่างของเป็นปีป์ไทีโอดิกส์ที่ศึกษาด้วยวิธีนี้ เช่น การวิเคราะห์ MS ของเป็นปีป์ไทีโอดิกส์ที่ผลิตโดยเชื้อจีนัส *Trichoderma/Hypocrea* เพื่อทำนายโครงสร้างของเป็นปีป์ไทีโอดิกส์ร่วมกับความสัมพันธ์ทางโมเลกุล ด้วยเทคนิค Intact-cell MALDI-TOF คือการสกัดสารอย่างเร็วโดยทำลายเส้นใยเชื้อราจำนวนเล็กน้อยและสกัดด้วยสารละลาย acetonitrile : methanol : water (1 : 1 : 1) และน้ำสารสกัดไปวิเคราะห์มวลด้วยแหล่งกำเนิดประจุคือ MALDI และการวิเคราะห์มวลโดย Time-of-Fight (TOF) (Neuhof *et al.*, 2007) มีรายงานการใช้เทคนิคดังกล่าวนี้ในการศึกษาปัจจัยแสวงต่อการสร้าง atroviridins ในเชื้อ *H. atroviridis* อิกด้วย (Zelakowska-Komon *et al.*, 2007)

อิกวิชีนิยมในการศึกษาโปรตีนหรือเป็นปีป์ไทด์ที่มีขนาดมวลใหญ่ (macromolecules) คือ Electrospray ionisation (ESI) ซึ่งเทคนิคนี้ค่อนข้างมีข้อได้เปรียบคือ ช่วยลดขั้นตอนการทดสอบ รวมทั้งปัญหาเรื่องการจับตัวกับเมทริกซ์เพื่อสร้างคริสตัล ซึ่งมักทำให้เกิดไอออนที่ไม่ใช่มวลที่แท้จริง (pseudo molecular ions) เทคนิคนี้มักใช้ต่อเนื่องกับเครื่องมืออื่น ได้แก่ HPLC ซึ่งจะเรียกว่า LC-ESI/MS เช่น การศึกษาโมเลกุลและลำดับของ trichobrachins จากเชื้อ *Trichoderma parceramosum* (syn. *T. longibrachiatum*) โดยเทคนิค LC/ESI-MS มีแหล่งกำเนิดไอออน ESI และการวิเคราะห์มวลโดย ion trap (Krause *et al.*, 2007) เทคนิคต่อเนื่องนี้สามารถตรวจสอบเป็นปีป์ไทีโอดิกส์ปริมาณน้อยๆ ได้จากลิ่งแวดล้อมด้วย เช่น การตรวจหา alamethicin F50 ในตะกอนจากน้ำทะเล ซึ่งพบว่าเทคนิคดังกล่าวสามารถตรวจสอบสารทดสอบได้ในระดับพิโคกรัมต่อกรัมของตะกอน (Poirier *et al.*, 2007) ดังนั้นจะเห็นได้ว่า LC-ESI-IT/MS มีประสิทธิภาพสูงและตรวจสอบสารที่มีปริมาณน้อยๆ ได้ดี นอกจากนี้ มีการศึกษาที่ใช้แหล่งกำเนิดไอออน ESI เช่นเดียวกัน แต่มีการวิเคราะห์มวลต่างกันออกไปคือ การเชื่อมระหว่าง 2 เทคนิค ได้แก่ Quadrupole และ reflectron TOF เรียกว่า QTOF เช่น trichotoxins จาก *T. harzianum* ซึ่งพบว่ามีค่า  $m/z$  เป็น singly doubly และ triply charges คือมวลที่มีการเพิ่ม electron charge เป็น 1, 2 หรือ 3 ตามลำดับ เป็นต้น (Suwan *et al.*, 2000)

## อุปกรณ์และวิธีการ

### 1. เครื่องจุลทรรศน์

1.1 เครื่องที่ใช้ในการทดลองทั้งหมด 57 สายพันธุ์ จาก 2 แหล่งเก็บสายพันธุ์จุลทรรศน์ ดังนี้

1.1.1 ห้องปฏิบัติการเก็บรวบรวมสายพันธุ์จุลทรรศน์ (Biotec Culture Collection; BCC) ศูนย์พันธุ์วิศวกรรมและเทคโนโลยีชีวภาพแห่งชาติ (BIOTEC) โดยเป็นเครื่องในกลุ่มจีนัส ที่คาดว่าสามารถผลิตเปปป์ไทด์หรือเปปป์ไทด์ในโอดิกส์ทั้งหมด 49 สายพันธุ์ แสดงในตารางที่ 5 เก็บรักษาเชื้อโดยเลี้ยงบนอาหารแพ็ง Potato Dextrose Agar (PDA, Bacto<sup>TM</sup>) ตัดเป็นชิ้นเล็กๆ ผสมกับกลีเซอรอล 50 % เก็บที่ – 80 °C การเตรียมหัวเชื้อทำโดยเพาะเชื้อในอาหาร PDA และบ่มที่ 25 °C เป็นเวลา 7 - 10 วัน

ตารางที่ 5 เครื่องที่คาดว่าสามารถผลิตเปปป์ไทด์ในโอดิกส์จากห้องปฏิบัติการเก็บรวบรวมสายพันธุ์จุลทรรศน์

Microorganism	BCC No.	Group
<i>Acremonium muronum</i>	5762	Soil fungi
<i>Acremonium polychromum</i>	242	Soil fungi
<i>Acremonium polychromum</i>	4913	Soil fungi
<i>Acremonium roscolum</i>	4870	Alkaline tolerant fungi
<i>Acremonium</i> sp.	5978	Palm fungi
<i>Acremonium</i> sp.	9257	Marine fungi
<i>Acremonium</i> sp.	18314	Unspecified
<i>Acremonium</i> sp. ( <i>Clonostachys rogersoniana</i> )	4862	Alkaline tolerant fungi
<i>Acremonium</i> sp. ( <i>Fusarium oxysporum</i> )	4868	Alkaline tolerant fungi
<i>Acremonium</i> sp. ( <i>Verticillium luteo-album</i> )	4744	Alkaline tolerant fungi
<i>Acremonium strictum</i>	5763	Soil fungi
<i>Hypocreë</i> sp. ( <i>Bionectria pityrodes</i> )	4293	Soil fungi
<i>Paecilomyces carneus</i>	17957	Unspecified
<i>Paecilomyces cinnamomeus</i>	2107	Insect Pathogenic fungi
<i>Paecilomyces farinosus</i>	17978	Unspecified
<i>Paecilomyces inflatus</i>	18241	Unspecified
<i>Paecilomyces javanicus</i>	17980	Unspecified
<i>Paecilomyces lilacinus</i>	372	Soil fungi
<i>Paecilomyces lilacinus</i>	496	Soil fungi
<i>Paecilomyces marquandii</i>	107	Soil fungi
<i>Paecilomyces marquandii</i>	108	Soil fungi
<i>Paecilomyces marquandii</i>	4506	Soil fungi
<i>Paecilomyces</i> sp.	17467	Unspecified
<i>Paecilomyces variotii</i>	17535	Unspecified
<i>Paecilomyces variotii</i>	17797	Unspecified

### ตารางที่ 5 (ต่อ)

Microorganism	BCC No.	Group
<i>Stilbella annulata</i>	4653	Alkaline tolerant fungi
<i>Stilbella annulata</i>	4916	Soil fungi
<i>Stilbella emericellopsis</i>	3903	Seed fungi
<i>Stilbella fimetaria</i>	4985	Soil fungi
<i>Stilbella holubovae</i>	12353	Freshwater fungi
<i>Stilbella</i> sp.	4742	Alkaline tolerant fungi
<i>Stilbella</i> sp.	7545	Seed fungi
<i>Stilbella</i> sp.	8283	Wood Decay Fungi
<i>Trichoderma koningii</i>	17392	Unspecified
<i>Trichoderma pseudokoningii</i> ( <i>Trichoderma qhanense</i> )	18053	Unspecified
<i>Trichoderma</i> sp.	12542	Palm fungi
<i>Trichoderma</i> sp.	14173	Palm fungi
<i>Trichoderma</i> sp.	20419	-
<i>Trichoderma</i> sp. ( <i>Hypocrea lixii</i> )	488	Soil fungi
<i>Trichoderma</i> sp. ( <i>Hypocrea lixii</i> )	14814	-
<i>Trichoderma</i> sp. ( <i>Mariannaea campylospora</i> )	12193	Freshwater fungi
<i>Trichoderma</i> sp. ( <i>Paraconiothyrium estuarinum</i> )	19994	Marine fungi
<i>Trichoderma</i> sp. ( <i>Trichoderma asperellum</i> )	196	Soil fungi
<i>Trichoderma</i> sp. ( <i>Trichoderma asperellum</i> )	12530	Palm fungi
<i>Trichoderma</i> sp. ( <i>Trichoderma atroviride</i> )	11207	Aquatic fungi
<i>Trichoderma</i> sp. ( <i>Trichoderma hazianum</i> )	436	Soil fungi
<i>Trichoderma</i> sp. ( <i>Trichoderma parceramosum</i> )	17716	Unspecified
<i>Trichoderma</i> sp. ( <i>Trichoderma velutinum</i> )	13402	Saprobic fungi
unknown ( <i>Talaromyces stipitatus</i> )	17183	Unspecified

หมายเหตุ ในวงเล็บแสดงการระบุสายพันธุ์เชื้อ โดยการศึกษาลำดับนิวคลีโอไทด์ส่วนของยีน ITS1, 5.8s และ ITS2 (ตารางผนวกที่ ก1) และจะใช้ชื่อสายพันธุ์ที่ได้สำหรับงานวิจัยนี้ในลำดับต่อไป

1.1.2 ภาควิชาเทคโนโลยีชีวภาพ คณะอุตสาหกรรมเกษตร มหาวิทยาลัย เกษตรศาสตร์ ทั้งหมด 8 สายพันธุ์แยกจากคินจากอาบากเมือง จังหวัดกระน้ำ แสดงในตารางที่ 6

1.2 เชื้อจุลินทรีย์ที่ใช้ในการทดสอบกิจกรรมการขับยั่ง โดยเชื้อแบคทีเรียที่เลือกมาทดสอบ เป็นเชื้อก่อโรคในระบบทางเดินอาหาร ซึ่งมีอาการกระเพาะอาหารและลำไส้อักเสบ โรคท้องร่วง เกิดอาการคลื่นเหลียน อาเจียน อาการเกิดขึ้นหลักหลายขึ้นกับปริมาณเชื้อและหรือพิษที่ปะปนในอาหาร (Singleton, 2004) ได้แก่ เชื้อแบคทีเรียแกรมบวก *Bacillus cereus* TISTR 687 (ATCC 11778) เชื้อแบคทีเรียแกรมลบ *Escherichia coli* TISTR 887 (ATCC 25922) นอกจากนี้มีเชื้อยีสต์ *Candida albicans* ATCC 90028 ที่ก่อโรคในระบบสืบพันธุ์เพศหญิงและช่องปาก หัวเชื้อแบคทีเรียและยีสต์เตรียมโดย steak ให้ได้โคลนีเดี่ยวบนอาหาร Tryptic Soy

Agar (TSA, Bacto<sup>TM</sup>) และ RPMI – MOPS (Sigma<sup>®</sup>) ตามลำดับ บ่มที่ 37 °C ข้ามคืน และเก็บรักษาเชื้อในอาหารเหลวสมกลีเซอรอลมีความเข้มข้นสุดท้าย 15 % ที่อุณหภูมิ – 80 °C

**ตารางที่ 6** แสดงเชื้อ *Hypocrea* หรือ *Trichoderma* ที่แยกจากตัวอย่างดินทั้งหมด 8 สายพันธุ์

Microorganism	Isolate No.	Collection site
<i>Hypocrea lixii</i>	KU 0066	
<i>Hypocrea lixii</i>	KU 0084	Than Bok Khorani National Park
<i>Trichoderma asperellum</i>	KU 0087	
<i>Hypocrea lixii</i>	KU 0101	
<i>Hypocrea lixii</i>	KU 0102	Khao Phanom Bencha National Park, Huai To Waterfall
<i>Hypocrea lixii</i>	KU 0107	
<i>Hypocrea lixii</i>	KU 0113	
<i>Trichoderma aureoviride</i>	KU 0119	

หมายเหตุ ชื่อจีนสและสปีชีสของเชื้อระบุจากการวิเคราะห์ส่วนของยีน ITS1 5.8S และ ITS2 ของ rRNA gene (ตารางผนวกที่ ก1)

## 2. การผลิตและสกัดสารเปปไทด์จากเชื้อรา

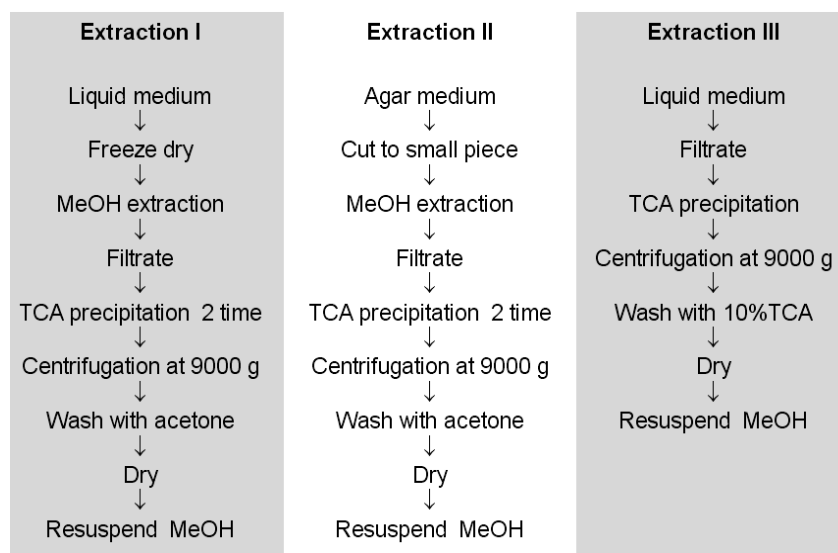
### 2.1 การผลิตสารเปปไทด์จากเชื้อรา

เตรียมหัวเชื้อราจากอาหารแข็ง 3 % malt extract (3 % ME ประกอบด้วย 3 % malt extract และ 0.3 % peptone) ตัดเป็นชิ้นเล็ก ลงหัวเชื้อในอาหารเหลว 3 % ME ปริมาณ 50 ml ที่เติมกรดอะมิโนอิสระ α - Aminoisobutyric acid; Aib (Sigma – Aldrich, ประเทศไทย) ความเข้มข้น 50  $\mu\text{g.ml}^{-1}$  ในภาชนะปูมผุขนาด 250 ml จำนวน 2 ขวด บ่มที่ 25 °C สภาวะนิ่ง (static state) มีแสง จนกระทั่งเชื้อเจริญเติบโตบนผิวน้ำอาหารเหลวประมาณ 7 – 14 วัน

### 2.2 การสกัดสารเปปไทด์จากเชื้อรา

การทดสอบหาวิธีการสกัดที่เหมาะสมโดยดัดแปลงจาก Yvon และคณะ (1989) และ Stone และ Williams (1993) มีทั้งหมด 3 วิธีการ (ภาพที่ 10) วิธีการสกัด I คือนำเชื้อที่เลี้ยงในอาหารเหลว 3 % ME (อุปกรณ์และวิธีการข้อ 2.1) มาทำให้แห้งด้วย freeze dry จากนั้นนำตัวอย่างแห้งทั้งหมดมาสกัดด้วยเมทานอลโดยการเติมจนท่วมตัวอย่าง นำไปเขย่าเป็นเวลา 30 – 60 นาที กรองคั่วขยะกรอง นำสารละลายมาตกตะกอน (precipitation) ด้วย trichloroacetic acid (TCA) โดยมีความเข้มข้นสุดท้ายเท่ากับ 10 % แซ่บในน้ำแข็งเป็นเวลา 1 ชม. ปั่นให้วายที่ 9,000 g ล้างคั่วของซิโตัน ตากให้แห้ง และละลายสารสกัดในเมทานอล วิธีการสกัด II คือเลี้ยงเชื้อ

ในอาหารแข็ง 3 % ME จำนวน 4 plate ตัดเชือเป็นชิ้นเล็กๆ และสกัดเชือสด โดยวิธีการเดียวกับวิธีการสกัด I วิธีการสกัด III คือเดี่ยงเชือในอาหารเหลว 100 ml กรองเศษ渣ล้ออก ตกตะกอนด้วย TCA โดยมีความเข้มข้นสุดท้ายเท่ากับ 10 % แช่ในน้ำแข็งเพื่อตกตะกอน เป็นเวลา 1 ชม. ปั่นเหวี่ยงที่ 9,000 g ล้างด้วย 10 % TCA ตากตะกอนให้แห้งและละลายตะกอนในเมทานอล ปริมาณ 300 μl ต่ออาหารที่สกัด 100 ml เก็บสารสกัดที่ – 20 °C



ภาพที่ 10 วิธีการสกัดสาร I – III และขั้นตอนการสกัดสาร

### 2.3 การตรวจสอบวิธีการสกัดสาร III กับยาปฏิชีวนะ

การตรวจสอบวิธีการสกัดสารที่ III กับยาปฏิชีวนะ โครงสร้างต่างๆ ได้แก่ gramicidin, bacitracin, vancomycin, ampicillin, chloramphenicol และ amphotericin B โดยเติมลงใน 3 % ME ให้มีความเข้มข้นสุดท้าย  $100 \text{ mg.ml}^{-1}$  และนำมาสกัดวิธีการ III จากนั้นนำสารสกัดที่ได้ไปวิเคราะห์ด้วย HPLC (X-Terra® MS C18, 3.5μm, 2.1x50 mm, Waters, ประเทศไทย) โดยจะด้วยระบบสารละลายที่เป็นสัดส่วนกันระหว่างน้ำและอะซิโตนไฮดรอลิก (ACN, HPLC grade) 0 – 100 % ระยะเวลา 20 นาที หาพื้นที่ใต้กราฟของพิกเปรียบเทียบกับยาปฏิชีวนะมาตรฐานที่มีความเข้มข้น  $0.5 \text{ mg.ml}^{-1}$  และคำนวณ % recovery ดังนี้

$$\% \text{ recovery} = \left[ \frac{\text{area peak of extracted antibiotics}}{\text{area peak of standard antibiotics}} \right] \times 100$$

### 3. การทดสอบทางกิจกรรมการยับยั้งทางชีวภาพ

#### 3.1 การทดสอบยับยั้งเชื้อแบคทีเรีย

3.1.1 เทคนิคดูดซับสารในหลุมอาหารแข็ง (Agar well diffusion) ปรับปรุงจากวิธีของ Richardson และคณะ (1968) โดยเตรียมจานเพาะเชื้อเป้าหมายคือ *B. cereus* ATCC 11778 บนอาหารแข็ง TSA ปริมาตร 20 ml อุณหภูมิ 45 °C ซึ่งมีความหนาแน่นเชื้อ  $1 \times 10^6$  CFU.ml<sup>-1</sup> รอให้อาหารแข็งตัวจึงจะเป็นหลุมด้วย cork borer ขนาดเส้นผ่านศูนย์กลาง 5 mm แล้วเติมสารสกัดทดสอบในหลุมๆ ละประมาณ 20 µl รอบกระถั่งเมทานอล (สารละลายของสารสกัด) ระยะเวลา 10 – 15 นาที บ่มที่อุณหภูมิ 37 °C เป็นเวลา 12 ชั่วโมง ตรวจสอบการยับยั้งการเจริญของเชื้อทดสอบโดยการวัดเส้นผ่านศูนย์กลางบริเวณใส (clear zone) คำนวณเป็น % relative inhibition กับบริเวณใสที่ได้จาก chloramphenicol 100 µg.ml<sup>-1</sup> ดังนี้

$$\% \text{ relative inhibition} = \frac{\text{diameter of crude extraction} - \text{diameter of MeOH}}{\text{diameter of chloramphenicol} - \text{diameter of MeOH}} \times 100$$

3.1.2 การทดสอบการยับยั้งแบคทีเรียแบบ microdilution method ในระดับ 96 – well plate โดยปรับปรุงจากวิธีการมาตรฐาน Methods for Dilution Antimicrobial Susceptibility Tests; Approved Standard Seventh Edition (M7 – A7) ของสถาบัน Clinical and Laboratory Standards Institute (CLSI) โดยเติมสารสกัดตัวอย่าง 20 µl ต่อหลุม ตั้งไว้ในกระถั่งสารละลายเมทานอลระยะเวลา 10 – 15 นาที เตรียมลงหัวเชื้อเป้าหมาย ของการศึกษานี้ ได้แก่ *B. cereus* ATCC 11778 และ *E. coli* ATCC 25922 ให้มีความหนาแน่นเซลล์เท่ากับ  $5 \times 10^3$  CFU.ml<sup>-1</sup> โดยมีปริมาตรสุดท้าย 100 µl ต่อหลุม บ่ม 16 – 18 ชั่วโมง 37 °C และพัฒนาการเติมสีฟลูออเรสเซนต์ resazurin ที่ความเข้มข้น 0.05 mM ปริมาณ 50 µl ต่อหลุม วัดค่า fluorescent intensity ด้วยความยาวแสงกระตุ้น (excitation) 530 nm และความยาวแสงแฟร์ออก (emission) 590 nm โดยเครื่อง microtiter plate reader รุ่น Victor3 (PerkinElmer, ประเทศสหรัฐอเมริกา) และนำค่าความหนาแน่นของแสงฟลูออเรสเซนต์ (intensity) มาคำนวณเปอร์เซ็นต์การยับยั้งดังนี้

$$\% \text{ inhibition} = \left[ \frac{1 - (\text{FI of sample} - \text{FI of background})}{(\text{FI of growth control} - \text{FI of background})} \right] \times 100$$

FI of sample คือ ค่าความเข้มแสงฟลูออเรสเซนต์ (fluorescent intensity) ของชุดทดสอบที่ประกอบด้วยสารสกัด อาหารเลี้ยงเชื้อและหัวเชื้อ

FI of background คือ ค่าความเข้มแสงฟลูออเรสเซนต์ของชุดทดสอบที่ประกอบด้วย อาหารเลี้ยงเชื้อ

FI of growth control คือ ค่าความเข้มแสงฟลูออเรสเซนต์ของชุดทดสอบที่ประกอบด้วย อาหารเลี้ยงเชื้อและหัวเชื้อ

กำหนดความเข้มข้นของสารทดสอบที่มี % inhibition มากกว่าหรือเท่ากับ 90 เปอร์เซ็นต์ เป็นผลบวก (positive result) สำหรับการคัดกรองขั้นต้น (primary screening) และ การคัดกรองขั้นที่สอง (secondary screening) จะเจือจางสารทดสอบลงทีละ 2 เท่า (two fold dilution) เพื่อหาค่าความเข้มข้นของสารทดสอบต่ำที่สุดในการขับยั้งเชื้อ (minimum inhibitory concentration; MIC) โดยกำหนด ค่า MIC คือความเข้มข้นของสารทดสอบน้อยที่สุดที่มีการขับยั้งเชื้อเป้าหมายมากกว่าหรือเท่ากับ 90 %

### 3.2 การทดสอบขับยั้งเชื้อยีสต์ *C. albicans* ATCC 90028

การทดสอบขับยั้งเชื้อร่าในระดับ 96 – well plate โดยเติมสารสกัด 20  $\mu\text{l}$  ต่อหลุม ระหว่างมานอกออก เติม 10 % DMSO 100  $\mu\text{l}$  และลงเชื้อ *C. albicans* ATCC 90028 ปริมาณ 100  $\mu\text{l}$  ให้มีความเข้มข้นเซลล์  $4 \times 10^5$  เซลล์ต่อหลุม บ่มที่อุณหภูมิ  $37^\circ\text{C}$  เป็นเวลา 4 ชั่วโมง เติมสีฟลูออเรสเซนต์ rezasurin ความเข้มข้น 0.05 mM ปริมาตร 25  $\mu\text{l}$  ต่อหลุม บ่มต่ออีก 35 นาที วัดค่า fluorescent intensity ที่ความยาวคลื่นแสง เช่นเดียวกับข้อ 3.1 คำนวน % inhibition ตามสูตร ข้อ 3.1 โดยกำหนด % inhibition มากกว่าหรือเท่ากับ 50 % เป็นผลบวกในการคัดกรองขั้นต้น และในการคัดกรองขั้นที่สองจะเจือจางสารทดสอบทีละ 2 เท่า เพื่อหาค่า Median inhibitory concentration ( $\text{IC}_{50}$ ) คือความเข้มข้นสารทดสอบที่ทำให้เกิดการขับยั้งเป็นครึ่งหนึ่งจากตัวควบคุมการเจริญ หรือเกิดการขับยั้ง 50 %

## 4. การวิเคราะห์กรดอะมิโนโดยวิธีโคมาราโตกราฟีแบบแผ่นบาง (Analytical TLC)

การวิเคราะห์กรดอะมิโน TLC ดัดแปลงจาก Heathcote (1968) และ Bruckner และคณะ (1983) โดยการนำสารสกัดน้ำมักมาไฮโดรไลซ์ด้วยกรดไฮดรคลอริกเข้มข้น 6 N

อัตราส่วน 1 ต่อ 4 (สารสกัด : กรดเข้มข้น) โดยปริมาตร ที่อุณหภูมิ  $120^{\circ}\text{C}$  เป็นเวลา 12 – 16 ชม. และละลายน้ำไฮโดรไลซेट (hydrolysate) ที่ได้ด้วยกรดไฮโดรคลอริก 0.1 N ปริมาตร 1 ใบ 2 ส่วน ของปริมาตรตัวอย่างที่ใช้ จากนั้น โหลดตัวอย่างบนแผ่นชิลิกาขนาด  $20 \times 20 \text{ cm}^2$  (Cat No. 105715.0001, Merck, ประเทศเยอรมัน) ซึ่งใช้เป็น stationary phase โดยมีระบบสารตัวทำละลายคลอโรฟอร์ม : เมทานอล : น้ำ : กรดอะซิติกเข้มข้น อัตราส่วน 65 : 25 : 4 : 3 และ ไฮโซโนฟอร์พานอล : เมทานอล : น้ำ อัตราส่วน 40 : 2 : 10 เป็น mobile phase บ่มที่  $110^{\circ}\text{C}$  10 นาที และตรวจสอบโดยสเปรย์สารละลายนินไฮดิน (ninhydrin) ความเข้มข้น  $20 \text{ mg.ml}^{-1}$  ในอุ่นๆ บ่มต่อที่  $110^{\circ}\text{C}$  5 นาที จะปรากฏจุดสีแดง นำติด หรือเหลืองของกรดอะมิโน

## 5. การศึกษาสารสกัดของเชื้อรา *T. asperellum* BCC12530

### 5.1 การทำสารสกัดให้บริสุทธิ์บางส่วนโดย TLC

จากหัวข้อ 2.2 เพิ่มปริมาณการผลิตเป็น 1 升 นำไปสกัดด้วยวิธีการสกัดที่ III ชั่งน้ำหนักสารสกัดแห้งและละลายน้ำมีความเข้มข้น  $50 \text{ mg.ml}^{-1}$  นำสารสกัดหายาบังกลาดำมาทำให้บริสุทธิ์บางส่วน โดยหยดน้ำ TIC (Merck, ประเทศเยอรมัน) โดยมีระบบเฟสเคลื่อนที่เป็นน้ำยา : กรดอะซิติก : น้ำ อัตราส่วน 6 : 2 : 2 และตรวจสอบด้วยการสเปรย์น้ำเมื่อปล่อยให้แห้งจะพบบริเวณที่ไม่เปียกน้ำ (Bruckner et. al, 1983) บุด้วยน้ำที่ไม่เปียกแล้วน้ำจะหายไป เนื่องจากในเมทานอลปั่นหวีงเพื่อแยกตัวน้ำสารละลายน้ำออกจากสารตัวอื่น ออกในสภาวะสุญญากาศด้วยเครื่อง vacuum dryer ชั่งน้ำหนักแห้งของสารที่ได้และปรับความเข้มข้นสารที่บริสุทธิ์บางส่วนนี้ด้วย เมทานอลให้ได้ความเข้มข้น  $20 \text{ mg.ml}^{-1}$

### 5.2 การวิเคราะห์กรดอะมิโนโดยวิธี High Pressure Liquid Chlomatography (HPLC)

การวิเคราะห์กรดอะมิโนด้วย reverse-phase HPLC ของสารสกัดจาก *T. asperellum* BCC 12530 ที่ผ่านกระบวนการไฮโดรไลส์และทำปฏิกิริยากับ Waters AccQ•Fluor<sup>TM</sup> reagent (สารฟลูออเรสเซนต์เพื่อเพิ่มประสิทธิภาพในการตรวจสอบ) เกิดเป็นสารอนุพันธ์ของกรดอะมิโน ตามกระบวนการของ AccQ•Tag<sup>TM</sup> method โดยใช้คอลัมน์ NovaPak C<sub>18</sub> ( $3.9 \times 150 \text{ mm.}, 4\mu\text{l}$ , Waters, ประเทศเยอรมัน) ชุดด้วยสารละลายน้ำ เคลื่อนที่แบบ isocratic system คือ น้ำ 40 % และอะซิตอิตรี 60 % อัตราเร็ว  $1 \text{ ml.min}^{-1}$  ตรวจสอบด้วย Water 470 Scanning Fluorescence Detector monitoring ที่ความยาวคลื่นแสงกระตุ้นและแสงแฟล็อกเกตที่ 250 และ 395 nm ตามลำดับ

### 5.3 การวิเคราะห์โมเลกุลสารสกัดด้วย Mass Spectrometry (LC-ESI/MS)

การวิเคราะห์โมเลกุลสารสกัดด้วยระบบต่อเนื่อง HPLC รุ่น Agilent 1200 series (Agilent Technologies, ประเทศไทย) ใช้คอลัมน์ Luna® C18 (2) (4.6 x 100 mm, 5 μm, Phenomenex, ประเทศไทย) โดยมีระบบสารละลายแสดงในตารางที่ 7 และ MS โดยมี Electrospray (ESI) เป็นแหล่งกำเนิดไอออนและใช้ความถี่กับเครื่องตรวจวัดแบบ Time of Flight – Mass Spectrometer (TOF-MS) รุ่น micrOTOF (Bruker Daltonis®, ประเทศเยอรมัน) โดยนำตัวอย่างสารสกัดที่ผ่านการทำให้บริสุทธิ์ทางส่วนตัวย TLC และ (วิธีการข้อ 5.1) ที่ความเข้มข้น  $20 \text{ mg.ml}^{-1}$  ในเมทานอล นีดปริมาตร  $2 \mu\text{l}$  และตรวจสอบไอออนประจุบวก

ตารางที่ 7 เปอร์เซ็นต์ของสารละลายระหว่างน้ำและอะซิโตในไตรท์ (ACN) ในการวิเคราะห์ HPLC

Time (min:sec)	% A ( $\text{H}_2\text{O}$ )	% B (ACN)
00:00	90	10
19:00	0	100
29:00	0	100
33:00	90	10
35:00	90	10

### 5.4 การวิเคราะห์ปริมาณโปรตีนโดย Lowry protein assay

การวัดปริมาณโปรตีนด้วยวิธีการของ Lowry และคณะ (1951) เตรียมสารละลายโปรตีนมาตรฐานที่ใช้คือ vancomycin ความเข้มข้น  $0.000, 0.078, 0.156, 0.312$  และ  $0.625 \text{ } \mu\text{g.ml}^{-1}$  ปริมาณ  $25 \mu\text{l}$  เดิมสาร A (alkaline copper tartate solution)  $250 \mu\text{l}$  ผสมตั้งไว้ 10 นาที และเดิมสาร B (1x folin reagent)  $25 \mu\text{l}$  ผสมตั้งไว้ 30 นาที วัดค่าการดูดกลืนแสงที่  $750 \text{ nm}$  นำค่า OD ที่ได้ไปหาปริมาณโปรตีนโดยเปรียบเทียบกับกราฟโปรตีนมาตรฐาน

## 6. เทคนิคทางชีวโมเลกุล

### 6.1 การสกัดดีเอ็นเอของเชื้อรา

การสกัดดีเอ็นเอ (DNA extraction) ใช้กระบวนการที่ดัดแปลงมาจากรายงานของ Raeder และ Broda (1985) โดยขั้นตอนแรกคือ การบดเส้นใยสอดกับไนโตรเจนเหลวจนกระแทกได้เป็นผงละเอียด นำเส้นใยผงดังกล่าวมาประมาณ 50 µg เติม extraction buffer (200 µmole Tris HCl pH 8.5, 250 µmole NaCl, 25 µmole EDTA และ 0.5 % (v/v) SDS) 500 µl ผสมกัน 5 นาที เติมฟีนอล 350 µl ผสมกัน 5 นาที และเติม คลอโรฟอร์ม : ไอโซ-เอมิลแลกออล (24 : 1) 150 µl นำไปปั่นเหวี่ยงที่  $\geq 10,000 \text{ g}$  4 °C 30 นาที ข่ายส่วนใสลงหลอดใหม่ เติม RNase A (1 U. $\mu\text{l}^{-1}$ , Fermentus, ประเทศสหรัฐอเมริกา) 5 U ต่อสารละลายดีเอ็นเอ 1 ml ผสมและบ่มที่ 37 °C 15 นาที เติม คลอโรฟอร์ม : ไอโซ-เอมิลแลกออล 1 เท่าตัว ปั่นเหวี่ยงที่  $\geq 10,000 \text{ g}$  4 °C 10 นาที ข่ายส่วนไขออก เติม ไอโซ-โพราโนล 0.54 เท่าตัว ผสมกันและบ่มที่ -20 °C 30 นาที ปั่นเหวี่ยงที่ 13,000 รอบต่อนาที 4 °C 10 นาที เติมเอทานอล 70 % 500 µl ปั่นเหวี่ยงที่  $\geq 10,000 \text{ g}$  4 °C 5 นาที ทิ้งเอทานอลแล้วทำให้แห้งโดย vacuum dryer 10 นาที นำจีโนมิกดีเอ็นเอที่ได้ไปละลายนำ้ำประสาจากไอกอนและเก็บที่ -20 °C

### 6.2 การคัดกรองเชื้อราโดยตรวจสอบยืน *nrps* จากจีโนม

#### 6.2.1 ไพร์เมอร์ตรวจสอบยืน *nrps* และโมดูล Aib

ไพร์เมอร์สำหรับใช้ตรวจสอบยืน *nrps* และโมดูล Aib สำหรับการศึกษานี้ แสดงลำดับนิวคลีโอไทด์ในตารางที่ 8 โดยไพร์เมอร์สังเคราะห์จาก KU-VECTOR Custom DNA Laboratory (มหาวิทยาลัยเกษตรศาสตร์ ประเทศไทย) ซึ่งไพร์เมอร์ C2F&C5R (Chutrakul and Peberdy, 2005) ออกแบบจากส่วน core 2 หรือ A 3 และ core 5 หรือ A 8 บน A – domain ตามลำดับ ซึ่งคาดว่ามีผลิตภัณฑ์พิชีอาร์ 0.8 kb ไพร์เมอร์ C4F&C6R โดย C4F และ C6R ออกแบบจากส่วน core 4 หรือ A 7 บน A – domain และ core 6 บน T – domain ตามลำดับ ซึ่งคาดว่ามีผลิตภัณฑ์พิชีอาร์ 0.6 kb โดยการออกแบบจะนำเยินที่เกี่ยวข้องต่อการผลิตสารเปปไทด์ในโอดิคัสหรือสารปฎิชีวนะกลุ่มเปปไทด์ของเชื้อราหลายจีนจากฐานข้อมูลจากธนาคารเยิน (<http://www.ncbi.nlm.nih.gov>) จากนั้นนำข้อมูลของลำดับกรดอะมิโนมาทำ multiple alignment โดยใช้โปรแกรม ClustalW (version 2, <http://www.ebi.ac.uk>) เพื่อหาบริเวณอนุรักษ์มาประกอบการออกแบบไพร์เมอร์ ไพร์เมอร์คู่สุดท้ายคือ C2F&AibR จะเป็นไพร์เมอร์ที่ระบุถึงโมดูล Aib ซึ่งคาดว่ามีผลิตภัณฑ์พิชีอาร์ 0.42 kb โดย AibR ออกแบบจากส่วนของโอดเมน A ระหว่าง A 4 และ A 5 ที่เกี่ยวข้องกับโมดูล Aib บนยืน *nrps* ของเชื้อ *T. virens*

(Wiest *et al.*, 2002) จำนวน 7 โภคุลและยีน pes ของเชื้อ *T. asperellum* (Chutrakul and Peberdy, 2005) จำนวน 2 โภคุล และไพร์เมอร์ที่ได้เหล่านี้เป็น degenerate primers

#### ตารางที่ 8 ไพร์เมอร์ที่ใช้ในการศึกษาคัดกรองเชื้อรา

Name of primers	Nucleotide sequence
C2F <sup>a</sup>	5'- ASM GGG ASY ACG GGR ARS CCR AAR GG-3'
C5R <sup>a</sup>	5'- YTC TAT YTC GCS GAG YTC DAT GCG-3'
C4F <sup>b</sup>	5'- TAY AAR ACC GGY GAY YTG GC -3'
C6R <sup>b</sup>	5'- CYG ATG SAR TCG CCR CCS AG -3'
AibR <sup>b</sup>	5'- ARR SWT SWR AAG ACT CAV GTC TC -3'

หมายเหตุ S คือ C หรือ G, M คือ A หรือ C, Y คือ C หรือ T, R คือ A หรือ G, D คือ A หรือ G หรือ T, W คือ A หรือ T และ V คือ A หรือ C หรือ G

<sup>a</sup> ไพร์เมอร์จากการรายงานของ Chutrakul and Peberdy (2005)

<sup>b</sup> ไพร์เมอร์ที่ออกแบบในงานวิจัยนี้

#### 6.2.2 การเพิ่มปริมาณดีเอ็นเอโดยเทคนิคพีซีอาร์

การเพิ่มปริมาณดีเอ็นเอที่เกี่ยวข้องกับการสังเคราะห์เป็นปีปีไทด์ในโอดิกส์ โดยเทคนิคพีซีอาร์และไพร์เมอร์ (วิธีการข้อที่ 6.2.1) กับจีโนมิกส์ของเชื้อรา โดยทดสอบองค์ประกอบและสภาพที่เหมาะสมต่อปฏิกิริยาพีซีอาร์ ซึ่งจะอ้างอิงตามวิธีการของ Sambrook และคณะ (1989) และดัดแปลงความเข้มข้น MgCl<sub>2</sub> ไพร์เมอร์ ตั้งแต่ 2 – 10 mM และอุณหภูมิในขั้นตอน annealing โดยการทำ gradient PCR และผันอุณหภูมิ 51 – 63 °C โดยใช้ตัวควบคุมเชิงบวก (positive control) คือ *T. asperellum* BCC12530 และเครื่อง Thermal cycle (Biometra, ประเทศเยอรมัน)

#### 6.2.3 การเพิ่มปริมาณดีเอ็นเอบริเวณ ITS1 5.8S และ ITS2 ของ rRNA gene

นำดีเอ็นเอของเชื้อราที่สกัดได้มาทำปฏิกิริยาพีซีอาร์ โดยใช้ universal primer ITS1 (TCC GTA GGT GAA CCT GCG G) และ ITS4 (TCC TCC GCT TAT TGA TAT GC) (White *et al.*, 1990) เพื่อเพิ่มปริมาณดีเอ็นเอตรงส่วน ITS1 5.8S และ ITS2 ของ rRNA gene โดยทำปฏิกิริยาในปริมาตรรวม 20 μl ซึ่งประกอบด้วยดีเอ็นเอ 25 ng, dNTPs 0.2 mM, เอนไซม์ Taq DNA polymerase 1 unit, MgCl<sub>2</sub> 1.5 mM, ไพร์เมอร์ (ITS1 และ ITS4) 1 μM, 1X PCR buffer และน้ำปราศจากไออกอนนิ่งฟลักซ์ โปรแกรมพีซีอาร์เริ่มต้นด้วย

denaturation ที่ 95 °C เป็นเวลา 5 นาที แล้วตามด้วย denaturing ที่ 95 °C เป็นเวลา 30 วินาที annealing ที่ 50 °C เป็นเวลา 30 วินาที และ extension ที่ 72 °C เป็นเวลา 90 วินาที จำนวน 40 รอบ

### 6.3 การตรวจสอบลำดับยีน *nrps*

#### 6.3.1 การเตรียมคอมพลีเทนต์เซลล์ (competent cell)

ใช้เชื้อ *E. coli* เพื่อให้ได้โคโนนีเดียバルบนาอาหารแข็ง Luria-Bertani Agar (LB agar 1 l: Tryptone 10 g, Yeast extract 5 g, NaCl 10 g, วุน 20 g และปรับ pH เท่ากับ 7.2) ปั่นที่อุณหภูมิ 37 °C เป็นเวลา 1 คืน นำโคโนนีเดียที่ได้มาระยิงในอาหารเหลว LB (LB 1 l: Tryptone 10 g, Yeast extract 5 g, NaCl 10 g และปรับ pH เท่ากับ 7.2) ปริมาตร 5 ml เขย่า 250 rpm ที่ 37 °C เป็นเวลา 1 คืน ถ่ายเชื้อปริมาตร 2.5 ml ลงในอาหารเหลว LB 50 ml เขย่าที่ สภาวะเดิมเป็นเวลาประมาณ 2 ชั่วโมง หรือจนเซลล์เจริญมีความขุ่นที่ค่าการสูตรคลีนแรงที่ความ ข้าวคลีน 600 nm เท่ากับ 0.2 ถึง 0.4 นำอาหารที่เชื้อเจริญมาแช่เย็นในน้ำแข็งเป็นเวลา 20 นาที ตอกตะกอนเซลล์โดย การหมุนเหวี่ยงที่ 6,500 g ที่ 4 °C นาน 10 นาที เทส่วนน้ำใสทึบแล้ว เติม อาหาร Transformation and Storage Solution (TSS) (TSS 1 l; LB 850 ml, PEG 100 g, DMSO 50 ml, 50 mM MgCl<sub>2</sub> 50 ml จาก stock 1 M และปรับ pH เท่ากับ 6.5) ที่เย็นจัด ปริมาตร 500 μl แบ่งเก็บใส่หลอดขนาด 1.5 ml (eppendorf) หลอดละ 100 μl เก็บที่ -80 °C (Sambrook *et al.*, 1989)

#### 6.3.2 การสกัดชิ้นดีเอ็นเอจากอาหารโดย QIAquick Gel Extraction (QIAGEN, ประเทศไทย)

ตัดชิ้นเจลในตำแหน่งที่ปรากฏແບดีเอ็นเอที่ต้องการใส่ลงในหลอดขนาด 1.5 ml จากนั้นปฏิบัติตามขั้นตอนที่แนบมากับชุดสกัดดีเอ็นเอออกจากเจล QIAquick Gel Extraction ตามลำดับ จะดีเอ็นเอออกจากคลื่นด้วยบัฟเฟอร์ EB ตามความเหมาะสม (30 – 50 μl) และเก็บที่ -20 °C

#### 6.3.3 การโคลนชิ้นดีเอ็นเอโดย InsTAClone™ PCR Cloning (Fermentus, ประเทศไทย)

การสร้างดีเอ็นเอลูกผสมทำโดยนำชิ้นดีเอ็นเอเข้าหมายจากกระบวนการพีซีอาร์ แล้ว แยกดีเอ็นเอให้บริสุทธิ์ นำมาเชื่อมต่อกับพลาสมิด pTZ57R โดยใช้เอนไซม์ T4 DNA ligase (1

$\text{U} \cdot \mu\text{l}^{-1}$ , Fermentus, ประเทศไทย) 1 U, 1x ligation buffer ในปริมาตรสุดท้าย  $20 \mu\text{l}$  บ่มที่อุณหภูมิห้อง 60 นาที ซึ่งอัตราส่วนระหว่างชิ้นดีเอ็นเอและพลาสมิด แสดงในสูตรข้างล่างนี้ จากนั้นนำพลาสมิดลูกผสมเข้าสู่คอล์ฟลีเทนท์เซลล์ *E. coli* DH5 $\alpha$  ตามวิธีเตรียมข้อ 6.3.4 (transformation) โดยที่ Molar ratio คืออัตราส่วนของเวกเตอร์ต่อ ดีเอ็นเอเป้าหมาย ซึ่งส่วนใหญ่เท่ากับ 1 ต่อ 3

$$\text{Molar ratio} \times \frac{\text{ng of vector} \times \text{kb size of insert DNA}}{\text{kb of vector}} = \text{ng of insert DNA}$$

#### 6.3.4 การเกลือนข้ายพลาสมิดเข้าสู่คอล์ฟลีเทนท์เซลล์ *E. coli* (transformation)

นำคอล์ฟลีเทนท์เซลล์  $100 \mu\text{l}$  ผสมกับพลาสมิด  $50 - 100 \text{ ng}$  (กรณีพลาสมิดสายพสมใช้  $500 \text{ ng}$ ) แช่ในน้ำแข็ง 30 นาที ทำ heatshock โดยนำเซลล์ไปบ่มที่อุณหภูมิ  $42^\circ\text{C}$  นาน 90 วินาที ข้ายไปแช่ในน้ำแข็งทันที นาน 2 นาที เติมอาหารเหลว SOC 1 ml เท่า  $250 \text{ rpm}$  บ่มที่  $37^\circ\text{C}$  เป็นเวลา 1 ชั่วโมง แล้วเกลือนอาหารแข็ง LA ที่มี 5-bromo-4-chloro-3-indolyl- $\beta$ -D-galactoside (X-gal ใน DMF  $20 \mu\text{g.ml}^{-1}$ ) ปริมาตร  $40 \mu\text{l}$  และ  $0.1 \text{ M}$  isopropylthio- $\beta$ -galactoside (IPTG) ปริมาตร  $4 \mu\text{l}$  บ่มที่อุณหภูมิ  $37^\circ\text{C}$  เป็นเวลา 1 คืน โคลอนีที่ได้รับพลาสมิดสายพสมมีสีขาว ส่วนโคลอนีที่ได้รับพลาสมิดที่ไม่มีชิ้นดีเอ็นเอมีสีฟ้า

#### 6.3.5 การสกัดพลาสมิดดีเอ็นเอจาก *E. coli* ด้วย QIAprep Spin Miniprep (QIAGEN, ประเทศไทย)

คัดเลือกพลาสมิดลูกผสมจากโคลนของ *E. coli* ที่มีโคลอนีสีขาว โดยข้ายโคลอนีเดียวลงในอาหาร LB ที่พสมเพนนิซิลลิน บ่มที่  $37^\circ\text{C}$  เท่า  $200 \text{ rpm}$  ข้ามคืน แล้วนำไปหมุนเหวี่ยงเพื่อเก็บตะกรอนเซลล์ (pellet) จากนั้นปั๊บดิตตามขั้นตอนของชุด QIAprep Spin Miniprep ตามลำดับ ฉะดีเอ็นเอออกจากโคลัมน์ด้วยบัฟเฟอร์ EB ตามความเหมาะสม ( $30 - 50 \mu\text{l}$ ) และเก็บที่  $-20^\circ\text{C}$

#### 6.3.6 การตรวจสอบโคลนด้วยเอนไซม์ตัดจำเพาะ

การตรวจสอบโคลนเพื่อหาความแตกต่างของชิ้นดีเอ็นเอเป้าหมาย จะทำโดยตัดด้วยเอนไซม์ตัดจำเพาะ องค์ประกอบของปิกิริยา (ปริมาตรรวม  $30 \mu\text{l}$ ) มีดังนี้ นำปราสาจากไอ้อน  $23 \mu\text{l}$ , 1X บัฟเฟอร์ (yellow tango buffer), EcoRI ( $10 \text{ U} \cdot \mu\text{l}^{-1}$ , Fermentus, ประเทศไทย), SauIII A ( $10 \text{ U} \cdot \mu\text{l}^{-1}$ , Fermentus, ประเทศไทย) และตัวอย่างพลาสมิดดีเอ็นเอ ( $1 \mu\text{l}$ ) ผสมให้เข้ากันแล้วนำไปเย็บบนกระดาษเชือด (agarose gel) ที่เตรียมไว้แล้ว

ເອັນເອ (ຈາກວິທີການຂໍ 6.3.5) ທີ່ມີຄວາມເຂັ້ມ່ານ 25-50 ng ບ່ນທີ່ 37 °C 2 – 3 ຊມ. ແລະ ຕຽບສອບພາດ  
ຂອງຫືນດີເອັນເອດ້ວຍອະກາໂຮສເຈລອີເລີກໂຕຣໂພຣິຊີສ

### 6.3.7 ການຕຽບສອບດີເອັນເອດ້ວຍອະກາໂຮສເຈລອີເລີກໂຕຣໂພຣິຊີສ (agarose gel electrophoresis)

ຜສນສາຮະລາຍດີເອັນເອປົມາຕຣທີ່ເໜາະສົມກັບ 6x loading dye (Fermentus, ປະເທດລຸ່ມເນີຍ) ແລ້ວຕຽບສອບພາດດີເອັນເອໂດຍກາວົ່ງໃນອະກາໂຮສເຈລອີເລີກໂຕຣໂພຣິຊີສທີ່ມີ  
ອະກາໂຮສ 0.8 % ເຕີ່ຍມດ້ວຍບັຟເຟອຣ໌ 1x TBE (5x TBE; Tris base 54 g, boric acid 27.5 g,  
0.5 M EDTA 20 ml, pH 8.0 ໃນປົມາຕຣ 1 l) ທີ່ຄວາມຕ່າງສັກຍີໄຟຟ້າ 100 ໂວດຕໍ່ໃຊ້ພາດດີເອັນເອ  
ມາຕຣຈູານໄດ້ແກ່ 1 kb ladder ແລະ 100 bp ladder (Fermentus, ປະເທດສຫ້ອມເມົາ) ຕຽບຄູ  
ແດບດີເອັນເອດ້ວຍກາຍີ່ອມເຈລດ້ວຍເອີີດີ່ຍນ ໂບຣໄມ້ຄວາມເຂັ້ມ່ານ 0.5  $\mu\text{g.ml}^{-1}$  ນານ 15 ນາທີ ລ້າງນ້ຳ  
ກລັ້ນນານ 10 ນາທີ ຕຽບຄູກາຍໄດ້ແສງອັຕຣາໄວໂວເລັດ ແລະ ດ່າຍກາພດ້ວຍເຄຣື່ອງ Gel Doc ຮຸ່ນ  
Syngene – Gene Genious (Syngene, ປະເທດສຫ້ອມເມົາ)

### 6.3.8 ການຫາດໍາດັບເບນສຂອງໂຄລນ

ນໍາໂຄລນຕ່າງໆ ທີ່ກັດເລືອກໄດ້ຈາກຂໍ 6.3.6 ໄປຫາດໍາດັບເບນສ່ວນຂອງຫືນດີເອັນເອ  
ໂດຍໃໝ່ໄພຣມອຣແບນ universal (forward ແລະ reverse) ໄດ້ແກ່ M13/pUC primer ແລະ T7  
promoter sequencing primer ໂດຍສ່າງໂຄລນໄປຫາດໍາດັບເບນທີ່ໜ່ວຍບົກເກຣ Macrogen  
(macrogen, ປະເທດເກາຫລີ) ນໍາພັດດໍາດັບເບນທີ່ໄດ້ມາແປລເປັນກຣດອະນິໂນໃນເຟຣນທີ່ຖຸກຕ້ອງດ້ວຍ  
ໂປຣແກຣມ 6 frame analysis (<http://searchlauncher.bcm.tmc.edu/>) ແລະ ວິເຄຣະທີ່ດ້ວຍ  
ໂປຣແກຣມ BlastX (<http://www.ncbi.nlm.nih.gov>) ເພື່ອວິເຄຣະທີ່ດໍາດັບເບນສເປົ່າຍເຖິງກັບ  
ໂປຣຕິນໃຈ້ານຂໍ້ອມຸລ

## 7. ການສຶກຍາດໍາດັບສ້າງລັກນັກ (Signature sequences)

ໃຊ້ໂປຣແກຣມ NRPSpredictor ໃນເວັບໄຊ໌ <http://www-ab.informatik.uni-tuebingen.de/software/NRPSpredictor> (Rausch *et al.*, 2005) ວິເຄຣະທີ່ດໍາດັບກຣດອະນິໂນທີ່  
ຕ້ອງການເພື່ອສຶກຍາດໍາດັບກຣດອະນິໂນສ້າງລັກນັກ ສີ່ນີ້ຈະເປົ່າຍເຖິງກັບດໍາດັບກຣດອະນິໂນສ້າງລັກນັກຈົາກ  
ຢືນ tex1 ຂອງເຊື່ອ *T. virens* ທີ່ພຶດເປົ່າໄປໄທໄປໂອຕິກສ് TVB ບນາດ 18 ເຮືດົວສໍ ມີກາຣາຍງານຢືນທັງ  
ໝາຍດແລ້ວໃນຈູານຂໍ້ອມຸລ NCBI ດັ່ງນັ້ນຈຶ່ງສາມາດໃຊ້ຢືນທີ່ເກີ່ວຂ້ອງນີ້ທັງໝາຍດ 18 ໂມດູລນາວິເຄຣະທີ່ໄດ້  
(Wiest *et al.*, 2002)

## 8. สถานที่ทำการทดลอง

8.1 ห้องปฏิบัติการวิจัยชีวไมโครกล ภาควิชาเทคโนโลยีชีวภาพ คณะอุตสาหกรรมเกษตร มหาวิทยาลัยเกษตรศาสตร์ จตุจักร กรุงเทพฯ

8.2 ห้องปฏิบัติการ Bioassay หน่วยปฏิบัติการ Bioresources Technology ศูนย์พันธุ์วิศวกรรมและเทคโนโลยีชีวภาพแห่งชาติ (BIOTEC)

## 9. ระยะเวลาในการทดลอง

การทดลองครั้งนี้เริ่มตั้งแต่ มิถุนายน 2549 ถึง พฤษภาคม 2551

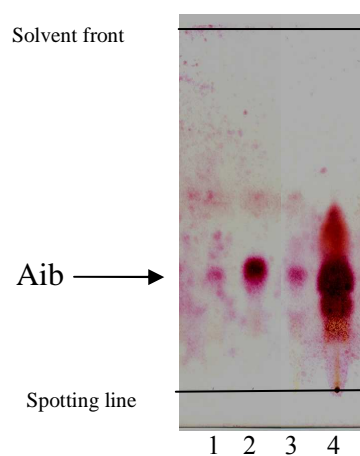
## ผลและวิจารณ์

### 1. การหาสภาวะที่เหมาะสมในการผลิต สาคัด และตรวจสอบเป็นปีปีไบโอดิกส์

จากการศึกษาของ Jaworski และ Bucker (1999) Suwan และคณะ (2000) Duclochier และคณะ (2004) Krause และคณะ (2006) และ Neuhof และคณะ (2007) พบว่าเชื้อ *T. asperellum* สามารถผลิตเป็นปีปีไบโอดิกส์ เช่น thichotoxins ดังนั้นจึงคัดเลือกเชื้อ *T. asperellum* BCC 12530 เพื่อเป็นสายพันธุ์อ้างอิงสำหรับงานวิจัยนี้

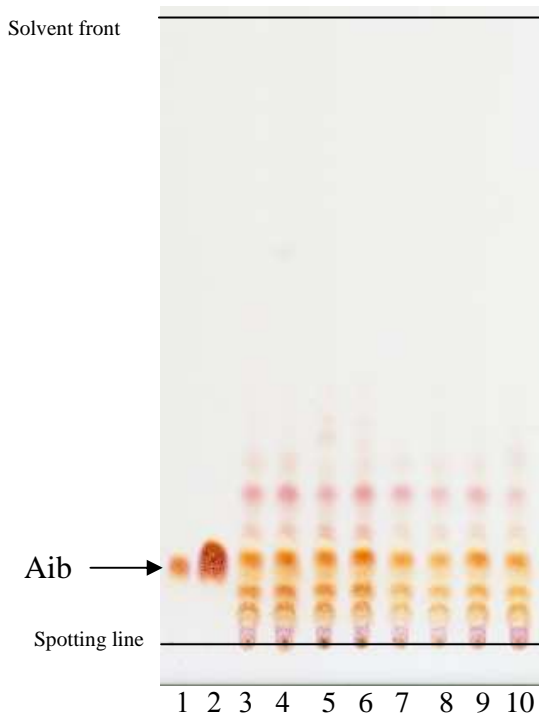
#### 1.1 การทดสอบอาหารเลี้ยงเชื้อที่เหมาะสม

การใช้อาหารเลี้ยงเชื้อ โดยเปรียบเทียบอาหารเหลว 2 ชนิด คือ 3 % ME และ PDB ซึ่งเติมกรดอะมิโน Aib อิสระ ที่ความเข้มข้น  $50 \mu\text{g.ml}^{-1}$  ทดสอบกับเชื้อ *T. asperellum* BCC 12530 และ *Clonostachys rogersiana* BCC 4862 พบร้าอาหาร 3 % ME มีการผลิต putative peptiabiotics ได้ดีกว่าอาหาร PDB จากการวิเคราะห์กรดอะมิโนโดย TLC ของสารสาคัดที่ผ่านกระบวนการไฮโดรไลต์แล้ว โดยอาหาร 3 % ME มีการสร้างกรดอะมิโนหลายชนิด และปริมาณมากกว่าในอาหาร PDB (ภาพที่ 11) ซึ่งพิจารณาจากจำนวนจุดและความเข้มของกรดอะมิโน ดังนั้นจึงเลือกใช้อาหาร 3 % ME เพื่อทดสอบการคัดกรองเชื้อที่ผลิตเป็นปีปีไบโอดิกส์ในลำดับต่อไป



ภาพที่ 11 การเปรียบเทียบอาหารเลี้ยงเชื้อ PDB และ 3 % ME โดยการวิเคราะห์ TLC เลนที่ 1 – 2 คือ Aib ความเข้มข้น  $100$  และ  $1,000 \mu\text{g.ml}^{-1}$ , 3 – 4 คือ *T. asperellum* BCC 12530 ในอาหาร PDB และ 3 % ME ตามลำดับ

การทดสอบผลของปริมาณกรดอะมิโน Aib อิสระในอาหารเลี้ยงเชื้อ (Aib free amino acid supplement) ต่อการผลิตสารเปปไทด์หรือเปปไทด์ในโอดิกส์ โดยการเติมกรดอะมิโน Aib อิสระที่ความเข้มข้น 0, 50, 100 และ  $1,000 \mu\text{g.ml}^{-1}$  ในอาหารเลี้ยงเชื้อ 3 % ME สำหรับ เลี้ยงเชื้อ *T. asperellum* BCC 12530 โดยมีการทดลอง 2 ครั้ง เมื่อนำสารสกัดที่ผ่านการไฮโดร ไลส์มาตรวจสอบโดยเทคนิค TLC พบว่าที่ความเข้มข้นกรดอะมิโน Aib 0 และ  $50 \mu\text{g.ml}^{-1}$  มีจุด ของกรดอะมิโนต่าง ๆ ให้ญี่่และความเข้มมากกว่าที่ความเข้มข้นกรดอะมิโน Aib 100 และ  $1,000 \mu\text{g.ml}^{-1}$  เมื่อหดลงบนแผ่น TLC ในปริมาณที่เท่ากัน (ภาพที่ 12) และเมื่อวิเคราะห์หาปริมาณ โปรตีนหรือเปปไทด์โดยวิธี Lowry protein assay (Lowry *et al.*, 1951) พบว่าที่ความเข้มข้น กรดอะมิโน Aib  $50 \mu\text{g.ml}^{-1}$  มีการผลิตโปรตีนหรือเปปไทด์สูงที่สุดเท่ากับ  $0.45 \mu\text{g.ml}^{-1}$  (ตาราง ที่ 9) โดยรายงานของ Leclerc *et al.* (1998) ได้เติมกรดอะมิโน Aib และ glutamic ปริมาณ 0.8 % หรือเท่ากับ  $8,000 \mu\text{g.ml}^{-1}$  ซึ่งเป็นปริมาณที่สูงมาก พบว่ามีการผลิตเปปไทด์ในโอดิกส์ของ เชื้อ *T. longibrachiatum* น้อยกว่าในอาหารที่ไม่มีการเติมกรดอะมิโนใด ๆ แต่ผลิตภัณฑ์ที่ได้จะมี สารที่เป็น analogues หลักสูงขึ้นอย่างชัดเจน โดยผลิตภัณฑ์รวมทั้งหมดต่ำลง ซึ่งอาจเป็นไปได้ว่า กรดอะมิโนที่เติมลงไปในปริมาณที่สูงเกิดการขับยึดการผลิตได้ สำหรับการศึกษานี้ พบว่าความ เข้มข้น Aib 100 และ  $1,000 \mu\text{g.ml}^{-1}$  สูงเกินไปทำให้มีการผลิตต่ำกว่าที่ความเข้มข้น 0 และ  $50 \mu\text{g.ml}^{-1}$  ดังนั้นสามารถสรุปได้ว่าเชื้อทดสอบมีการผลิตสารในปริมาณที่สูงกว่าเมื่อเติมกรดอะมิโน Aib อิสระ  $50 \mu\text{g.ml}^{-1}$  ในอาหารเลี้ยงเชื้อ 3 % ME ดังนั้นจึงใช้อาหารและความเข้มข้นของ กรดอะมิโน Aib ดังกล่าวเป็นในการทดลองลำดับต่อไป



**ภาพที่ 12** การตรวจสอบกรดอะมิโนในสารสกัดโดยวิธี TLC เพื่อเปรียบเทียบปริมาณกรดอะมิโน Aib อิสระที่เติมในอาหาร 3 % ME เลี้ยงเชื้อ *T. asperellum* BCC 12530 เลนที่ 1 – 2 คือกรดอะมิโน Aib marker ความเข้มข้น 1 และ  $10 \text{ mg.ml}^{-1}$  เลนที่ 3 – 4 คือ ไม่มีการเติมกรดอะมิโน Aib เลนที่ 5 – 6 เติมกรดอะมิโน Aib อิสระที่ความเข้มข้น 50 เลนที่ 7 – 8 เติมกรดอะมิโน Aib อิสระที่ความเข้มข้น  $100 \mu\text{g.ml}^{-1}$  และเลนที่ 9 – 10 เติมกรดอะมิโน Aib อิสระที่ความเข้มข้น  $1,000 \mu\text{g.ml}^{-1}$  โดยที่เลนที่ 3, 5, 7 และ 9 คือ การทดลองครั้งที่ 1 และเลนที่ 4, 6, 8 และ 10 คือการทดลองครั้งที่ 2

**ตารางที่ 9** การวิเคราะห์ปริมาณโปรตีนในสารสกัดเชื้อ *T. asperellum* BCC 12530 จากอาหารเลี้ยงเชื้อ 3 % ME ที่เติมกรดอะมิโน Aib ความเข้มข้นต่างๆ

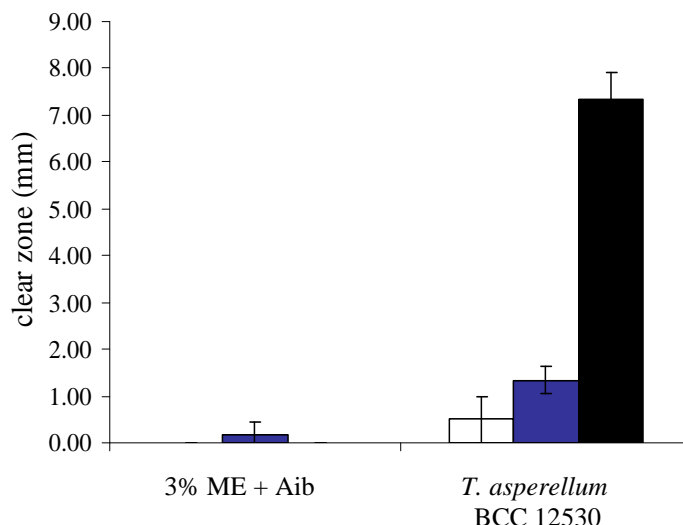
Aib concentration ( $\mu\text{g.ml}^{-1}$ )	Exp. I		Exp. II	
	$\mu\text{g.ml}^{-1}$	SD	$\mu\text{g.ml}^{-1}$	SD
0	0.4010	0.0089	0.4166	0.0109
50	0.4470	0.0093	0.4482	0.0062
100	0.2870	0.0145	0.2778	0.0102
1,000	0.2459	0.0146	0.2620	0.0079

หมายเหตุ ผลการทดลอง 2 ครั้งและแต่ละครั้งวัดปริมาณโปรตีน 3 ชี้

## 1.2 วิธีการสกัดสารกลุ่มเปปไทด์และเปปไทด์ใบโอดิกส์

### 1.2.1 การทดสอบและเปรียบเทียบวิธีการสกัดสารเปปไทด์

การทดสอบการสกัดเปปไทด์จากอาหารเลี้ยงเชื้อ *T. asperellum* BCC 12530 โดยเปรียบเทียบวิธีการสกัดทั้ง 3 แบบ ดังแสดงในอุปกรณ์และวิธีการข้อ 2.2 ซึ่งการทดลองนี้มีตัวควบคุมได้แก่ 3 % ME + Aib ( $50 \mu\text{g.ml}^{-1}$ ) โดยเชือทดสอบคือ การตรวจสอบวิธีการสกัดเปปไทด์คือ การแสดงกิจกรรมยับยั้งแบคทีเรียเป้าหมาย *B. cereus* ATCC 11778 ด้วยเทคนิคดูดซับสารในหลุมอาหารแข็ง (agar well diffusion) และแสดงในภาพที่ 13 โดยมีตัวควบคุมการทดสอบ กิจกรรมการยับยั้ง คือ MeOH และมี clear zone เท่ากับ 0 mm พนว่าวิธีการสกัดสาร III สามารถสกัดสารจากตัวอย่างเชื้อ *T. asperellum* BCC 12530 ได้ดีที่สุด โดยดูจากบริเวณยับยั้งเชื้อ *B. cereus* หากกว่าวิธีการสกัดสาร I และ II ประมาณ 3 – 4 เท่า ซึ่งคาดว่ากระบวนการล้างตะกอนของตัวอย่างด้วย อะซิโซนในวิธีการสกัดสาร I และ II อาจมีผลต่อการเสื่อมสลาย (denaturation) ของเปปไทด์ในตัวอย่างสารสกัดได้ (Vives and Lebleu, 2003) ดังนั้นจึงสรุปว่าวิธีการสกัด III สามารถสกัดสารกลุ่มเปปไทด์ได้ดีกว่าวิธีการอื่นที่ทดสอบ ดังนั้นจากการทดลองนี้สามารถคัดเลือกวิธีการสกัดสาร III ซึ่งคาดว่าเหมาะสมเพื่อใช้ในการทดลองลำดับต่อไป



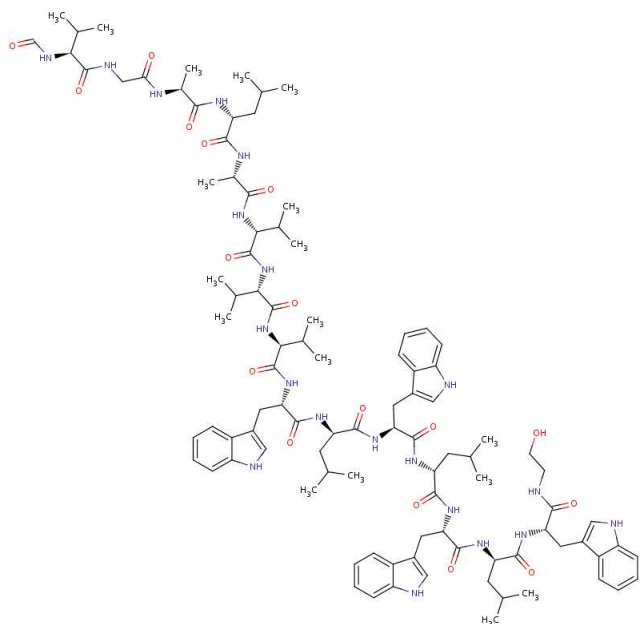
ภาพที่ 13 กิจกรรมการยับยั้งเชื้อ *B. cereus* ATCC 11778 ด้วยเทคนิคดูดซับสารในหลุมอาหารแข็งของสารสกัดจากเชื้อ *T. asperellum* BCC 12530 โดยเปรียบเทียบวิธีการสกัดสาร I, II และ III คือ □, ■ และ ■ ตามลำดับ (ทดสอบการยับยั้ง 3 ชั้ง)

### 1.2.2 การตรวจสอบวิธีการสกัดสาร III กับยาปฏิชีวนะมาตรฐาน

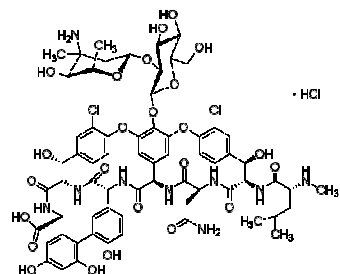
การศึกษาวิธีการสกัด III เพิ่มเติมเกี่ยวกับความสามารถในการสกัดสารกลุ่มต่างๆ โดยคัดเลือกยาปฏิชีวนะหลายกลุ่ม (ภาพที่ 14) ดังนี้ กลุ่ม peptide antibiotics ได้แก่ gramicidin (ก.) และ bacitracin (ข.) กลุ่ม glycopeptide antibiotics ได้แก่ vancomycin (ค.) กลุ่ม  $\beta$  – lactam antibiotics ได้แก่ ampicillin (จ.) กลุ่ม phenicol antibiotics ได้แก่ chloramphenicol (ก.) และกลุ่ม polyene antibiotics ได้แก่ amphotericin B (ฉ.) การตรวจสอบยาปฏิชีวนะมาตรฐานหลังการสกัดเปรียบเทียบกับยาปฏิชีวนะมาตรฐานที่ทราบความเข้มข้นที่แน่นอนแล้วตามอุปกรณ์และ วิธีการทดลองข้อ 2.3 และคำนวน % recovery พนวากลุ่มสารที่สามารถสกัดออกมากได้ด้วยวิธีการสกัด III ได้แก่ gramicidin, bacitracin และ amphotericin B เมื่อคำนวนพื้นที่ได้กราฟของยาปฏิชีวนะมาตรฐานหลังการสกัดเปรียบเทียบกับยาปฏิชีวนะที่ทราบความเข้มข้น ได้ % recovery แสดงในภาพที่ 15 โดย gramicidin มี % recovery สูงสุด ส่วน vancomycin ampicillin และ chloramphenicol คาดว่ามี % recovery ต่ำกว่า 0.5 % (คำนวนจากปริมาณเนื้อสารต่ำสุดคือ 50 ng ที่สามารถตรวจสอบด้วย HPLC) เนื่องจากไม่พบพิกของสารหลังสกัด

การสกัดสารแบบ III สามารถสกัดสารในกลุ่มเปปไทด์ได้ โดยเฉพาะเปปไทด์ที่มีโครงสร้างเป็นสายยาว คือ gramicidin ซึ่งใช้เป็นตัวแทนสารเปปไทด์ใบโอดิกส์ ส่วน bacitracin เป็นเปปไทด์ที่มีโครงสร้างเป็นวงร่วมกับสายตรงและ amphotericin B เป็นสารในกลุ่ม polyene สามารถสกัดออกมากได้แต่มี % recovery ต่ำมาก ดังนั้นอาจกล่าวได้ว่าวิธีการสกัด III มีความเหมาะสมต่อการสกัดสารในกลุ่มเปปไทด์หรือเปปไทด์ใบโอดิกส์ ซึ่งมีโครงสร้างแบบสายยาวมากกว่ากลุ่มอื่น ๆ

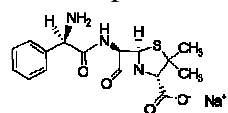
## ๙. Gramicidin



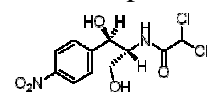
## ๑๐. Vancomycin



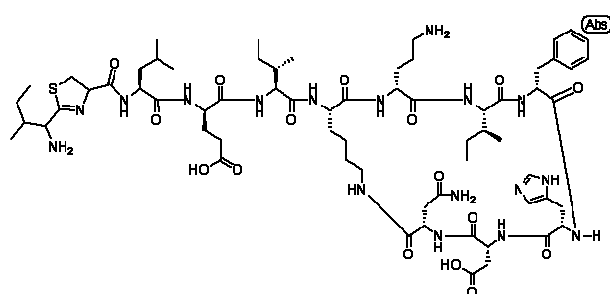
## ๑๑. Ampicillin



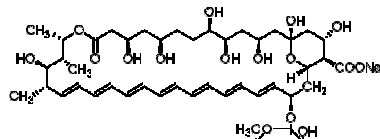
## ๑๒. Chloramphenicol



## ๑๓. Bacitracin

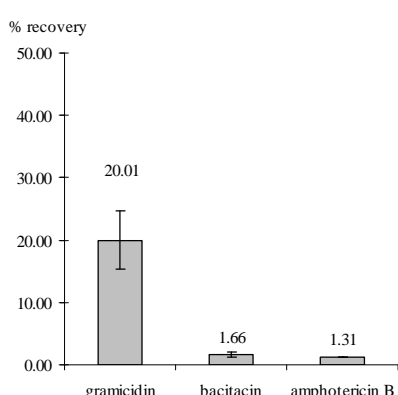


## ๑๔. Amphotericin B



ภาพที่ 14 โครงสร้างยาปฏิชีวนะที่ใช้ในการศึกษาวิธีการสกัดสารแบบ Extraction III

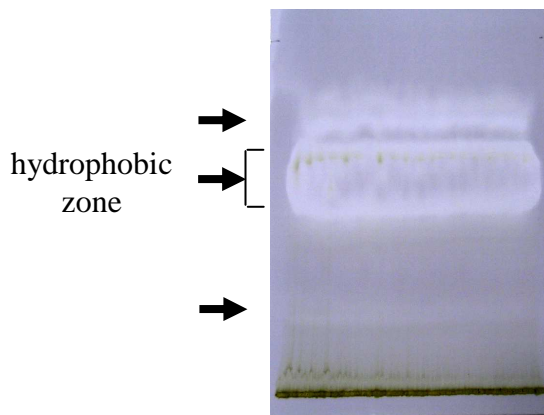
ที่มา: <http://www.sigmaaldrich.com> และ <http://www.drugbank.ca>



ภาพที่ 15 % recovery ของ gramicidin, bacitracin และ amphotericin B เมื่อสกัดด้วยวิธี Extraction III (ทดลอง 2 ชุด)

### 1.3 การทำสารสกัดให้บริสุทธิ์บางส่วน

การศึกษาสารสกัดเป็นปั๊วี่ด์ของเชื้อราอ้างอิง *T. asperellum* BCC 12530 โดยขั้นตอนการผลิตจะเพิ่มน้ำดีการหมักเป็น 1 1 และสกัดด้วย TCA ดังที่ได้กล่าวไปแล้วในวิธีการทดลองข้อที่ 2 พบว่าได้สารสกัดหมายหั้งหมด  $62.5 \text{ mg.l}^{-1}$  จากนั้นทำให้บริสุทธิ์บางส่วนโดยการผ่านโคมาราโตรกราฟีแบบบาง (วิธีการทดลองข้อที่ 5.1) พบว่าสามารถแยกแต่ละสารที่มีความสามารถในการละลายต่างกันได้ ซึ่งการทดลองนี้แยกสารได้ 3 ส่วน (ภาพที่ 16) ไม่เลกูลที่ขอบน้ำหรือมีไข้มากจะเคลื่อนที่ช้าและอยู่ในตำแหน่งด้านล่างของแผ่น TLC ส่วนไม่เลกูลที่ไม่ขอบน้ำ ละลายได้ในนิวานอลดีกว่าจะเคลื่อนไปอยู่ด้านบนของแผ่น TLC โดยผลิตภัณฑ์ที่สนใจคือ ส่วนที่ไม่ละลายน้ำ (hydrophobic zone) ปริมาณมากที่สุดแสดงในภาพที่ 16 (ลูกศรกล่าง) คาดว่าเป็นผลิตภัณฑ์หลักของเชื้อดังกล่าวและแยกออกจาก TLC นำไปศึกษาในลำดับต่อไป ซึ่งสารสกัดที่บริสุทธิ์บางส่วนมีความใสและสะอาดมากกว่าสารสกัดที่ยังไม่ผ่านกระบวนการนี้ เนื่องจากลิ่งสกปรกสีน้ำตาลเข้มจากสารสกัดจับติดอยู่บนแผ่นซิลิเกาโดยเฉพาะตำแหน่งที่หยดสารสกัด ทำให้เทคนิคนี้สามารถแยกสารให้บริสุทธิ์ได้บางส่วน



ภาพที่ 16 การทำให้สารสกัดจากเชื้อ *T. asperellum* BCC 12530 บริสุทธิ์บางส่วนโดยโคมาราโตรกราฟีแบบบาง (TLC) ระบบเฟสเคลื่อนที่คือ นิวานอล : กรดอะซิติก : น้ำ เป็น อัตราส่วน 6 : 2 : 2 บริเวณที่แห้งเมื่อสเปรย์ด้วยน้ำซึ่งคาดว่าจะมีสารออกฤทธิ์ทางชีวภาพแสดงโดยลูกศรชี้

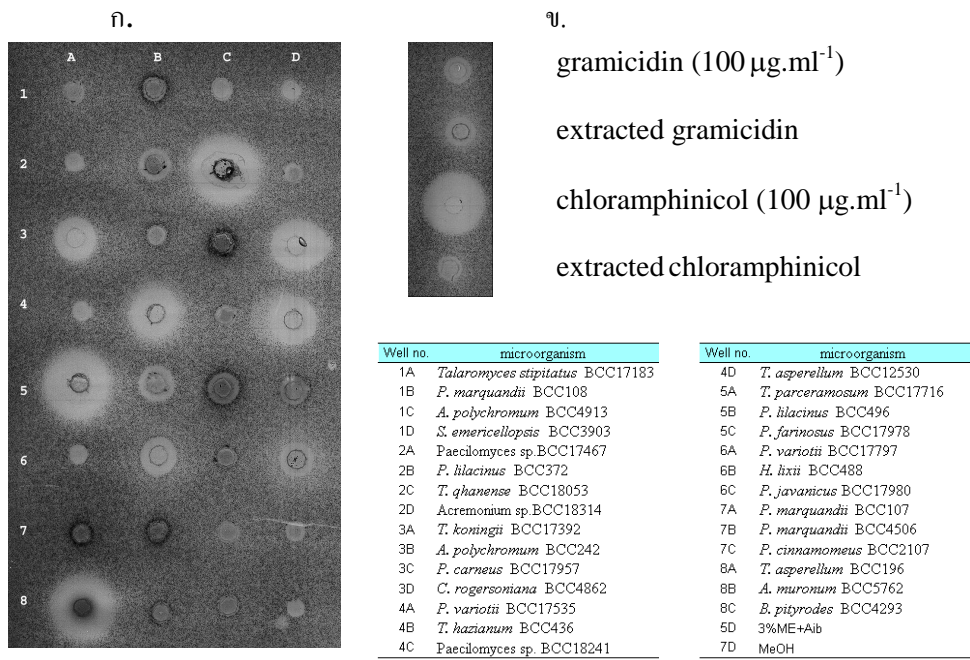
## 1.4 การทดสอบการยับยั้งแบคทีเรียของสารสกัดจากตัวอย่าง

### 1.4.1 การใช้เทคนิคดูดซับสารในหลุมอาหารแข็ง (agar well diffusion)

การทดสอบสารยับยั้งแบคทีเรียสายพันธุ์ *B. cereus* ATCC 11778 ด้วยเทคนิคดูดซับสารในหลุมอาหารแข็งกับเชื้อที่สกัดโดยวิธีที่ III ทึ้งหมวด 27 สายพันธุ์ และเชื้อสายพันธุ์อ้างอิงคือ *T. asperellum* BCC 12530 โดยเชื้อที่คัดเลือกมาทดสอบเป็นกลุ่มที่มีรายงานมาก่อนว่าเป็นแหล่งผลิตเปปไทด์ในโอดิกส์ (Degenkolb *et al.*, 2003) ผลการทดลองดังแสดงในภาพที่ 17 และคำนวณเป็น % relative inhibition เทียบกับ chloramphinicol ( $100 \mu\text{g.ml}^{-1}$ ) เมื่องจากมีเส้นผ่านศูนย์กลางของบริเวณส่วนใสสูงสุด ซึ่งพบว่าที่ % relative inhibition สูงกว่าหรือเท่ากับ 90 % ขึ้นไปมีเพียง 4 สายพันธุ์ (ตารางผนวกที่ ข1) ได้แก่ *Trichoderma* sp. BCC17716, *Trichoderma* sp. BCC196, *T. pseudokoningii* BCC18053 และ *C. rogersoniana* BCC4862 และบางตัวอย่างมีบริเวณส่วนใสไม่คุ้มชัด โดยบริเวณขอบวงมีความชุ่นของเชื้อปรากฏอยู่หรือมีลักษณะเป็นวงช้อนวงจาง ๆ (halo zone) เช่นหลุมที่ 2C, 4B, 5A, 6D และ 8A เป็นต้นซึ่งเป็นลักษณะที่เชื้อสามารถเจริญได้บางส่วน หรืออาจมีสารประกอบมากกว่า 1 ชนิดอยู่ในสารสกัดนั้น โดยแต่ละสารมีความสามารถในการแพร่บินอาหารแข็ง ขนาดโมเลกุลและความสามารถในการละลายไม่เท่ากัน (Mahon and Manuselis, 1995) และในการทดลองนี้มีสารปฏิชีวนะคือ chloramphinicol และ gramicidin เป็นสารทดสอบด้วย โดย gramicidin มีมวลโมเลกุลค่อนข้างใหญ่มากประมาณ 1,800 – 1,900 Da (Chitta and Gross, 2004) และมีโครงสร้างเป็นแบบเปปไทด์สายยาวเชื่อมเดียว กันกับเปปไทด์ในโอดิกส์ ที่คาดว่ามีการแพร่ในอาหารแข็ง ได้ยากกว่า chloramphinicol ซึ่งมีขนาดมวลโมเลกุลเล็กคือ 323 Da ([www.sigmaaldrich.com](http://www.sigmaaldrich.com)) จึงเกิดบริเวณส่วนใสน้อยกว่า ด้วยสาเหตุดังกล่าวทำให้ไม่ได้ขนาดบริเวณส่วนใสที่ถูกต้อง ดังนั้นจึงควรมีวิธีทดสอบการยับยั้งแบคทีเรียที่มีประสิทธิภาพสูงกว่านี้คือเทคนิค microdilution

### 1.4.2 การใช้เทคนิค microdilution method จากวิธีมาตรฐาน CLSI

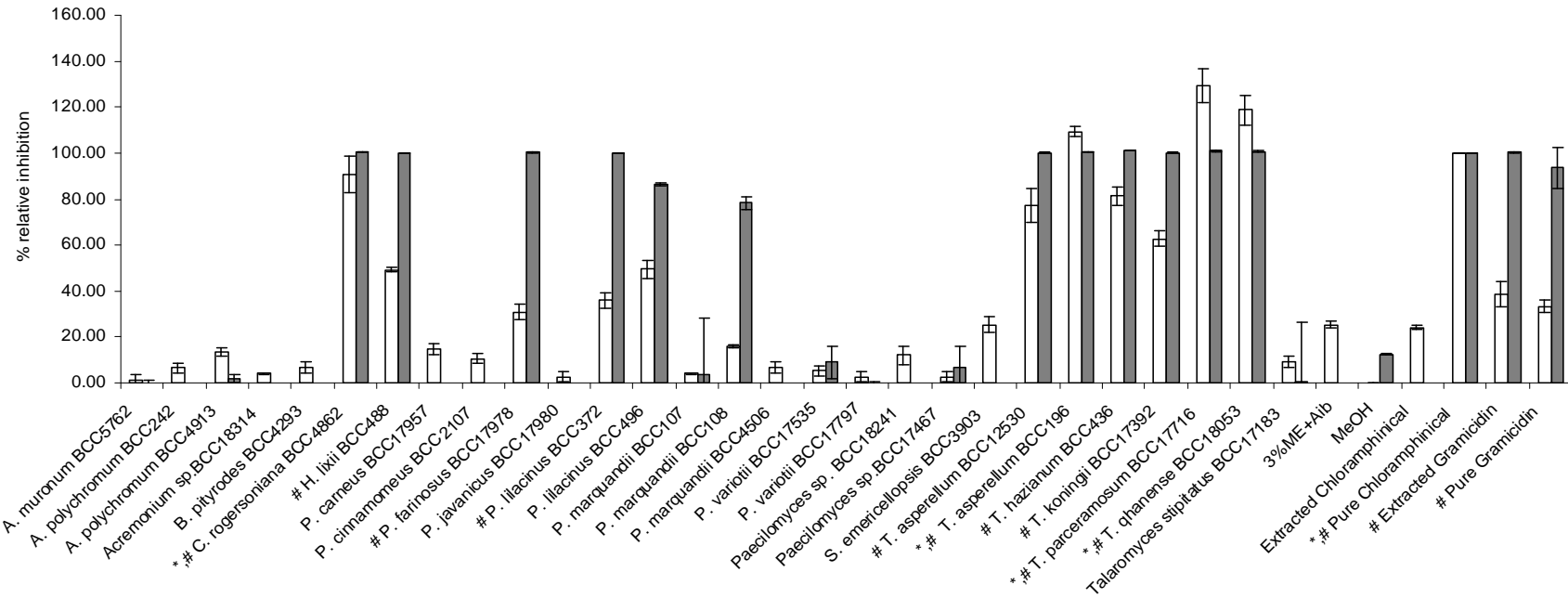
การทดสอบการยับยั้งของสารสกัดโดยเทคนิค microdilution method จะใช้ 96 well plate ซึ่งอ้างอิงตามวิธีมาตรฐาน CLSI (อุปกรณ์และวิธีการ ข้อ 3.1) จะเห็นว่าสารสกัดจากกระบวนการสกัดวิธีที่ III ละลายในเมทานอล 100 % จึงต้องคำนึงถึงตัวทำลายด้วย ซึ่งอาจมีผลต่อการยับยั้งเชื้อแบคทีเรียด้วย ดังนั้นจึงหาความเข้มข้นตัวทำละลายต่ำสุดที่ไม่มีผลต่อเชื้อแบคทีเรียจะเห็นว่าตัวทำละลายต่าง ๆ ที่ทดสอบ ต้องมีความเข้มข้น 3.125 - 6.25 % โดยปริมาตร (ไม่แสดงข้อมูล) จึงไม่มีผลยับยั้งเชื้อ *B. cereus* และ *E. coli* ซึ่งการทดสอบสารยับยั้งอาจไม่เห็นผลการ



ภาพที่ 17 การทดสอบยับยั้ง *B.cereus* ATCC 11778 โดยเทคนิค agar well diffusion ก.) สารสกัดจากเชื้อทดสอบ ทั้ง 27 สายพันธุ์ และ ข.) ชุดตัวควบคุมการทดลอง

ยับยั้งจากสารสกัด เนื่องจากต้องใช้ปริมาณสารสกัดน้อยมาก ดังนั้นจึงตัดแปลงกระบวนการเดิมสารสกัด โดยเติมในหลุมตามปริมาณที่ต้องการและระหว่างตัวทำละลายเมทานอลออกจนแห้ง จากนั้นเติมอาหารเลี้ยงเชื้อและลงเชื้อตามวิธีมาตรฐาน ซึ่งจากวิธีดังกล่าวจะป้องกันการเกิดผลที่ผิดพลาด (false positive result) จากตัวทำละลายได้

เมื่อทดสอบสารสกัดของเชื้อราทั้งหมด 27 สายพันธุ์ เช่นเดียวกับผลการทดลองข้อ 1.4.1 การใช้เทคนิคดูดซับสารในหลุมอาหารแข็ง มาทดสอบแบบ microdilution โดยใช้ 96 well plate กับเชื้อ *B. cereus* ATCC 11778 พบว่า มีเชื้อที่ผ่านการคัดกรองแบบ primary screening เพิ่มขึ้นจาก 4 สายพันธุ์ (14.81 %) ในวิธี agar well diffusion เป็น 10 สายพันธุ์ (37.04 %) โดยแสดงการเปรียบเทียบทั้ง 2 วิธีดังในภาพที่ 18 (ตารางภาคผนวกที่ 1) อีกทั้งในวิธี microdilution ยังไม่เกิดปัญหารือของการแพร่กระจายของโมเลกุลสารปฏิชีวนะที่ทดสอบ โดยจะพบว่า gramicidin มี % relative inhibition มากกว่าหรือเท่ากับ 90 % ดังนั้นจึงคาดว่าสารปฏิชีวนะที่ทดสอบจะแสดงกิจกรรมและเกิดการยับยั้งการเจริญของเชื้อเป็นอย่างไร้จังหวะ ซึ่งจะเห็นว่าวิธีทดสอบโดยเทคนิค 96 well plate มีประสิทธิภาพและมีความไวสูงกว่า อีกทั้งมีการจัดการที่ง่าย สามารถทดสอบสารสกัดจำนวนมากพร้อมกันได้ ดังนั้นจะใช้การทดสอบยับยั้งแบบที่เรียกว่าเทคนิค microdilution สำหรับการวิเคราะห์สารสกัดในลำดับต่อไป



ภาพที่ 18 การเปรียบเทียบวิธีการทดสอบการยับยั้งแบคทีเรียของสารสกัดโดยเทคนิค agar well diffusion (□) และ microdilution (■)

หมายเหตุ \* เชือกที่ให้ผลการยับยั้ง (% relative inhibition  $\geq 90$ ) เมื่อทดสอบด้วยเทคนิค agar well diffusion

# เชือกที่ให้ผลการยับยั้ง (% relative inhibition  $\geq 90$ ) เมื่อทดสอบด้วยเทคนิค microdilution

1.4.3 การทดสอบการยับยั้งเชื้อ *B. cereus* ATCC 11778 ของสารสกัด *T. asperellum* BCC 12530

การทดสอบกิจกรรมการยับยั้ง *B. cereus* ATCC 11778 ด้วยเทคนิค microdilution โดยเปรียบเทียบกันระหว่างสารสกัดอย่างหยาบของ *T. asperellum* BCC 12530 ก่อนและหลังการทำให้บริสุทธิ์บางส่วนด้วย TLC พบว่าสารสกัดที่ทำให้บริสุทธิ์บางส่วนมีค่าความเข้มข้นต่ำที่สุดในการยับยั้งการเจริญของเชื้อเป้าหมาย (minimum inhibitory concentration; MIC) เท่ากับ  $500 \mu\text{g.ml}^{-1}$  ส่วนสารสกัดอย่างหยาบมีกิจกรรมการยับยั้งน้อยกว่าซึ่งพบว่ามีค่า MIC เท่ากับ  $1,000 \mu\text{g.ml}^{-1}$  (ตารางที่ 10) ดังนั้นวิธีการทำให้บริสุทธิ์บางส่วนด้วย TLC สามารถช่วยกำจัดลิ่งспектrogram ออกจากสารที่ต้องการ ซึ่งทำให้สารมีความบริสุทธิ์สูงขึ้นเมื่อทดสอบกิจกรรมการยับยั้งแล้วจึงมีค่า MIC ลดลง และคาดว่าส่วนที่บุดออกจาก TLC เป็นผลิตภัณฑ์หลักที่ต้องการ

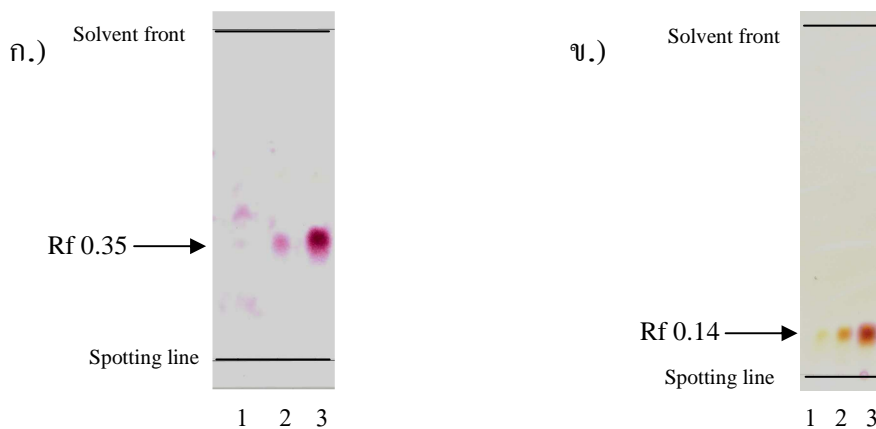
ตารางที่ 10 กิจกรรมการยับยั้ง *B. cereus* ATCC 11778 โดยเปรียบเทียบกันระหว่างสารสกัดของ *T. asperellum* BCC 12530 ก่อนและหลังการทำให้บริสุทธิ์บางส่วนด้วย TLC

Sample	Concentration ( $\mu\text{g.ml}^{-1}$ )	% Inhibition	SD	MIC ( $\mu\text{g.ml}^{-1}$ )
Partial purified by TLC	1,000	98.34	0.33	500
	500	91.40	0.22	
	250	70.03	4.00	
	125	85.52	4.22	
Crude extract	1,000	94.30	2.79	1,000
	500	36.63	0.67	
	250	52.45	2.32	
	125	40.91	2.09	
Control	TLC (blank)	20.54	0.34	
	MeOH	3.50	1.12	
	3 % ME	38.66	2.61	

## 1.5 การวิเคราะห์กรดอะมิโนโดย TLC

### 1.5.1 การทดสอบเฟสเคลื่อนที่ (mobile phase)

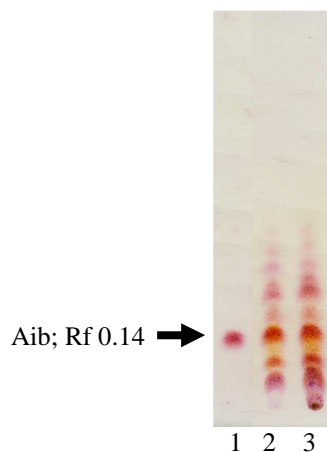
การวิเคราะห์ของค่าประกอบกรดอะมิโนโดย TLC ซึ่งจะใช้กรดอะมิโน Aib เป็นตัวบ่งชี้ (marker) ของสารกลุ่มเป้าไปในโอดิกส์ ซึ่การทดสอบระบบตัวทำละลายสำหรับเป็นเฟสเคลื่อนที่ 2 ระบบเปรียบเทียบกัน เมื่อพิจารณาแผ่น TLC หลังจากสเปรย์ด้วยสารละลายนินไนดริน (ninhydrin) แล้วพบว่าระบบสารละลายที่ 1 ไอโซ-โพร์ฟานอล : เมทานอล : น้ำ อัตราส่วน 40 : 2 : 10 มีค่า Rf ของ Aib เท่ากับ 0.35 ลักษณะจุด (spot) สีแดงอมชมพู ซึ่งความเข้มข้นที่ตรวจสอบได้ คือที่ 100 และ  $1,000 \mu\text{g.ml}^{-1}$  ส่วนความเข้มข้น  $10 \mu\text{g.ml}^{-1}$  จะเห็นว่าสีของจุดค่อนข้างเจือจางมากและลักษณะไม่เป็น spot ของกรดอะมิโน (ภาพที่ 19 ก. เลนที่ 1) และระบบที่ 2 คือ คลอร์โพร์ฟอร์ม : เมทานอล : น้ำ : กรดอะซิติกเข้มข้น อัตราส่วน 65 : 25 : 4 : 3 พบร่วมกับ Rf ของ Aib เท่ากับ 0.14 ลักษณะ spot เป็นสีแดงส้ม ซึ่งความเข้มข้นต่ำสุดที่ตรวจสอบได้คือ  $10 \mu\text{g.ml}^{-1}$  (ภาพที่ 19 ข. เลนที่ 1) และมีลักษณะของ spot กรดอะมิโนคมชัดมากกว่าในสารละลายระบบแรก อีกทั้งระบบไอโซ-โพร์ฟานอล : เมทานอล : น้ำ มีการแยกแต่ละ spot ของกรดอะมิโนไม่ดีเท่าที่ควร คือ spot มีลักษณะเป็นทางยาว (tailing หรือ smear) ซึ่งทำให้กรดอะมิโนแต่ละ spot อาจซ้อนทับกันได้และนอกจากนี้ยังมีภูมิภาคหลังสกปรก (backgrounds) ทราบสีชมพูจำนวนมาก ดังนั้นจึงเลือกระบบตัวทำละลาย คลอร์โพร์ฟอร์ม : เมทานอล : น้ำ : กรดอะซิติกเข้มข้น ซึ่งมี spot ของกรดอะมิโนค่อนข้างคมชัดสำหรับการตรวจสอบกรดอะมิโน Aib ต่อไป



ภาพที่ 19 การเปรียบเทียบระบบเฟสเคลื่อนที่ ก.) ไอโซ-โพร์ฟานอล : เมทานอล : น้ำ อัตราส่วน 40 : 2 : 10 และ ข.) คลอร์โพร์ฟอร์ม : เมทานอล : น้ำ : กรดอะซิติกเข้มข้น อัตราส่วน 65 : 25 : 4 : 3 และเลนที่ 1, 2 และ 3 คือกรดอะมิโน Aib ที่ความเข้มข้น 10, 100 และ  $1,000 \mu\text{g.ml}^{-1}$  ตามลำดับ (ลูกศรชี้)

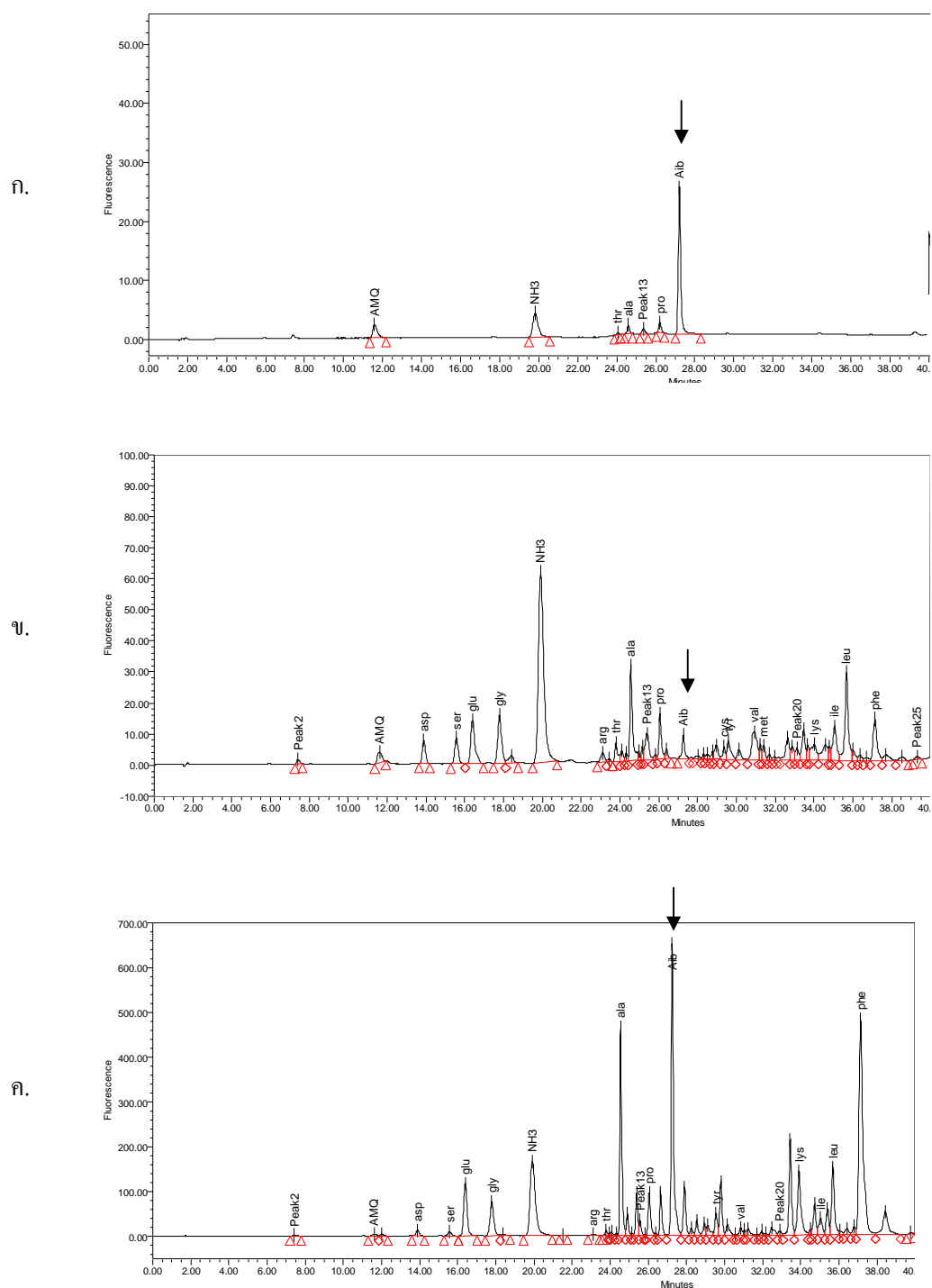
### 1.5.2 การตรวจสอบกรดอะมิโนของสารสกัดจาก *T. asperellum* BCC 12530

สารสกัดก่อนและหลังการทำให้บริสุทธิ์บางส่วนด้วย TLC จาก *T. asperellum* BCC 12530 ที่ผ่านการไฮโดรไลส์แล้ว พบว่าทั้ง 2 กรณี มีกรดอะมิโนในปริมาณใกล้เคียงกันโดยคูจากขนาดและความเข้มสีของแต่ละจุด (spot) ซึ่งมีกรดอะมิโนที่ปรากฏค่อนข้างชัดเจน โดยสารทั้ง 2 กรณีมีกรดอะมิโน Aib เป็นองค์ประกอบด้วย (ภาพที่ 20 ลูกศรชี้ จุดสีชมพูเข้มหรือแดง) และสารที่ทำให้บริสุทธิ์บางส่วนยังมีความสะอาด ไม่เกิดเป็นทางหรือແบน (tailing หรือ smear band) ของแต่ละจุดกรดอะมิโน โดยเฉพาะ ใกล้จุดเริ่มต้นของโคลามาโตรกราฟีด้วย จากการศึกษากรดอะมิโนโดย TLC ตามที่กล่าวมาแล้วข้างต้น



ภาพที่ 20 การตรวจสอบกรดอะมิโนโดยเปรียบเทียบกันระหว่างสารสกัดก่อนและหลังการทำให้บริสุทธิ์บางส่วนด้วย TLC จาก *T. asperellum* BCC 12530 เลนที่ 1 กรดอะมิโน Aib มาตรฐานเป็น marker มีค่า  $R_f = 0.14$  (ลูกศรชี้) เลนที่ 2 สารสกัดหลังการทำให้บริสุทธิ์บางส่วนด้วย TLC และเลนที่ 3 สารสกัดก่อนทำให้บริสุทธิ์บางส่วน ตัวอย่างละ  $5 \mu\text{l}$  ระบบสารละลายเฟสเคลื่อนที่คลอโรฟอร์ม : เมทานอล : น้ำ : กรดอะซิติกเข้มข้น อัตราส่วน  $65 : 25 : 4 : 3$  และตรวจสอบโดยสเปรย์สารละลายนินไอกิน

ศึกษาเพิ่มเติมเพื่อขึ้นยั่นเทคนิคดังกล่าว ด้วยวิธีการที่มีประสิทธิภาพสูงกว่าคือ การวิเคราะห์กรดอะมิโนด้วย HPLC (วิธีการทดลอง 5.1) ของสารสกัดหยาบจาก *T. asperellum* BCC 12530 ที่ผ่านกระบวนการไฮโดรไลส์พบว่าในสารตัวอย่างมีกรดอะมิโน Aib เป็นองค์ประกอบสูงถึง  $23.44\%$  คำนวณเป็นความเข้มข้นจากพื้นที่ได้กราฟเปรียบเทียบกับกรดอะมิโนมาตรฐาน Aib ( $1 \text{ mg.ml}^{-1}$ ) ได้เท่ากับ  $2.79 \text{ mg.ml}^{-1}$  โดยปรากฏพิกเซ็นที่เวลา  $27.75$  นาที ส่วนในตัวควบคุมเชิงลบคือ สารสกัดอาหารเลี้ยงเชื้อ  $3\% \text{ ME}$  ที่เติม Aib  $50 \mu\text{g.ml}^{-1}$  พบว่ามี Aib

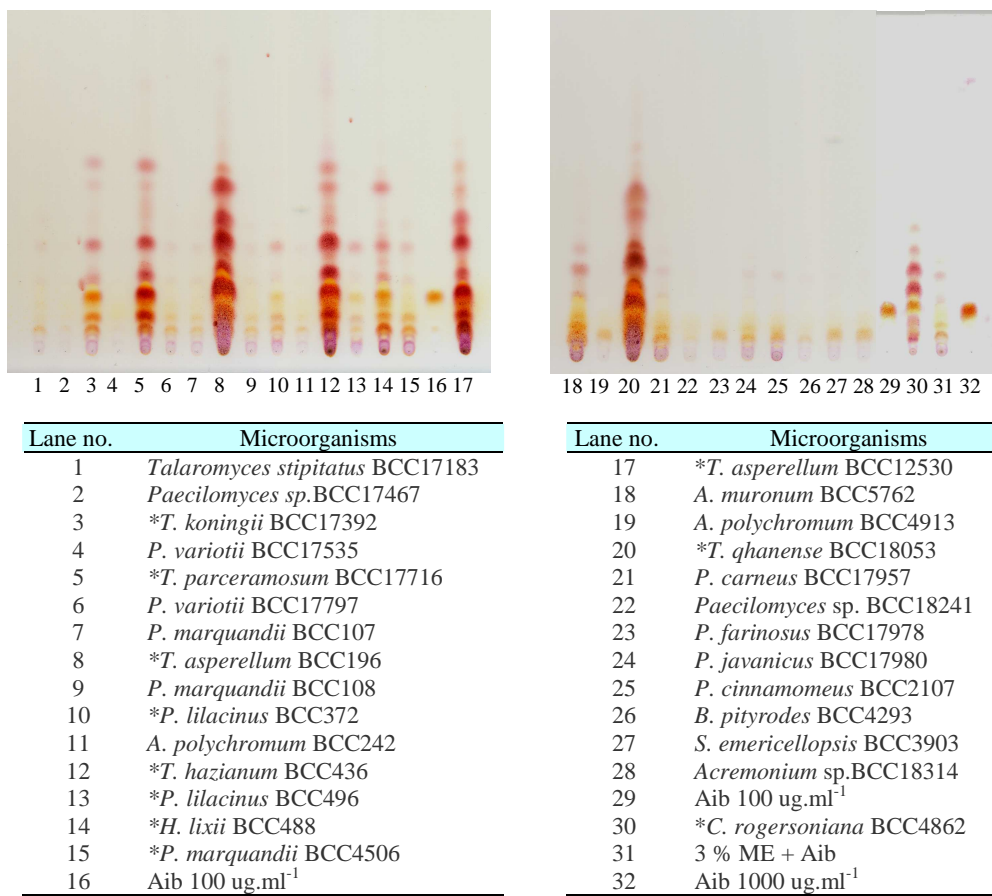


ภาพที่ 21 การวิเคราะห์กรดอะมิโนด้วย HPLC โดย AccQ•Tag<sup>TM</sup> method น.) คือ กรดอะมิโนมาตรฐาน Aib ข.) สารสกัดอาหารเลี้ยงเชื้อ 3 % ME ที่เติมกรดอะมิโน Aib  $50 \mu\text{g.ml}^{-1}$  (ตัวควบคุมชิงคบ) และ ค.) สารสกัดจาก *T. asperellum* BCC 12530 ที่ผ่านการไอโอดีไลซ์

จำนวนเดือนน้อยเท่านั้นที่สกัดออกมาได้ คือความเข้มข้นเท่ากับ  $0.04 \text{ mg.ml}^{-1}$  (ภาพที่ 21) และจากผลการทดลองนี้สามารถอนุมอุตติ์ได้ว่ากรดอะมิโน Aib ที่พบในสารสกัดเกิดจากการผลิตของเชื้อ ไม่ได้มาจากกระบวนการค้างของกรดอะมิโนดังกล่าวที่เติมในอาหารเลี้ยงเชื้อ โดยการทดลองของ Raap และคณะ (2004) พบว่ากรดอะมิโน Aib ที่เป็นองค์ประกอบของ zervamicins สังเคราะห์ได้จากกรดอะมิโนอื่นๆ ด้วย ได้แก่ กรดอะมิโน Iva (iso-valine)

*T. asperellum* BCC 12530 ที่ใช้เป็นเชื้อควบคุมทดลองการทดลองในงานวิจัยนี้ ได้รับการพิสูจน์อย่างชัดเจนแล้วโดย HPLC (AccQ•Tag<sup>TM</sup> method) ว่าสร้างสารที่มีกรดอะมิโน Aib เป็นองค์ประกอบ ซึ่งเป็นลักษณะสำคัญของเปปไทด์โอดิคส์ และจากการวิเคราะห์กรดอะมิโนด้วย HPLC ทำให้มั่นใจได้ว่าการตรวจสอบกรดอะมิโน Aib โดยวิธี TLC ตามที่กล่าวมาก่อนแล้ว มีประสิทธิภาพเพียงพอต่อการคัดกรองสารสกัดที่มี Aib เป็นองค์ประกอบได้และเป็นวิธีการที่ราคาถูก

การทดสอบเทคนิคการวิเคราะห์กรดอะมิโนด้วย TLC โดยนำมาคัดกรองเชื้อราเพิ่มเติมอีก 27 สายพันธุ์ (ภาพที่ 22) นอกจากเชื้ออ้างอิง *T. asperellum* BCC 12530 ดังที่ได้กล่าวไปแล้วเพื่อวิเคราะห์แนวโน้มในการใช้เทคนิคนี้สำหรับการคัดกรองเชื้อที่มีกรดอะมิโน เปปไทด์โอดิคส์ พบว่าสามารถแบ่งแยกเชื้อร้าได้ชัดเจนระหว่างกลุ่มที่คาดว่าผลิตและไม่ได้ผลิตเปปไทด์โอดิคส์ โดยกลุ่มที่คาดว่าผลิตได้แก่ จีนัส *Trichoderma* และ *telomorph* คือ *Hypocrea* ทั้งหมด และมีจีนัส *Paecilomyces* บางสายพันธุ์ นอกจากนี้พบว่าเชื้อที่มีกรดอะมิโน Aib ในสารสกัด เมื่อทดสอบกิจกรรมการยับยั้ง พบว่ามีผลในการยับยั้งเชื้อ *B. cereus* ATCC 11778 โดยเทคนิค microdilution ด้วย (ผลและวิจารณ์ข้อ 1.4.2) ดังนั้นอาจกล่าวได้ว่ากิจกรรมการยับยั้งเกิดจากสารเปปไทด์โอดิคส์ในสารสกัดและเทคนิค TLC นี้มีประสิทธิภาพเพียงพอในการคัดกรองเชื้อร้าที่ผลิตเปปไทด์โอดิคส์



ภาพที่ 22 แสดงการวิเคราะห์กรดอะมิโนด้วยเทคนิค TLC กับสารสกัดเชื้อราทั้งหมด 27

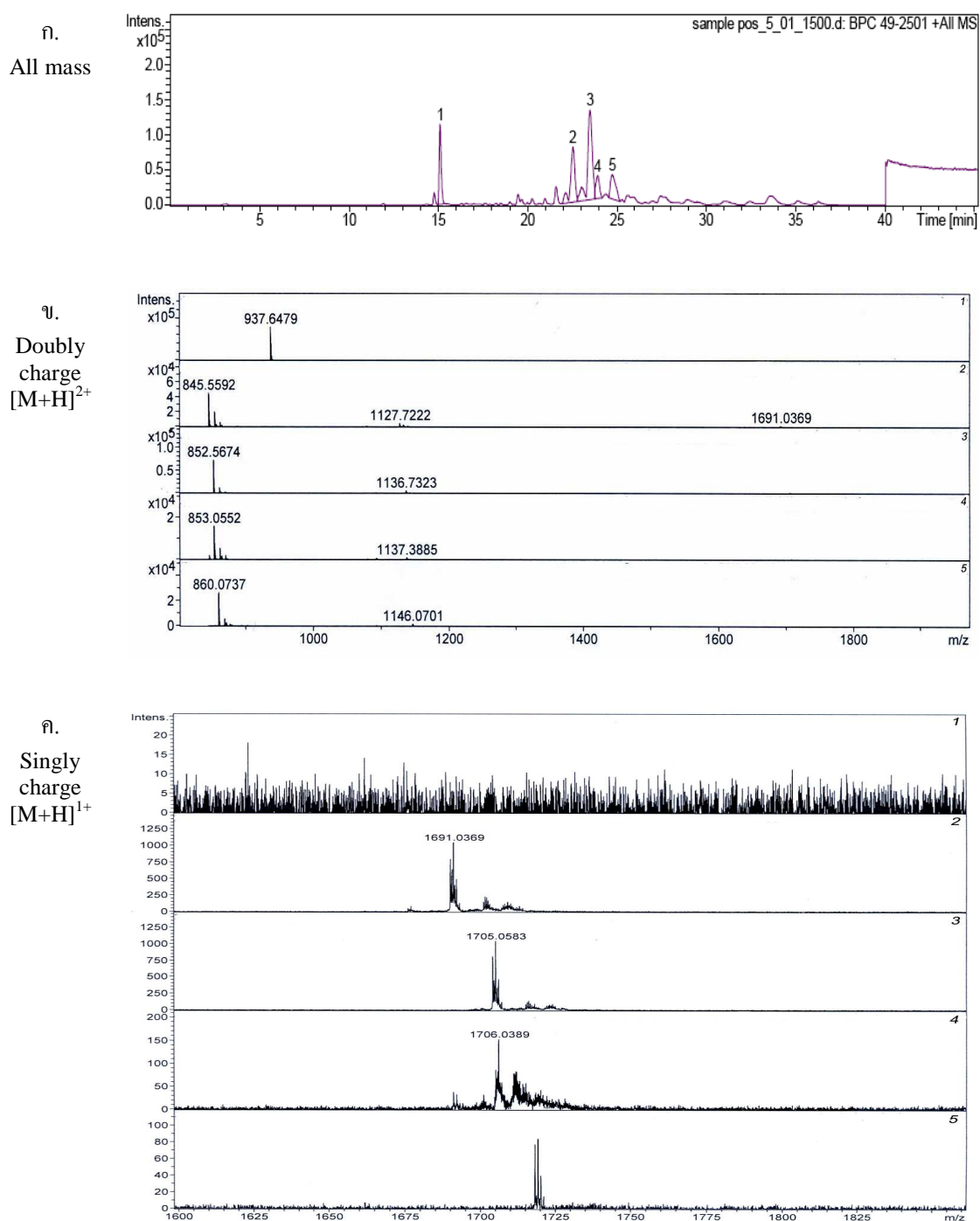
สายพันธุ์ โดยมีกรดอะมิโน Aib เป็น marker

หมายเหตุ \* เชื้อราที่พบว่ามีกรดอะมิโน Aib เป็นองค์ประกอบในสารสกัด

### 1.6 การวิเคราะห์มวลโมเลกุลสารสกัดด้วย LC/MS

การวิเคราะห์มวลด้วยเทคนิค LC/MS ของสารสกัดเชื้อ *T. asperellum* BCC 12530 โดยใช้ ESI เป็นการสร้างประจุให้มวลที่ทดสอบ โดยนำสารสกัด *T. asperellum* BCC 12530 ที่ทำให้บริสุทธิ์บางส่วนด้วย TLC ความเข้มข้น  $20 \text{ mg.ml}^{-1}$  ปริมาณ  $2 \mu\text{l}$  มาวิเคราะห์ตามวิธีการทดสอบข้อ 5.5 พบว่าได้มวลของสารที่ชัดเจนทั้งหมดอย่างน้อย 5 ค่า จากพีคของมวลสารทั้งหมด (All MS) ที่เวลา 15.1, 22.5, 23.5, 23.9 และ 24.7 min (ภาพที่ 23 ก.) และมวลที่ได้คาดว่ามีลักษณะเป็น doubly charge  $[\text{M}+2\text{H}]^{2+}$  คือค่า  $m/z$  ที่อ่านได้เพิ่มหรือลดลงเป็นสองเท่าเนื่องจากอิเล็กตรอนที่เพิ่มหรือลดลงสองเท่า (Price, 1991; Suwan *et al.*, 2000)

จากการวิเคราะห์สารโดยเทคนิค LC-ESI/MS นี้ แสดงสเปกตรัมในภาพที่ 23 ข. ได้ค่า  $m/z$  ของสารลำดับที่ 1 – 5 คือ 937.6479, 845.5592, 852.5674, 853.0552 และ 860.0737 Da ซึ่งเป็น doubly charge  $[M+2H]^{2+}$  นอกจากนี้ยังพบค่า  $m/z$  1691.0369, 1705.0583 และ 1706.0389 ซึ่งเป็น singly charge  $[M+H]^+$  ในสารลำดับที่ 2 – 4 พีคของสารลำดับที่ 1 และ 5 ในแบบ singly charge พบว่ามีความหนาแน่นของสเปกตรัมต่ำมาก (low intensities) เมื่อเปรียบเทียบกับพีคของสาร 2 – 4 (ภาพที่ 23 ค.) มวลที่แท้จริง (M) คำนวณจาก doubly charge โดยโปรแกรม HyStar 3.2 ได้ดังนี้ 1874.2879, 1690.1105, 1704.1269, 1705.1104 และ 1719.1395 (ตารางที่ 11) จากค่ามวลที่ได้นี้ ลำดับที่ 2 – 5 คาดว่าเป็นมวลของสาร trichotoxins ตรงกับที่มีรายงานมาก่อนแล้วและแสดงในตารางที่ 12 (Jaworski and Brückner, 1999; Suwan *et al.*, 2000; Duclohier *et al.*, 2004; Krause *et al.*, 2006; Neuhof *et al.*, 2007) ซึ่งอาจมีมวลต่างกันเล็กน้อย 1 – 2 Da ขึ้นกับแต่ละเทคนิคที่ใช้ในการหามวลโมเลกุลที่แตกต่างกันไปด้วย นอกจากนี้ จะเห็นได้ว่าสารสกัดมีลักษณะจำเพาะคือ มีมวลโมเลกุลที่ใกล้เคียงกันจำนวนมากโดยมีมวลต่างกัน 1, 14 หรือ 16 Da เป็นต้น เนื่องจากคุณสมบัติที่สำคัญอีกประการหนึ่งของการสังเคราะห์เป็นปีต้าโน โอดิกส์ โดยกลุ่มเอนไซม์ NRPSs ในเชื้อรากจะสามารถสังเคราะห์ผลิตภัณฑ์ผสมกัน และมีมวลต่างกันเล็กน้อย (microheterogenous peptide mixtures) โดยองค์ประกอบของกรดอะมิโนหรือ 1, 2 – amino alcohol เปลี่ยนแปลงไป (Pocsfalvi *et al.*, 1997; Krause *et al.*, 2007; Stoppacher *et al.*, 2007) เช่น การเปลี่ยนจากกรดอะมิโน Gln ไปเป็น Glu ในเรซิดิวส์ที่ 18 ของ trichorzianine ทำให้มวลโมเลกุลเปลี่ยนจาก 1962.1 Da ไปเป็น 1963.1 Da (Stoppacher *et al.*, 2007) หรือ การเปลี่ยนจากกรดอะมิโน Hyp (*tran*-4-hydroxy-L-proline) ไปเป็น Pro ในเรซิดิวส์ที่ 13 ของ antiamoebins ชนิดที่ I และ II ทำให้มวลโมเลกุลเปลี่ยนจาก 1670 Da ไปเป็น 1654 Da (Jaworski and Brückner, 2000) เป็นต้น สารประกอบที่ได้มีลักษณะจำเพาะคือ microheterogeneity ดังที่ได้กล่าวไปแล้ว ทำให้มีมวลของสารที่มีขนาดใกล้เคียงกันเกิดขึ้นมากกว่า 1 ค่า แต่เป็นสารในกลุ่มเดียวกันหรือเป็น analogues กัน และจากการวิเคราะห์ LC/MS ของสารสกัดเชื้อ *T. asperellum* BCC 12530 เมื่อคำนวณมวลที่ได้คาดว่าพีคที่ 3 และ 4 มีมวลเท่ากับ 1704.1269 และ 1705.1104 Da คาดว่าเป็น neutral trichotoxins (trichotoxin A-50) และ acidic trichotoxins (trichotoxin A-40) ตามลำดับซึ่งมีมวลต่างกัน 1 Da โดยเกิดจากสภาพการเป็นกรดและกรดของกรดอะมิโน Glu – Gln ที่เป็นองค์ประกอบ ดังที่มีรายงานมาแล้ว ส่วนพีคที่ 2 และ 5 มีมวลเท่ากับ 1690.1105 และ 1719.1395 Da ต่างกับ พีคที่ 3 และ 4 เท่ากับ 14 Da เหมือนกัน ซึ่งคาดว่าอาจจะมีกรดอะมิโนต่างชนิดกันเป็นองค์ประกอบ ส่วนพีคของสารประกอบที่ 1 มีมวล 1874.2879 Da นั้นยังไม่ตรงกับในรายงานใด ๆ



ภาพที่ 23 การวิเคราะห์มวลโดยเทคนิค LC-ESI/MS ก. พีกของมวลสารประกอบทั้งหมด (all mass) อย่างน้อย 5 ชนิดที่ตรวจสอบได้เป็นประจำกับสัมพันธ์กับเวลา และ ข. และ ค. เป็นสเปกตรัมของสารทั้ง 5 ชนิดในช่วง  $m/z$  800 – 1,900 Da (doubly charge  $[M+2H]^{2+}$ ) และ 1,600 – 1,875 Da (singly charge  $[M+H]^+$ ) ตามลำดับ

**ตารางที่ 11** ค่า  $m/z$  จากการวิเคราะห์ LC-ESI/MS ในรูปแบบ doubly และ singly charge ของสารสกัด *T. asperellum* BCC 12530

Peak	Time	Monoisotopic mass (M)*	$[M+2H]^{2+}$	$[M+H]^+$
1	15.1	1874.2879	937.6479	-
2	22.5	1690.1105	845.5592	1691.0369
3	23.5	1704.1269	852.5674	1705.0583
4	23.9	1705.1104	853.0552	1706.0389
5	24.7	1719.1395	860.0737	-

หมายเหตุ \*คำนวนจากค่า  $m/z [M+2H]^{2+}$  โดยโปรแกรม HyStar 3.2

**ตารางที่ 12** การวิเคราะห์มวลของ trichotoxins ที่มีการรายงานมาแล้ว

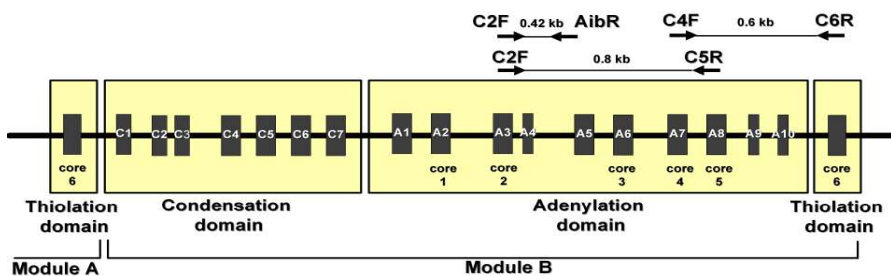
Type of trichotoxins	microorganism	Mass	reference
Trichotoxins A-40	<i>T. viride</i> NRRL 5242	$[M] = m/z 1690, 1704.$ $1718$	Jaworski and Brückner (1999)
Trichotoxin mixture	<i>T. harzianum</i> PC01	$[M] a = m/z 1675, 1689,$ $1703, 1717, 1731$	Sawan <i>et al.</i> (2000)
Trichotoxins A-50E	-	$[M+H]^+ = m/z 1689.7$ $[M+Na]^+ = m/z 1712.1,$	Duclohier <i>et al.</i> (2004)
Trichotoxins A-50I	<i>T. asperellum</i>	$[M] = m/z 1689, 1703.$ $1717$	Krause <i>et al.</i> (2006)
Trichotoxins A-50	<i>T. asperellum</i> NRRL 5242	$[M] = m/z 1660, 1674,$ $1688, 1702, 1716, 1730$	Neuhof <i>et al.</i> (2007)

จากการศึกษาสามารถยืนยันได้ว่าสารสกัดจากเชื้อ *T. asperellum* BCC 12530 ได้ผลิตสารที่เป็นกลุ่มเปปไทด์ใบโอดิกส์ เนื่องจากการวิเคราะห์กรดอะมิโน Aib ที่เป็นองค์ประกอบในสารสกัดด้วยวิธี TLC และ HPLC และคาดว่าเป็นสารประกอบ trichotoxins โดยการวิเคราะห์มวลจากเทคนิค LC-ESI/MS ดังนั้นเชื้อ *T. asperellum* BCC 12530 สามารถนำมาเป็นเชื้อร้า อ้างอิง สำหรับการทดสอบวิธีการคัดกรองเชื้อร้าที่ผลิตสารในกลุ่มเปปไทด์ใบโอดิกส์ในลำดับต่อไป

## 1.7 การออกแบบไพร์เมอร์และทดสอบสภาพการทำพีซีอาร์ที่เหมาะสม

### 1.7.1 การวิเคราะห์ข้อมูลทางชีวสารสนเทศและการออกแบบไพร์เมอร์

การทดสอบหาอินพุตที่เกี่ยวข้องกับการผลิตเป็นปีตี้ในโอดิกส์โดยเทคนิคพีซีอาร์ จะมีไพร์เมอร์ที่เกี่ยวข้องทั้งหมด 3 คู่ ได้แก่ C2F&C5R, C4F&C6R และ C2F&AibR และตำแหน่งของแต่ละคู่ไพร์เมอร์ในภาพที่ 26 ซึ่งลำดับนิวคลีโอไทด์ของไพร์เมอร์ดูที่อุปกรณ์และวิธีการข้อ 6.2.1 โดยไพร์เมอร์ C2F&C5R และ C4F&C6R จะจำเพาะกับส่วนของยีน *nrps* ในโดเมน A และ T ตามลำดับ ส่วนไพร์เมอร์ C2F&AibR จะจำเพาะต่อโมดูลที่เป็น Aib เท่านั้น



ภาพที่ 24 แบบจำลองบางส่วนของยีน *pes* โดยประกอบด้วย A, T และ C-domain และตำแหน่งของไพร์เมอร์ทั้ง 3 คู่ คือ C2F&C5R, C4F&C6R และ C2F&AibR ที่ใช้ในการศึกษานี้

ฐานข้อมูลที่ใช้ในการออกแบบไพร์เมอร์ C4F และ C6R แสดงในตารางที่ 13 ซึ่งเป็นข้อมูลของเชื้อรา 9 สายพันธุ์ที่มียีน *nrps* และการทำการทำ multiple alignment ด้วยโปรแกรม Clustal W และตำแหน่งไพร์เมอร์ในภาพนวนที่ ก1 ส่วนไพร์เมอร์ AibR ออกแบบได้จากยีน ส่วนที่เป็นโมดูลของ Aib ของเชื้อรา 2 สายพันธุ์ คือ *T. virens* (Wiest, et al., 2002) และ *T. asperellum* (Chutrakul and Peberdy, 2005) จำนวนทั้งหมด 9 โมดูล และการทำการทำ multiple alignment และตำแหน่งไพร์เมอร์ในภาพนวนที่ ก2 เมื่อนำไพร์เมอร์ที่ออกแบบได้มาตรวจสอบ โอกาสการเกิด self complementary ด้วยโปรแกรม OligoCalc (Kibbe, 2007) ไม่พบ โครงสร้าง hairpin formation แต่มีโอกาสเกิด self – annealing ได้ 3 – 12 แบบ ซึ่งอยู่ในเกณฑ์ที่สามารถนำมาใช้ในการวิเคราะห์ปฏิกิริยาพีซีอาร์ได้

ตารางที่ 13 ชื่อยีน รหัส และเชื้อราจากฐานข้อมูลธนาคารยีน NCBI สำหรับออกแบบไพร์เมอร์คู่ C4F&C6R

Name of gene / Accession no.	Organisms	References
<i>nmps / AAX63399</i>	<i>Hypocrea virens</i> (Hvir)	Wei et al. (2005)
<i>pes / BAC78651</i>	<i>Aspergillus oryzae</i> (Aory)	Ishida et al. (2002)
<i>salps 1 / AJ784403</i>	<i>Trichoderma harzianum</i> (Thar)	Vizcaino et al. (2005)
<i>pes / CAA61605</i>	<i>Metarrhizium anisopliae</i> (Mani)	Bailey et al. (1996)
<i>nmps / AAM78457</i>	<i>Trichoderma virens</i> (Tvir)	Wiest et al. (2002)
<i>pes1 / AAK16599</i>	<i>Hypocrea virens</i> (Hvir)	Wilhite et al. (2001)
<i>pes / AAG24639</i>	<i>Trichoderma asperellum</i> (Tasp)	Chutrakul and Peberdy (2005)
<i>pes / AAD00581</i>	<i>Aureobasidium pullulans</i> (Apul)	Peery et al. (1997)
<i>pes / AAP56239</i>	<i>Emericella nidulans</i> (Enid)	Haas et al. (2003)

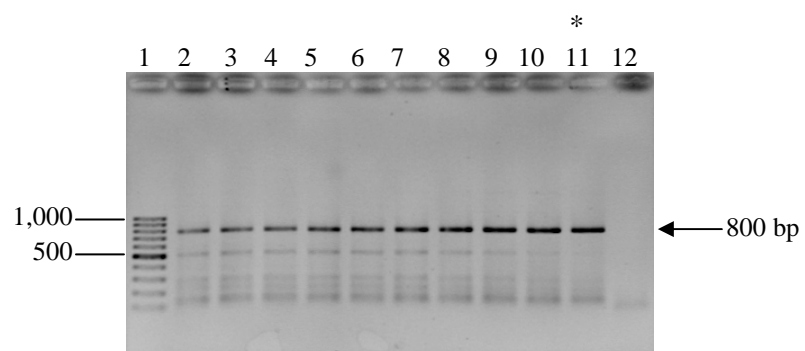
### 1.7.2 การทดสอบองค์ประกอบและสภาวะที่เหมาะสมต่อปฏิกิริยาพีซีอาร์

ไพร์เมอร์เต่าลักษณะน้ำมหาทดสอบทางองค์ประกอบและสภาวะการทำพีซีอาร์ที่เหมาะสม โดยมีโภนคีอินของ *T. asperellum* BCC12530 เป็นแม่แบบ การทางองค์ประกอบของพีซีอาร์ที่เหมาะสม โดยปรับปริมาณสารที่เป็นองค์ประกอบสำคัญในปฏิกิริยา ได้แก่ ปริมาณ  $MgCl_2$  ความเข้มข้นไพร์เมอร์และการทดสอบหาอุณหภูมิ annealing (Tm) ที่เหมาะสม

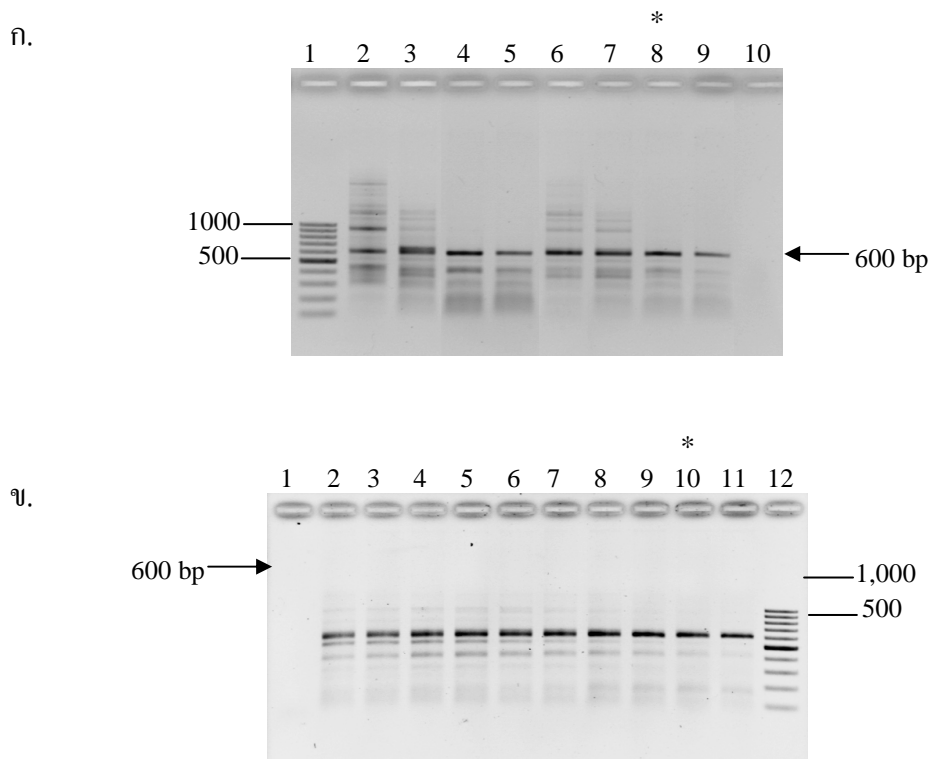
การทดสอบไพร์เมอร์ C2F&C5R พบว่าสามารถทำปฏิกิริยาพีซีอาร์ได้ขนาดผลิตภัณฑ์ประมาณ 800 คู่เบส โดยมีความเข้มข้น  $MgCl_2$  เท่ากับ 4 mM และไพร์เมอร์ทั้ง 2 ด้านเท่ากับ 0.4 mM (Chutrakul and Peberdy, 2005) การทดสอบหาอุณหภูมิ annealing ที่เหมาะสม โดยการทำ gradient PCR ในช่วง Tm เท่ากับ 51 – 61 °C พบว่าที่อุณหภูมิ annealing เท่ากับ 61 °C มีความเหมาะสมที่สุด (ภาพที่ 25 เลนที่ 11)

ปฏิกิริยาพีซีอาร์ของไพร์เมอร์ C4F&C6R มีขนาดผลิตภัณฑ์ประมาณ 600 คู่เบส โดยการทดลองปรับค่าความเข้มข้น  $MgCl_2$  และไพร์เมอร์ทั้ง 2 ด้านให้เหมาะสมก่อน พบว่าความเข้มข้น  $MgCl_2$  เท่ากับ 8 mM และไพร์เมอร์เท่ากับ 0.2 mM (ภาพที่ 26 ก. เลนที่ 8) จากนั้นทดสอบหาอุณหภูมิ annealing ที่เหมาะสม โดยการทำ gradient PCR ในช่วง Tm เท่ากับ 53 – 63 °C พบว่าที่อุณหภูมิ annealing เท่ากับ 62 °C มีลักษณะแบบผลิตภัณฑ์ชัดเจนและมี non – specific band น้อยกว่าอุณหภูมิอื่นๆ ดังนั้นอุณหภูมิ annealing 62 °C จึงมีความเหมาะสมที่สุด (ภาพที่ 26 ข. เลนที่ 10)

ปฏิกิริยาพิชีอาร์ของไพร์เมอร์ C2F&AibR มีขนาดผลิตภัณฑ์ประมาณ 420 คู่ เบส โดยการทดลองปรับความเข้มข้น MgCl<sub>2</sub> และไพร์เมอร์ทั้ง 2 ด้านให้เหมาะสมก่อน พบว่าที่ความเข้มข้น MgCl<sub>2</sub> เท่ากับ 6 และ 8 mM โดยความเข้มข้นไพร์เมอร์ C2F และ AibR เท่ากับ 0.2 และ 0.4 mM ตามลำดับ มีลักษณะแถบผลิตภัณฑ์พิชีอาร์ชัดเจนที่สุดและมี non-specific band น้อยกว่าที่ความเข้มข้น MgCl<sub>2</sub> และไพร์เมอร์อื่นๆ (ภาพที่ 27 เลนที่ 3 และ 6) จากนั้นทดสอบหาอุณหภูมิ annealing ที่เหมาะสม โดยการทำ gradient PCR ในช่วง Tm เท่ากับ 53 – 63 °C และเปรียบเทียบความเข้มข้น MgCl<sub>2</sub> 2 ค่าที่ใกล้ความเหลือ (ภาพที่ 28 ก. และ ข.) พบว่าที่อุณหภูมิ annealing เท่ากับ 58.5 °C และ ความเข้มข้น MgCl<sub>2</sub> 8 mM มีลักษณะแถบผลิตภัณฑ์ชัดเจนกว่า อุณหภูมิอื่นๆ ดังนั้นอุณหภูมิ annealing 58.5 °C และ ความเข้มข้น MgCl<sub>2</sub>, ไพร์เมอร์ C2F และไพร์เมอร์ AibR เท่ากับ 8, 0.2 และ 0.4 mM ตามลำดับ จึงมีความเหมาะสมที่สุด (ภาพที่ 28 ข. เลนที่ 7)



**ภาพที่ 25** การทดสอบหาอุณหภูมิ annealing ที่เหมาะสมของไพร์เมอร์ C2F&C5R โดยมีไวโอนมดีอีนเอของ *T. asperellum* BCC12530 เป็นแม่แบบ  
เลนที่ 1 คือ 100 bp DNA ladder  
เลนที่ 2 – 11 คือ อุณหภูมิ annealing เท่ากับ 51, 51.9, 53, 54.2, 55.4, 56.6, 57.8, 59, 60.1 และ 61 °C ตามลำดับ  
เลนที่ 12 คือ ตัวควบคุมเชิงลบ (น้ำเป็นแม่แบบ)  
หมายเหตุ \* คือสภาวะที่เหมาะสมที่สุดในการนำไปใช้



ภาพที่ 26 การหางค์ประกอบและสภาวะที่เหมาะสมในการทำพีซีอาร์ของไพร์เมอร์ C4F&C6R

โดยมีจีโนมดีเอ็นเอของ *T. asperellum* BCC12530 เป็นแม่แบบ

ก. การปรับความเข้มข้น MgCl<sub>2</sub> และไพร์เมอร์ทั้ง 2 ด้าน

เลนที่ 1 คือ 100 bp DNA ladder

เลนที่ 2, 3, 4 และ 5 มีความเข้มข้น MgCl<sub>2</sub> เท่ากับ 4, 6, 8 และ 10 mM ตามลำดับและไพร์เมอร์ทั้ง 2 ด้านเท่ากับ 0.4 mM

เลนที่ 6, 7, 8 และ 9 มีความเข้มข้น MgCl<sub>2</sub> เท่ากับ 4, 6, 8 และ 10 mM ตามลำดับและไพร์เมอร์ทั้ง 2 ด้านเท่ากับ 0.2 mM

เลนที่ 10 คือ ตัวควบคุมเชิงลบ (นำเป็นแม่แบบ)

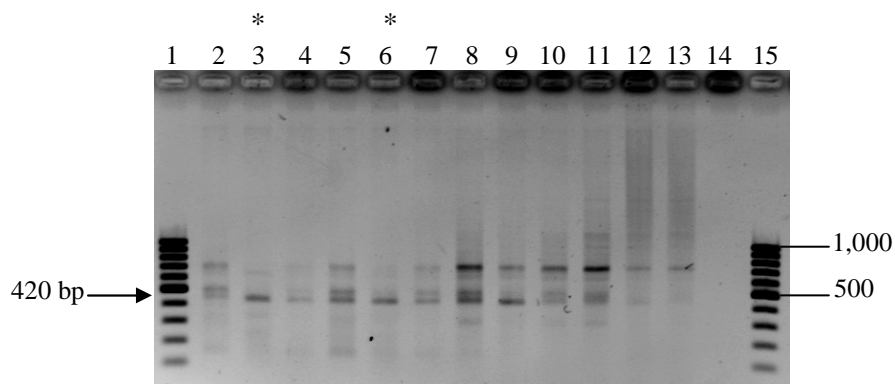
ข. การทดสอบหาอุณหภูมิ annealing ที่เหมาะสมไพร์เมอร์ C4F&C6R

เลนที่ 1 คือ ตัวควบคุมเชิงลบ (นำเป็นแม่แบบ)

เลนที่ 2 – 11 คือ อุณหภูมิ annealing เท่ากับ 53, 53.9, 55, 56.2, 57.4, 58.6, 59.8, 61, 62.1 และ 63 °C ตามลำดับ

เลนที่ 12 คือ 100 bp DNA ladder

หมายเหตุ \* คือสภาวะที่เหมาะสมที่สุดในการนำไปใช้



**ภาพที่ 27 การหาองค์ประกอบและสภาวะที่เหมาะสมในการทำพีซีอาร์ของไพร์เมอร์ C2F&AibR โดยมีจิโนมดีเอ็นเอของ *T. asperellum* BCC12530 เป็นแม่แบบโดยการปรับความเข้มข้น MgCl<sub>2</sub> และไพร์เมอร์ทั้ง 2 ด้าน**

เลนที่ 1 และ 15 คือ 100 bp DNA ladder

เลนที่ 2 มีความเข้มข้น MgCl<sub>2</sub>, C2F และ AibR เท่ากับ 8, 0.4 และ 0.4 mM ตามลำดับ

เลนที่ 3 มีความเข้มข้น MgCl<sub>2</sub>, C2F และ AibR เท่ากับ 8, 0.2 และ 0.4 mM ตามลำดับ

เลนที่ 4 มีความเข้มข้น MgCl<sub>2</sub>, C2F และ AibR เท่ากับ 8, 0.2 และ 0.2 mM ตามลำดับ

เลนที่ 5 มีความเข้มข้น MgCl<sub>2</sub>, C2F และ AibR เท่ากับ 6, 0.4 และ 0.4 mM ตามลำดับ

เลนที่ 6 มีความเข้มข้น MgCl<sub>2</sub>, C2F และ AibR เท่ากับ 6, 0.2 และ 0.4 mM ตามลำดับ

เลนที่ 7 มีความเข้มข้น MgCl<sub>2</sub>, C2F และ AibR เท่ากับ 6, 0.2 และ 0.2 mM ตามลำดับ

เลนที่ 8 มีความเข้มข้น MgCl<sub>2</sub>, C2F และ AibR เท่ากับ 4, 0.4 และ 0.4 mM ตามลำดับ

เลนที่ 9 มีความเข้มข้น MgCl<sub>2</sub>, C2F และ AibR เท่ากับ 4, 0.2 และ 0.4 mM ตามลำดับ

เลนที่ 10 มีความเข้มข้น MgCl<sub>2</sub>, C2F และ AibR เท่ากับ 4, 0.2 และ 0.2 mM ตามลำดับ

เลนที่ 11 มีความเข้มข้น MgCl<sub>2</sub>, C2F และ AibR เท่ากับ 2, 0.4 และ 0.4 mM ตามลำดับ

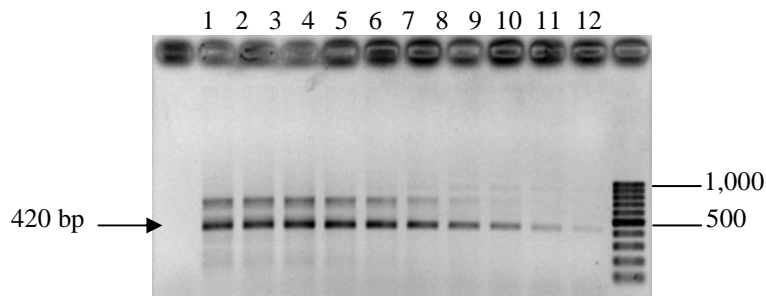
เลนที่ 12 มีความเข้มข้น MgCl<sub>2</sub>, C2F และ AibR เท่ากับ 2, 0.2 และ 0.4 mM ตามลำดับ

เลนที่ 13 มีความเข้มข้น MgCl<sub>2</sub>, C2F และ AibR เท่ากับ 2, 0.2 และ 0.2 mM ตามลำดับ

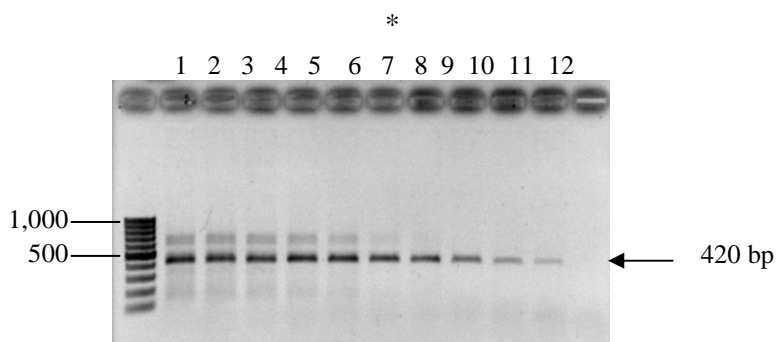
เลนที่ 14 คือ ตัวควบคุมเชิงลบ (น้ำเป็นแม่แบบ)

หมายเหตุ \* คือสภาวะที่เหมาะสมที่สุดในการนำไปใช้

ก. 6 mM MgCl<sub>2</sub>



ข. 8 mM MgCl<sub>2</sub>

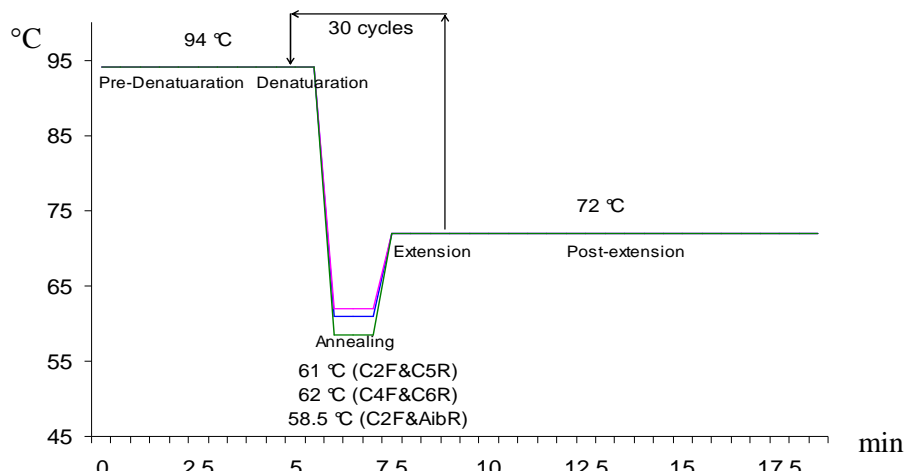


**ภาพที่ 28 การทดสอบหาอุณหภูมิ annealing ที่เหมาะสมในการทำพีซีอาร์ของไพร์เมอร์ C2F&AibR โดยมีจีโนมดีเอ็นเอของ *T. asperellum* BCC12530 เป็นแม่แบบ และ ก. และ ข. เปรียบเทียบความเข้มข้น MgCl<sub>2</sub> ที่ 6 และ 8 mM ตามลำดับ เลนที่ ก. 1 และ ข. 12 คือ ตัวควบคุมเชิงลบ (น้ำเปล่าแบบ) เลนที่ 2 – 11 คือ อุณหภูมิ annealing เท่ากับ 53, 53.9, 55, 56.2, 57.4, 58.6, 59.8, 61, 62.1 และ 63 °C ตามลำดับ เลนที่ ก. 12 และ ข. 1 คือ 100 bp DNA ladder  
หมายเหตุ \* คือสภาวะที่เหมาะสมที่สุดในการนำไปใช้**

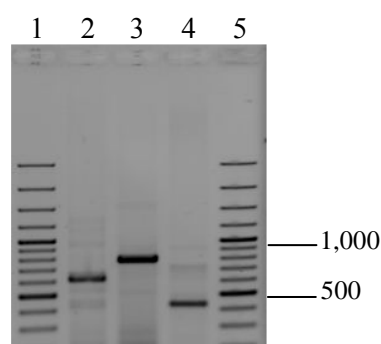
จากการทดลองเพื่อหาองค์ประกอบและการทดสอบอุณหภูมิ annealing (Tm) ที่เหมาะสมของกระบวนการทำพีซีอาร์และไพร์เมอร์ทั้ง 3 คู่ คือ C2F&C5R, C4F&C6R และ C2F&AibR แสดงในตารางที่ 14 และภาพที่ 29 ซึ่งในการคัดกรองกลุ่มเชื้อราที่สนใจและคาดว่าเกี่ยวข้องกับการผลิตแป๊ปไทร์โลติกส์ ด้วยเทคนิคทางชีวโมเลกุลจะมีเชื้ออ้างอิงคือ *T. asperellum* BCC12530 (ภาพที่ 30) ซึ่งพบว่าเมื่อทำพีซีอาร์ด้วยไพร์เมอร์ทั้ง 3 คู่ ได้ผลิตภัณฑ์พีซีอาร์ขนาดตรงกับที่ระบุไว้แล้วบึงต้น ดังนั้นจึงบอกได้ว่าเชื้อดังกล่าวมียีน *nrrps* ที่เกี่ยวข้องกับการผลิตแป๊ปไทร์โลติกส์ ซึ่งอาจเป็น trichotoxins ตามผลการวิเคราะห์สารสกัดด้วยเทคนิคทางเคมี รวมทั้งการตรวจสอบกิจกรรมการยับยั้งแบคทีเรียด้วย

ตารางที่ 14 องค์ประกอบที่เหมาะสมสมต่อปฏิกิริยาพีซีอาร์และไพรเมอร์แต่ละคู่

PCR composition	C2F&C5R ( $\mu\text{l}$ )	C4F&C6R ( $\mu\text{l}$ )	C2F&AibR ( $\mu\text{l}$ )
H <sub>2</sub> O	16.68	15.68	15.18
10x Mg <sup>2+</sup> free buffer (Finnzymes, Finland)	2.5	2.5	2.5
MgCl <sub>2</sub> (50 mM)	2	4	4
DNA genomic template (~50 ng. $\mu\text{l}^{-1}$ )	1	1	1
dNTP (10 mM)	0.5	0.5	0.5
Forward primer (10 mM)	1	0.5	0.5
Reverse primer (10 mM)	1	0.5	1
DyNazyme™ II DNA Polymerase (2U. $\mu\text{l}^{-1}$ ) (Finnzymes, Finland)	0.32	0.32	0.32
Total volume	25	25	25



ภาพที่ 29 สภาวะ อุณหภูมิ และเวลาที่เหมาะสมสมต่อปฏิกิริยาพีซีอาร์และไพรเมอร์แต่ละคู่



ภาพที่ 30 การทำพีซีอาร์จากจีโนมดีเอ็นเอของ *T. asperellum* BCC12530 (เชื้ออ้างอิง) กับไพร์เมอร์ C4F&C6R (เลนที่ 2) C2F&C5R (เลนที่ 3) และ C2F&AibR (เลนที่ 4) ซึ่งมีขนาดผลิตภัณฑ์พีซีอาร์ 600, 800 และ 420 bp ตามลำดับ โดยองค์ประกอบและสภาวะพีซีอาร์ที่เหมาะสม เลนที่ 1 และ 5 คือ 100 bp DNA ladder

## 2. การทดสอบคัดกรองเชื้อราที่สังเคราะห์เปปไทด์ใบโอดิกส์

การหาสภาวะที่เหมาะสมเพื่อการคัดกรองเชื้อราโดยเทคนิคต่างๆ ได้แก่ เทคนิคทางเคมี คือ การตรวจสอบกรรมวิโน Aib ด้วย TLC เทคนิคทางชีวโมเลกุล คือการคัดกรองยืนที่เกี่ยวข้องกับ การผลิตเปปไทด์ใบโอดิกส์ด้วยไฟร์เมอร์ชุดต่างๆ อีกทั้งมีการทดสอบคุณสมบัติทางชีวภาพในการ ขับยั้งเชื้อก่อโรค ได้แก่ ตัวแทนเชื้อแบคทีเรียแกรมบวกและแกรมลบ และเชื้อยีสต์ ดังนั้น เพื่อ ทดสอบกระบวนการคัดกรอง โดยเทคนิคเหล่านี้ จึงทำการทดลองกับเชื้อราจำนวน 57 สายพันธุ์ โดยเลือกสายพันธุ์ที่มีรายงานว่าเกี่ยวกับการสังเคราะห์เปปไทด์ใบโอดิกส์ เช่น *Trichoderma*, *Peacillomyces*, *Acremonium* และ *Stilbela* (Degenkolb et al., 2003) รวมทั้งเชื้อราจีนัส อื่นๆ พบว่าสามารถจัดเชื้อราทั้งหมดเป็นกลุ่มต่างๆ ได้ 6 กลุ่ม (ตารางที่ 15) ตามผลการทดลองดังนี้

กลุ่มที่ I กิตเป็น 36.84 % เป็นกลุ่มให้ผลบวกในการคัดกรองจากการทำพิชีอาร์ทดสอบ ยิน *nrps* และ/หรือ Aib module gene การตรวจสอบ Aib โดย TLC และ การตรวจสอบการ ขับยั้งเชื้อแบคทีเรียและ/หรือยีสต์ พบร้าเชื้อที่จัดในกลุ่มนี้เป็นส่วนใหญ่ ได้แก่ สายพันธุ์ *Trichoderma* (anamorphic type) และ *Hypocrea* (telomorphic type) กิตเป็น 76.19 % (16 สายพันธุ์ จาก 21 สายพันธุ์)

กลุ่มที่ II เป็นกลุ่มที่ไม่มีกิจกรรมการขับยั้งต่อเชื้อเปปามายที่ใช้ แต่ให้ผลบวกในการ ทดสอบอื่นๆ ซึ่งกลุ่มนี้เป็นเชื้อสายพันธุ์ *Trichoderma* และ *Hypocrea* เท่านั้น และพบร้อย 5.26 % จากเชื้อทั้งหมด คาดว่าเชื้อมีการผลิตสารที่มี Aib เป็นองค์ประกอบ แต่มีความเข้มข้นต่ำ (จุดบน TLC จาง) ดังนั้นสารดังกล่าวจึงอาจมีประสิทธิภาพไม่เพียงพอในการขับยั้งเชื้อเปปามาย เนื่องจาก ปริมาณการสร้างต่ำหรือ โครงสร้างสารที่ผลิตไม่สมบูรณ์ เช่น สารมีความยาวของสายเปปไทด์สั้น หรืออยู่ในโครงสร้างที่ไม่มีผลต่อผนังหรือเยื่อหุ้มเซลล์ของเชื้อเปปามาย เป็นต้น

กลุ่มที่ III คาดว่าเป็นกลุ่มที่ผลิตสารโดยเออนไซม์ NRPSs แต่อาจไม่ใช่กลุ่ม เปปไทด์ใบโอดิกส์ กิตเป็น 7.02 % จากเชื้อราทั้งหมด เนื่องจากว่าไม่พบกรรมวิโน Aib ในสาร ตกัด แต่พบยินและมีกิจกรรมการขับยั้ง จากรายงานที่มีมาก่อนแล้วเออนไซม์ NRPSs สามารถผลิต สารกลุ่มอื่นที่มีกรรมวิโนและอนุพันธุ์ของกรรมวิโน (amino acid – derivertives) เป็น องค์ประกอบด้วย เช่น penicillin, cyclosporine, AM-toxin และ enniatins เป็นต้น (Hoffmeister and Keller, 2007) ดังนั้นเชื้อรากลุ่มนี้จึงมีโอกาสพบยิน *nrps* และสารตกัดที่มี คุณสมบัติในการขับยั้งจุลินทรีย์ได้โดยที่ไม่ใช่สารกลุ่มเปปไทด์ใบโอดิกส์

กลุ่มที่ IV เป็นกลุ่มขนาดใหญ่อีกกลุ่มหนึ่ง โดยมี 31.58 % จากเชื้อราทั้งหมด ซึ่งเชื้อกลุ่มนี้ให้ผลการตรวจสอบด้วยพิชีอาร์ด้วยไฟร์เมอร์ C2F&C5R และ/หรือ C4F&C6R แต่ไม่พบกรดอะมิโน Aib และกิจกรรมการขับยังเชื้อเป้าหมาย คาดว่าเชื้อกลุ่มนี้มียีนที่เกี่ยวข้องกับการผลิตอยู่ แต่ไม่มีการแสดงออกของยีนคิดเป็นสภาวะ silencing เนื่องจากยีนเหล่านี้มีลักษณะเป็น cluster ทำให้มียีนอื่นๆ นอกจากยีนโครงสร้าง เช่น regulatory gene เพื่อควบคุมการสังเคราะห์สารด้วย (Bok *et al.*, 2006; Bergmann *et al.*, 2007) ดังนั้นการแสดงออกของยีนจะขึ้นอยู่กับปัจจัยภายในและปัจจัยภายนอก เช่น อาหารเลี้ยงเชื้อหรือสิ่งแวดล้อมในกระบวนการหมัก เป็นต้น แต่ในการคัดกรองด้วยพิชีอาร์เป็นการตรวจสอบที่ยีนโครงสร้างในส่วนโอดเมน A และ T เท่านั้น โดยไม่ได้คำนึงถึงยีนควบคุมใด ๆ ดังนั้นสามารถบอกได้ว่าเชื้อรากลุ่มนี้มียีนโครงสร้าง แต่ไม่มีการแสดงออกของยีนหรือแสดงออกในปริมาณที่ต่ำ ซึ่งไม่สามารถตรวจสอบได้จากการคัดกรองโดยการวิเคราะห์กรดอะมิโน Aib หรือกิจกรรมการขับยังจุลินทรีย์ในการทดลองนี้

กลุ่มที่ V เป็นเชื้อที่มีกิจกรรมการขับยังเชื้อ *C. albicans* แต่ไม่พบยีนและกรดอะมิโน Aib ซึ่งจากการทดลองนี้พบ 2 สายพันธุ์ เป็นจินส์ *Stilbella* และคิดเป็น 3.51 % จากเชื้อทั้งหมด คาดว่า กิจกรรมการขับยังเกิดจากสารปฏิชีวนะกลุ่มอื่น ที่ไม่เกี่ยวข้องกับเปปไทด์ในโอติกส์และยีน *nrps* แต่สามารถสกัดสารออกมานำได้โดยวิธีการสกัด III เช่น สารกลุ่ม polyene เป็นต้น

กลุ่มที่ VI คิดเป็น 15.79 % จากเชื้อทั้งหมด ได้แก่ เชื้อจินส์ *Acremonium*, *Stilbela* และ *Talaromyces* (เป็น telomorphic type ของเชื้อ *Penicillium*) ซึ่งพบว่าเป็นกลุ่มเชื้อที่ไม่ได้ให้ผลบวกในการคัดกรองตามเทคนิคต่างๆ ที่กล่าวมาแล้ว ดังนั้นอาจบอกได้ว่าเชื้อกลุ่มนี้ไม่เกี่ยวข้องกับการผลิตสารปฏิชีวนะรวมทั้งเปปไทด์ในโอติกส์และยีน *nrps* ด้วย

จากการกระบวนการคัดกรอง พบร่วมกับการทดสอบคุณสมบัติทางชีวภาพในการขับยังเชื้อตัวแทนแบคทีเรียแกรมลบ คือ *E. coli* ATCC 25922 (ตารางผนวกที่ 3) ไม่มีสารสกัดจากตัวอย่างเชื้อราที่ให้ผลบวก ( $MIC \geq 90$ ) ใน การทดสอบนี้ ซึ่งมีการศึกษาสารกลุ่มเปปไทด์ในโอติกส์จำนวนมากที่ไม่พบการขับยังแบคทีเรียแกรมลบ เช่น peptavirin A และ B ไม่แสดงกิจกรรมการขับยัง *E. coli* AB 1157 (Yeo *et al.*, 2002) heliferins เป็นลิโปเปปไทด์โนบล ซึ่งไม่แสดงกิจกรรมการขับยัง *E. coli* และ *Pseudomonas aeruginosa* (Toniolo *et al.*, 2001) septocylindrins A และ B จากเชื้อรา *Septocylindrium* sp. ไม่แสดงกิจกรรมการขับยัง *E. coli* (wild type) แต่สามารถขับยัง *E. coli imp* (membrane permeability mutant) ได้ที่  $MIC = 8 - 32 \mu\text{g.ml}^{-1}$  (Summers *et al.*, 2007) คาดว่าเนื่องจากเชื้อหุ้มเซลล์แบคทีเรียแกรมลบประกอบด้วย branched-fatty acid ในชั้น phospholipid ปริมาณน้อยกว่าและมี inner membrane ที่ชั้นซ้อนมากกว่าแบคทีเรียแกรมบวก

(Lohner and Blondelleb, 2005) ซึ่งสารกลุ่มนี้เป็นไทด์ในโอดิกส์มีลักษณะไม่เลกุลที่ไม่ชอบน้ำ (hydrophobic) จึงชอบแทรกเข้าไปยังชั้นลิปิดในเยื่อหุ้มเซลล์มากกว่า ดังนั้นไม่เลกุลเป็นไทด์ในโอดิกส์จึงแทรกเข้าไปยังเยื่อหุ้มเซลล์ของแบคทีเรียแกรมลบได้ยาก ทำให้เกิดกิจกรรมได้จำกัดเพียงต่อเยื่อหุ้มเซลล์บางชนิด โดยมากเป็นกลุ่มแบคทีเรียแกรมบวก ยีสต์ และรา ซึ่งขึ้นอยู่กับโครงสร้างและองค์ประกอบของสารด้วย

**ตารางที่ 15 การคัดกรองและแบ่งกลุ่มเชื้อรากเป็น 6 กลุ่ม โดยการคัดกรองยืนที่เกี่ยวข้องกับการผลิต การตรวจสอบกรดอะมิโน Aib และการทดสอบขับยิงเชือก่อโรค**

No.	Group No.	Code	Microorganism	PCR detection		Aib detection		Antibacterial assay	
				nrps gene	Aib module	TLC	B. cereus <sup>a</sup>	C. albicans <sup>b</sup>	
1		BCC4862	<i>Clonostachys rogersoniana</i>	✓	-	✓	✓	✓	
2		BCC488	<i>Hypocrea lixii</i>	✓	✓	✓	✓	✓	
3		BCC14814	<i>Hypocrea lixii</i>	✓	✓	✓	✓	✓	
4		KU 66	<i>Hypocrea lixii</i>	✓	✓	✓	✓	-	
5		KU 101	<i>Hypocrea lixii</i>	✓	✓	✓	✓	✓	
6		KU 102	<i>Hypocrea lixii</i>	✓	✓	✓	✓	-	
7		KU 107	<i>Hypocrea lixii</i>	✓	✓	✓	✓	-	
8		KU 113	<i>Hypocrea lixii</i>	✓	✓	✓	✓	-	
9		BCC12193	<i>Mariannaea campitospora</i>	✓	-	✓	✓	✓	
10		BCC372	<i>Paecilomyces lilacinus</i>	✓	-	✓	✓	✓	
11	I	BCC496	<i>Paecilomyces lilacinus</i>	✓	-	✓	-	✓	
12		BCC4506	<i>Paecilomyces marquandii</i>	✓	-	✓	✓	-	
13		BCC196	<i>Trichoderma asperellum</i>	✓	-	✓	✓	✓	
14		BCC12530	<i>Trichoderma asperellum</i>	✓	✓	✓	✓	-	
15		BCC436	<i>Trichoderma hazianum</i>	✓	✓	✓	✓	✓	
16		BCC17392	<i>Trichoderma koningii</i>	✓	✓	✓	✓	-	
17		BCC17716	<i>Trichoderma parceramosum</i>	✓	-	✓	✓	-	
18		BCC18053	<i>Trichoderma qhanense</i>	-	✓	✓	✓	-	
19		BCC14173	<i>Trichoderma</i> sp.	✓	✓	✓	✓	-	
20		BCC20419	<i>Trichoderma</i> sp.	✓	✓	✓	✓	-	
21		BCC12542	<i>Trichoderma</i> sp.	✓	✓	✓	✓	-	
22		KU 84	<i>Hypocrea lixii</i>	✓	✓	✓	-	-	
23	II	BCC11207	<i>Trichoderma atroviride</i>	✓	-	✓	-	-	
24		KU 119	<i>Trichoderma aureoviride</i>	✓	✓	✓	-	-	
25		BCC5762	<i>Acremonium muronum</i>	✓	✓	-	-	✓	
26	III	BCC4293	<i>Bionectria pityrodes</i>	✓	-	-	-	✓	
27		BCC4868	<i>Fusarium oxysporum</i>	✓	-	-	✓	✓	
28		BCC17978	<i>Paecilomyces farinosus</i>	✓	-	-	✓	-	

ตารางที่ 15 (ต่อ)

No.	Group No.	Code	Microorganism	PCR detection		Aib detection	Antibacterial assay	
				nrps gene	Aib module		B. cereus <sup>a</sup>	C. albicans <sup>b</sup>
29		BCC4913	<i>Acremonium polychromum</i>	✓	-	-	-	-
30		BCC4870	<i>Acremonium roscolom</i>	✓	-	-	-	-
31		BCC5763	<i>Acremonium strictum</i>	✓	-	-	-	-
32		BCC17957	<i>Paecilomyces carneus</i>	✓	-	-	-	-
33		BCC2107	<i>Paecilomyces cinnamomeus</i>	✓	-	-	-	-
34		BCC17980	<i>Paecilomyces javanicus</i>	✓	-	-	-	-
35		BCC107	<i>Paecilomyces marquandii</i>	✓	-	-	-	-
36		BCC108	<i>Paecilomyces marquandii</i>	✓	-	-	-	-
37	IV	BCC17467	<i>Paecilomyces</i> sp.	✓	-	-	-	-
38		BCC18241	<i>Paecilomyces</i> sp.	✓	✓	-	-	-
39		BCC17535	<i>Paecilomyces variotii</i>	✓	✓	-	-	-
40		BCC17797	<i>Paecilomyces variotii</i>	✓	-	-	-	-
41		BCC19994	<i>Paraconiothyrium estuarinum</i>	✓	-	-	-	-
42		BCC4985	<i>Stilbella fimetaria</i>	✓	-	-	-	-
43		BCC8283	<i>Stilbella</i> sp.	✓	-	-	-	-
44		KU 87	<i>Trichoderma asperellum</i>	✓	✓	-	-	-
45		BCC13402	<i>Trichoderma velutinum</i>	✓	-	-	-	-
46		BCC4744	<i>Verticillium luteo-album</i>	✓	✓	-	-	-
47	V	BCC4653	<i>Stilbella annulata</i>	-	-	-	-	✓
48		BCC7545	<i>Stilbella</i> sp.	-	-	-	-	✓
49		BCC242	<i>Acremonium polychromum</i>	-	-	-	-	-
50		BCC9257	<i>Acremonium</i> sp.	-	-	-	-	-
51		BCC5978	<i>Acremonium</i> sp.	-	-	-	-	-
52		BCC18314	<i>Acremonium</i> sp.	-	-	-	-	-
53	VI	BCC4916	<i>Stilbella annulata</i>	-	-	-	-	-
54		BCC3903	<i>Stilbella emericellopsis</i>	-	-	-	-	-
55		BCC12353	<i>Stilbella holubovae</i>	-	-	-	-	-
56		BCC4742	<i>Stilbella</i> sp.	-	-	-	-	-
57		BCC17183	<i>Talaromyces stipitatus</i>	-	-	-	-	-

หมายเหตุ <sup>a</sup> การทดสอบการขับถ่ายเชื้อแบคทีเรียแกรมบวก *B. cereus* ATCC 11778 (ตารางผนวกที่ ข2)

<sup>b</sup> การทดสอบการขับถ่ายเชื้อยีสต์ *C. albicans* ATCC 90028 (ตารางผนวกที่ ข4)

จากการคัดกรองเชื้อรากจำนวน 57 สายพันธุ์ พบว่าเทคนิคพีซีอาร์และไพร์เมอร์จำเพาะสามารถตรวจสอบยืนยัน *nrps* โดยไพร์เมอร์ C2F&C5R และ/หรือ C4F&C6R ได้ทั้งหมด 78.95 % และในจำนวนนี้มีการพบยืนยันที่เกี่ยวข้องกับ Aib module โดยไพร์เมอร์ C2F&AibR เท่ากับ 46.67 % โดยในกลุ่มนี้จะเป็นจินนัส *Trichoderma* และ *Hypocrea* 80.95 % ซึ่งคาดว่าเนื่องจากไพร์เมอร์ AibR ออกแบบจากจินนัส *Trichoderma* 2 สายพันธุ์เท่านั้น จึงทำให้มีผลจำเพาะที่จินนัสทั้ง 2 ซึ่ง

เป็น anamorphic – telomorphic type ซึ่งกันและกัน นอกจากนี้ในเชื้อทั้งหมด พบรเชื้อที่คาดว่า ผลิตเป็นปีโป้ได้ในโอดิกส์ 42.11 % (มีกรดอะมิโน Aib จากการวิเคราะห์ TLC) โดยในกลุ่มนี้ ทั้งหมดจะมียีน *nrops* และ/หรือยีนที่เกี่ยวข้องกับ Aib module 100 % จะเห็นได้ว่าการคัดกรอง เชื้อที่ผลิตเป็นปีโป้ไทยใบโอดิกส์ด้วยเทคนิคพีซีอาร์และไพร์เมอร์ที่จำเพาะเพียงขั้นตอนเดียวจะช่วยมีประสิทธิภาพไม่เพียงพอ เพราะเชื้อที่พบยังมีมากกว่าเชื้อที่ผลิตเป็นปีโป้ไทยใบโอดิกส์ได้จริง 1.87 เท่า ดังนั้นการพบยีนที่ศึกษาเกิดขึ้นได้ยากกว่าการพบเชื้อที่ผลิตเป็นปีโป้ไทยใบโอดิกส์ได้จริง และอาจบอกได้ว่าเทคนิคพีซีอาร์กับไพร์เมอร์มีความจำเพาะน้อยกว่าเทคนิคอื่นที่ใช้ในการศึกษานี้ แต่มีความรวดเร็ว สะดวกและสามารถทำพร้อมกันหลายตัวอย่าง ได้ดีกว่าเทคนิคอื่นๆ แต่อย่างไรก็ตามเทคนิคพีซีอาร์และไพร์เมอร์จำเพาะสามารถใช้เป็นการคัดกรองเบื้องต้นได้ โดยช่วยลดจำนวนตัวอย่างหรือเชื้อทดสอบเพื่อนำไปคัดกรองด้วยเทคนิคอื่นๆ ในลำดับต่อไป และจากเทคนิคทั้งหมดที่ใช้ในการคัดกรอง ได้แก่ การตรวจสอบยีน การตรวจสอบกรดอะมิโน Aib และการทดสอบกิจกรรมทางชีวภาพ ทำให้สามารถจำแนกกลุ่มเชื้อที่สามารถผลิตเป็นปีโป้ไทยใบโอดิกส์ออกจากเชื้ออื่นๆ คือ กลุ่มที่ I ซึ่งการทดสอบดังกล่าว สามารถคัดกรองเชื้อราสายพันธุ์ที่ไม่มีรายงานและคาดว่าจะเป็นแหล่งผลิต เป็นปีโป้ไทยใบโอดิกส์ใหม่ ได้แก่ *Clonostachys rogersoniana* BCC4862 และ *Mariannaea campylospora* BCC12193 ซึ่งเป็นเชื้อที่นำสู่ ATCC 11778 และ *C. albicans* ATCC 90028 อีกทั้งสารสกัดของเชื้อราทั้ง 2 สายพันธุ์ มีกรดอะมิโน Aib ประกอบอยู่ด้วย ซึ่งอาจพบการผลิตเป็นปีโป้ไทยใบโอดิกส์ชนิดใหม่ที่ควรศึกษาในลำดับต่อไป

### 3. การศึกษาความจำเพาะของไพร์เมอร์ C2F&C5R

การคัดกรองเชื้อราด้วยการทำพีซีอาร์กับไพร์เมอร์ C2F&C5R ซึ่งคาดว่าจะสามารถระบุถึงยีน *nrops* โดยเฉพาะส่วนที่เป็นโอดิเมน A จากจีโนมของเชื้อราได้ พบว่าไพร์เมอร์คุณ์สามารถคัดกรองเชื้อราได้หลายจีนสและคิดเป็น 78.95 % ของเชื้อที่ทดสอบ 57 สายพันธุ์ และการศึกษานี้เพื่อทดสอบไพร์เมอร์ดังกล่าวว่าสามารถทำพีซีอาร์แล้วได้ผลิตภัณฑ์บางส่วนของยีน *nrops* จากเชื้อราสายพันธุ์อื่นๆ นอกจาก *Trichoderma* และ *Hypocrea* หรือไม่ โดยเชื้อที่ทดสอบนอกจาก 2 จีนัส ดังกล่าว之外 ได้แก่ *Acremonium*, *Bionectria*, *Clonostachys* และ *Paecilomyces* นำมาทำพีซีอาร์กับไพร์เมอร์ C2F&C5R โคลนชิ้นยีนและหาลำดับนิวคลีโอไทด์ (sequencing) จากนั้นแปลงรหัสในเฟรมที่ถูกต้องจะได้ลำดับกรดอะมิโนประมาณ 270 เรซิวัวร์ นำมาวิเคราะห์ด้วยโปรแกรม Blastp (protein blast) ที่เว็บไซต์ <http://www.ncbi.nlm.nih.gov/blast/Blast.cgi> และผลการวิเคราะห์ดังในตารางที่ 16 โดยเรียง 5 ลำดับแรกที่มีความใกล้เคียงกับลำดับกรดอะมิโนของ

โคลนเชื้อตัวอย่าง พบร่วมกับโคลนของเชื้อ *Acremonium murorum* BCC5762 *Bionectria pityrodes* BCC4293 *Clonostachys rogersiana* BCC4862 และ *Trichoderma asperellum* BCC12530 มีความคล้ายกับเอนไซม์ ACV synthetase, cyclosporine synthetase, peptide synthetase และ non-ribosomal peptide synthetase ซึ่งทั้งหมดเกี่ยวข้องกับเอนไซม์ NRPS โดยบางโคลนเหมือนกับเอนไซม์ bassianolide synthetase ซึ่งเป็นเอนไซม์ PKS-NRPS hybrid (Jirakkakul et. al., 2008) โดยมากแล้วเอนไซม์ดังกล่าวจะมีโดเมน A และ T ประกอบอยู่ด้วย และบางโคลนมีความเหมือนกับ aerothrinin synthetase ที่เกี่ยวข้องกับการผลิต aerothrinin ซึ่งเป็นสารปฏิชีวนะแบบ cyclic peptide (Kohchi et. al., 2005) ด้วย สำหรับเชื้อ *Paecilomyces variotii* BCC17535 มีลำดับกรดอะมิโนต่างจากกลุ่มเอนไซม์ NRPS มากที่สุด โดยมีความคล้ายกับ polyketide synthase (PKS) และ fusarin synthetase ซึ่ง fusarin เป็นสารปฏิชีวนะจากเอนไซม์ PKS-NRPS hybrid เช่นกัน (Gaffoor et. al., 2005) นอกจากนี้มีบางโคลนที่คล้ายกับเอนไซม์ alpha-amino adipate reductase ซึ่งเป็นเอนไซม์ที่อยู่ในกระบวนการสังเคราะห์กรดอะมิโน L-Lys ในเชื้อรา (Zu et. al., 2006) โดยจะมีหน้าที่ทำปฏิกิริยา 2 ชนิดคือ adenylation และ reduction จะเห็นว่ามีความใกล้เคียงกับหน้าที่ของโดเมน A ในเอนไซม์ NRPS ดังนั้นลำดับของกรดอะมิโนอาจมีความคล้ายคลึงกันได้

จากการศึกษาสามารถบอกรายงานที่ว่าเชื้อราก็สามารถใช้เชื้อรากินสัตว์ฯ ที่ทำพิธีอาร์โดยไฟร์เมอร์ C2F&C5R มีลำดับกรดอะมิโนเป็นกลุ่มยืน *nmps* ซึ่งเกี่ยวข้องกับเอนไซม์ NRPSs โดยเชื้อเหล่านี้เป็นจินส์ที่ค่อนข้างพบน้อยกว่าเป็นแหล่งผลิตสารกลุ่มนี้ในประเทศไทย ได้แก่ *Bionectria* และ *Clonostachy* ส่วนเชื้อ *Trichoderma*, *Acremonium* และ *Paecilomyces* เป็นแหล่งผลิตเป็นใหญ่ในอเมริกาและยุโรป และควรมียืนที่เกี่ยวข้องกับการผลิต ดังนั้นอาจกล่าวได้ว่าไฟร์เมอร์ C2F&C5R สามารถใช้เป็นuniversal primers ในการคัดกรองจีโนมคีเอ็นเอของเชื้อรากินสัตว์ฯ ที่มีส่วนเกี่ยวข้องกับเอนไซม์ในกลุ่ม NRPSs หรือมียืน *nmps* ได้อย่างชัดเจน

ตารางที่ 16 การศึกษาโคลนจากไพร์เมอร์ C2F&C5R โดยโปรแกรม Blastp version 2.2.18+ วันที่ 8 สิงหาคม 2551

Microorganism	No. of clones	Blastp				
		NCBI code	Enzyme	Microorganism	Score (Bits)	E Value
<i>Acremonium murorum</i> BCC5762	28	gb AAM78457.1	nonribosomal peptide synthetase; NRPS	<i>Hypocrea virens</i>	<a href="#">353</a>	1e-95
		emb CAH05060.1	peptide synthetase	<i>Trichoderma longibrachiatum</i>	<a href="#">330</a>	1e-88
		<a href="#">emb CAH05059.1 </a>	peptide synthetase	<i>Trichoderma longibrachiatum</i>	<a href="#">288</a>	2e-76
		<a href="#">emb CAH05061.1 </a>	peptide synthetase	<i>Trichoderma asperellum</i>	<a href="#">288</a>	3e-76
		<a href="#">emb CAH05065.1 </a>	peptide synthetase	<i>Trichoderma longibrachiatum</i>	<a href="#">283</a>	9e-75
	36	dbj BAG16424.1	hypothetical aerothrinic synthetase 1	fungal sp. NR7379	<a href="#">397</a>	4e-109
		<a href="#">gb AAM78457.1 </a>	nonribosomal peptide synthetase; NRPS	<i>Hypocrea virens</i>	<a href="#">388</a>	2e-106
		<a href="#">gb AAR98915.1 </a>	peptide synthetase	<i>Trichoderma asperellum</i>	<a href="#">376</a>	1e-102
		ref XP_001262581.1	nonribosomal peptide synthase	<i>Neosartorya fischeri</i>	372	1e-101
		<a href="#">emb CAH05067.1 </a>	peptide synthetase	<i>Trichoderma asperellum</i>	<a href="#">352</a>	2e-95
	49	<a href="#">emb CAA61605.1 </a>	peptide synthetase	<i>Metarhizium anisopliae</i>	310	1e-82
		ref XP_001804295.1	hypothetical protein SNOG_14098	<i>Phaeosphaeria nodorum</i>	<a href="#">287</a>	5e-76
		ref XP_001273105.1	nonribosomal peptide synthase	<i>Aspergillus clavatus</i>	281	5e-74
		<a href="#">ref XP_001825738.1 </a>	hypothetical protein	<i>Aspergillus oryzae</i>	<a href="#">279</a>	2e-73
		<a href="#">ref XP_001390682.1 </a>	unnamed protein product	<i>Apergillus niger</i>	<a href="#">278</a>	3e-73
	58	dbj BAG16424.1	hypothetical aerothrinic synthetase 1	fungal sp. NR7379	<a href="#">322</a>	2e-86
		<a href="#">ref XP_001262581.1 </a>	nonribosomal peptide synthase	<i>Neosartorya fischeri</i>	312	2e-83
		<a href="#">gb AAM78457.1 </a>	nonribosomal peptide synthetase; NRPS	<i>Hypocrea virens</i>	306	1e-81
		<a href="#">gb AAR98915.1 </a>	peptide synthetase	<i>Trichoderma asperellum</i>	<a href="#">298</a>	4e-79
		gb AAX59996.1	non-ribosomal peptide synthetase	<i>Hypocrea virens</i>	<a href="#">291</a>	3e-77

ตารางที่ 16 (ต่อ)

Microorganism	No. of clones	Blastp				
		NCBI code	Enzyme	Microorganism	Score (Bits)	E Value
<i>Bionectria pityrodes</i> BCC4293	16	gb AAK21902.1 AF335329_1	alpha-aminoacidyl-cysteinyl-valine synthetase	<i>Kallichroma tethys</i>	<a href="#">528</a>	1e-148
		sp P25464 ACVS_CEPAC	ACV synthetase	<i>Acremonium chrysogenum</i>	492	1e-137
		<a href="#">gb AAA03914.1 </a>	ACV synthetase	<i>Emericella nidulans</i>	<a href="#">477</a>	5e-133
		ref XP_660225.1	ACV synthetase	<i>Aspergillus nidulans</i>	<a href="#">476</a>	6e-133
		sp P27742 ACVS_EMENI	ACV synthetase	<i>Emericella nidulans</i>	476	6e-133
	20	<a href="#">emb CAA82227.1 </a>	cyclosporine synthetase	<i>Tolypocladium inflatum</i>	<a href="#">351</a>	4e-95
		<a href="#">gb ABR28366.2 </a>	bassianolide synthetase	<i>Xylaria sp. BCC 1067</i>	<a href="#">351</a>	4e-95
		ref XP_001396439.1	hypothetical protein An13g03040	<i>Aspergillus niger</i>	<a href="#">345</a>	2e-93
		gb AAX09985.1	nonribosomal peptide synthetase 3	<i>Cochliobolus heterostrophus</i>	323	7e-87
		gb AAX09983.1	nonribosomal peptide synthetase 1	<i>Cochliobolus heterostrophus</i>	321	3e-86
	34	ref XP_001912726.1	unnamed protein product	<i>Podospora anserina</i>	265	3e-69
		ref XP_001210411.1	hypothetical protein ATEG_00325	<i>Aspergillus terreus</i>	<a href="#">244</a>	4e-63
		ref XP_001258701.1	hybrid NRPS/PKS enzyme	<i>Neosartorya fischeri</i>	<a href="#">233</a>	9e-60
		ref XP_001392496.1	hypothetical protein An08g03790	<i>Aspergillus niger</i>	225	2e-57
		<a href="#">ref XP_001826816.1 </a>	hypothetical protein	<i>Aspergillus oryzae</i>	224	4e-57
	62	<a href="#">ref XP_001396439.1 </a>	hypothetical protein An13g03040	<i>Aspergillus niger</i>	<a href="#">317</a>	6e-85
		<a href="#">emb CAA82227.1 </a>	cyclosporine synthetase	<i>Tolypocladium inflatum</i>	315	2e-84
		<a href="#">gb ABR28366.2 </a>	bassianolide synthetase	<i>Xylaria sp. BCC 1067</i>	<a href="#">299</a>	2e-79
		<a href="#">gb AAX09985.1 </a>	nonribosomal peptide synthetase 3	<i>Cochliobolus heterostrophus</i>	<a href="#">299</a>	2e-79
		gb AAX63399.1	non-ribosomal peptide synthetase	<i>Hypocreah virens</i>	<a href="#">290</a>	8e-77

ตารางที่ 16 (ต่อ)

Microorganism	No. of clones	Blastp			Score (Bits)	E Value
		NCBI code	Enzyme	Microorganism		
<i>Clonostachys rogersiana</i> BCC4862	3	<a href="#">gb AAM78457.1 </a>	nonribosomal peptide synthetase; NRPS	<i>Hypocrea virens</i>	321	3e-86
		<a href="#">emb CAH05067.1 </a>	peptide synthetase	<i>Trichoderma asperellum</i>	314	4e-84
		<a href="#">gb AAR98915.1 </a>	peptide synthetase	<i>Trichoderma asperellum</i>	312	2e-83
		<a href="#">dbj BAG16424.1 </a>	hypothetical aerothricin synthetase 1	fungal sp. NR7379	<a href="#">305</a>	3e-81
		<a href="#">ref XP_001262581.1 </a>	nonribosomal peptide synthase, putative	<i>Neosartorya fischeri</i>	292	2e-77
	27	<a href="#">ref XP_382491.1 </a>	hypothetical protein FG02315.1	<i>Gibberella zeae</i>	423	7e-117
		<a href="#">ref XP_001240129.1 </a>	hypothetical protein CIMG_09750	<i>Coccidioides immitis</i>	<a href="#">328</a>	4e-88
		<a href="#">gb AAP78735.1 </a>	nonribosomal peptide synthase	<i>Alternaria brassicae</i>	<a href="#">323</a>	1e-86
		<a href="#">ref XP_001805009.1 </a>	hypothetical protein SNOG_14834	<i>Phaeosphaeria nodorum</i>	321	5e-86
		<a href="#">gb AAX09986.1 </a>	nonribosomal peptide synthetase 4	<i>Cochliobolus heterostrophus</i>	312	1e-83
<i>Paecilomyces variotii</i> BCC17535	59	<a href="#">dbj BAG16424.1 </a>	hypothetical aerothricin synthetase 1	fungal sp. NR7379	<a href="#">292</a>	2e-77
		<a href="#">gb AAM78457.1 </a>	nonribosomal peptide synthetase; NRPS	<i>Hypocrea virens</i>	<a href="#">289</a>	1e-76
		<a href="#">gb AAR98915.1 </a>	peptide synthetase	<i>Trichoderma asperellum</i>	289	1e-76
		<a href="#">ref XP_001262581.1 </a>	nonribosomal peptide synthase, putative	<i>Neosartorya fischeri</i>	<a href="#">283</a>	1e-74
		<a href="#">emb CAI38799.1 </a>	peptide synthetase	<i>Hypocrea lixii</i>	<a href="#">278</a>	3e-73
	202	<a href="#">ref XP_001394029.1 </a>	hypothetical protein An11g00250	<i>Aspergillus niger</i>	<a href="#">380</a>	9e-104
		<a href="#">ref XP_001398521.1 </a>	hypothetical protein An18g00520	<i>Aspergillus niger</i>	349	1e-94
		<a href="#">ref XP_001258701.1 </a>	hybrid NRPS/PKS enzyme, putative	<i>Neosartorya fischeri</i>	<a href="#">197</a>	9e-49
		<a href="#">gb AAR92217.1 </a>	polyketide synthase	<i>Gibberella moniliformis</i>	<a href="#">194</a>	9e-48
		<a href="#">gb AAT28740.1 </a>	fusarin synthetase; FUSS	<i>Gibberella fujikuroi</i>	<a href="#">193</a>	9e-48
205	<a href="#">ref XP_001266925.1 </a>	alpha-amino adipate reductase large subunit, putative	<i>Neosartorya fischeri</i>	<a href="#">511</a>	2e-143	
		<a href="#">ref XP_751705.1 </a>	alpha-amino adipate reductase large subunit	<i>Aspergillus fumigatus</i>	511	2e-143
	<a href="#">ref XP_001820194.1 </a>	hypothetical protein	<i>Aspergillus oryzae</i>	<a href="#">511</a>	2e-143	
	<a href="#">ref XP_001271987.1 </a>	alpha-amino adipate reductase large subunit	<i>Aspergillus clavatus</i>	<a href="#">509</a>	9e-143	
	<a href="#">ref XP_001213135.1 </a>	L-amino adipate-semialdehyde dehydrogenase large subunit	<i>Aspergillus terreus</i>	<a href="#">506</a>	9e-142	

ตารางที่ 16 (ต่อ)

Microorganism	No. of clones	Blastp				
		NCBI code	Enzyme	Microorganism	Score (Bits)	E Value
<i>Trichoderma asperellum</i> BCC12530	22	<a href="#">gb AAR98915.1 </a>	peptide synthetase	<i>Trichoderma asperellum</i>	540	3e-152
		<a href="#">gb AAM78457.1 </a>	nonribosomal peptide synthetase; NRPS	<i>Hypocrea virens</i>	<a href="#">488</a>	2e-136
		<a href="#">gb AAX59995.1 </a>	non-ribosomal peptide synthetase	<i>Hypocrea virens</i>	428	2e-118
		<a href="#">dbj BAG16424.1 </a>	hypothetical aerothrinic synthetase 1	fungal sp. NR7379	<a href="#">420</a>	5e-116
		<a href="#">ref XP_001262581.1 </a>	nonribosomal peptide synthase, putative	<i>Neosartorya fischeri</i>	<a href="#">389</a>	2e-106
	26	<a href="#">gb AAG24639.4 </a>	peptide synthetase	<i>Trichoderma asperellum</i>	<a href="#">527</a>	3e-148
		<a href="#">emb CAI38799.1 </a>	peptide synthetase	<i>Hypocrea lixii</i>	280	7e-74
		<a href="#">dbj BAG16424.1 </a>	hypothetical aerothrinic synthetase 1	fungal sp. NR7379	273	8e-72
		<a href="#">gb AAK16599.1 AF351825_1</a>	peptide synthetase 1	<i>Hypocrea virens</i>	<a href="#">273</a>	9e-72
		<a href="#">gb AAM78457.1 </a>	nonribosomal peptide synthetase; NRPS	<i>Hypocrea virens</i>	272	2e-71
	51	<a href="#">gb AAR98915.1 </a>	peptide synthetase	<i>Trichoderma asperellum</i>	527	4e-148
		<a href="#">gb AAM78457.1 </a>	nonribosomal peptide synthetase; NRPS	<i>Hypocrea virens</i>	<a href="#">475</a>	1e-132
		<a href="#">gb AAX59995.1 </a>	non-ribosomal peptide synthetase	<i>Hypocrea virens</i>	421	3e-116
		<a href="#">dbj BAG16424.1 </a>	hypothetical aerothrinic synthetase 1	fungal sp. NR7379	<a href="#">410</a>	7e-113
		<a href="#">ref XP_001262581.1 </a>	nonribosomal peptide synthase, putative	<i>Neosartorya fischeri</i>	<a href="#">381</a>	3e-104
	73	<a href="#">gb AAG24639.4 </a>	peptide synthetase	<i>Trichoderma asperellum</i>	525	1e-147
		<a href="#">emb CAI38799.1 </a>	peptide synthetase	<i>Hypocrea lixii</i>	<a href="#">280</a>	8e-74
		<a href="#">gb AAK16599.1 AF351825_1</a>	peptide synthetase 1	<i>Hypocrea virens</i>	<a href="#">273</a>	9e-72
		<a href="#">gb AAX59996.1 </a>	non-ribosomal peptide synthetase	<i>Hypocrea virens</i>	<a href="#">273</a>	2e-71
		<a href="#">gb AAM78457.1 </a>	nonribosomal peptide synthetase; NRPS	<i>Hypocrea virens</i>	<a href="#">272</a>	2e-71

#### 4. การศึกษาลำดับสัญลักษณ์และลำดับกรดอะมิโน

การคัดกรองเชื้อราโดยการทำพีซีอาร์กับไพร์เมอร์ C2F&AibR เพื่อตรวจสอบ Aib module พบว่าเชื้อส่วนใหญ่ที่มีขนาดผลิตภัณฑ์พีซีอาร์ที่ต้องการคือจีนัส *Trichoderma* และ *Hypocrea* อาจมีสาเหตุมาจากไพร์เมอร์ AibR ออกแบบจากเชื้อ *Trichoderma* 2 สายพันธุ์ (gap ผ่านวากที่ ก2) เท่านั้น เป็นผลให้ไพร์เมอร์ไม่จำเพาะกับเชื้อจีนัสอื่น ๆ และจากการศึกษาในหัวข้อนี้เพื่อตรวจสอบว่าผลิตภัณฑ์พีซีอาร์จากไพร์เมอร์ C2F&AibR ที่ได้มีความเกี่ยวข้องกับ Aib module โดยคัดเลือกตัวอย่างเชื้อรา ได้แก่ *T. asperellum* BCC12530 และ *H. lixii* BCC488 มาหาลำดับกรดอะมิโนและลำดับสัญลักษณ์ (ตารางที่ 17) ลำดับสัญลักษณ์จะอยู่บริเวณอนุรักษ์ A4 – A5 บนโอดเมน A โดยเริ่มนับที่เรซิวาร์ D ซึ่งเป็นเรซิวาร์ที่ 235 ของโอดเมน A ในโมดูล phenylalanine ของเอนไซม์ GrsA ซึ่งนับเป็นกรดอะมิโนสัญลักษณ์ตำแหน่งที่ 1 (Stachelhaus and Marahiel, 1995) ลำดับสัญลักษณ์ในการศึกษานี้มีทั้งหมด 9 เรซิวาร์ในตำแหน่งดังนี้ 235, 236, 239, 278, 299, 301, 322, 330 และ 331

การศึกษาโคลนของตัวอย่างเชื้อรา *T. asperellum* BCC12530 และ *H. lixii* BCC488 และลำดับสัญลักษณ์เปรียบเทียบกับยีน *tex1* ของเชื้อ *T. virens* (Wiest *et al.*, 2002) พบว่า *T. asperellum* BCC12530 จำนวนทั้งหมด 4 โคลนมีลำดับสัญลักษณ์เหมือน Aib module ส่วน *H. lixii* BCC488 มี 2 โคลนเท่านั้น โดยโคลนที่ได้ลำดับสัญลักษณ์ของ Aib module จะมี % identity กับยีน *tex1* มากกว่า 70 % ส่วนโคลนอื่น ๆ ของ *H. lixii* BCC488 พบว่าโคลนที่ 4 มีลำดับสัญลักษณ์ตรงกับโมดูลของกรดอะมิโน Leu หรือ Val ในยีน *tex1* และโคลนที่ 27 นั้นไม่ตรงกับลำดับสัญลักษณ์ของโมดูลใด ๆ ในยีน *tex1* รวมทั้งยีนอื่น ๆ ที่มีรายงานมาก่อน

ดังนั้นจากการวิเคราะห์โคลนทั้งหมด 8 โคลนจากเชื้อ 2 สายพันธุ์ โดยทำพีซีอาร์กับไพร์เมอร์ C2F&AibR พบว่าเป็น Aib module จำนวน 6 โคลนหรือคิดเป็น 75.0 % จะเห็นได้ว่าไพร์เมอร์ C2F&AibR สามารถคัดกรองเชื้อราในจีนัส *Trichoderma* และ *Hypocrea* โดยการระบุว่ามี Aib module ที่เป็นส่วนของเอนไซม์ที่สำคัญต่อการผลิตเป้าไปที่ใบโอดิกส์ได้

ตารางที่ 17 ลำดับสัญลักษณ์ของเชื้อ *T. asperellum* BCC12530 และ *H. lixii* BCC488 จากลำดับกรดอะมิโนที่ได้จากการทำพีซีอาร์กับไพร์เมอร์ C2F&AibR

Strains	Clone No.	Module; M (% Identity)	Amino acid specificity of module	Signature sequence position <sup>a</sup>								
				235	236	239	278	299	301	322	330	331
<i>T. asperellum</i>	BCC12530_1	M1 (90%), M12 (90%), M15 (80%)	Aib	D	L	G	Y	L	A	G	V	F
	BCC12530_8	M15 (70%), M16 (70%)	Aib	D	L	G	F	L	A	G	V	F
	BCC12530_27	M1 (90%), M12 (90%), M15 (80%)	Aib	D	L	G	Y	L	A	G	V	F
	BCC12530_36	M1 (70%), M12 (70%)	Aib	D	V	G	Y	L	V	G	V	F
<i>H. lixii</i>	BCC488_4	M14 (70%)	Leu/Val	D	A	A	L	I	V	G	V	F
	BCC488_8	M1 (90%), M12 (90%), M15 (80%)	Aib	D	L	G	Y	L	A	G	V	F
	BCC488_27	-	unknown	D	M	G	W	I	A	G	V	F
	BCC488_39	M15 (70%), M16 (70%)	Aib	D	L	G	F	L	A	G	X	D
<i>T. virens</i> <sup>b</sup>	<i>tex1</i> _module 1		Aib	D	L	G	Y	L	A	G	V	F
	<i>tex1</i> _module 5		Aib/Ala	D	L	G	W	L	C	G	V	F
	<i>tex1</i> _module 9		Aib	D	L	G	Y	L	A	G	C	F
	<i>tex1</i> _module 12	Aib Modules of <i>tex1</i> gene	Aib	D	L	G	Y	L	A	G	V	F
	<i>tex1</i> _module 15		Aib	D	L	G	F	L	A	G	V	F
	<i>tex1</i> _module 16		Aib	D	L	G	F	L	A	G	L	F
	<i>tex1</i> _module 2		Gln	D	I	G	M	V	V	G	V	I
	<i>tex1</i> _module 3		Ala	D	V	G	F	V	A	G	V	L
	<i>tex1</i> _module 4		Val	D	M	G	F	L	G	G	V	C
	<i>tex1</i> _module 6	Other Modules of <i>tex1</i> gene	Gln	D	G	G	M	V	G	G	N	Y
	<i>tex1</i> _module 7		Iva/Aib	D	C	G	W	V	V	G	V	V
	<i>tex1</i> _module 8		Ala	D	I	F	V	V	A	G	V	I
	<i>tex1</i> _module 10		Ser	D	V	G	Y	L	A	A	V	Y
	<i>tex1</i> _module 11		Leu	D	F	L	Y	F	G	G	V	V
	<i>tex1</i> _module 13		Pro	D	V	L	F	C	G	L	I	C
	<i>tex1</i> _module 14		Leu/Val	D	A	A	L	I	G	A	V	F
	<i>tex1</i> _module 17		Gln	D	G	G	M	V	G	G	N	Y
	<i>tex1</i> _module 18		Val-OH	D	A	I	I	I	V	G	V	T

หมายเหตุ <sup>a</sup>ใช้โปรแกรมจาก <http://www-ab.informatik.uni-tuebingen.de/software/NRPSpredictor> (Rausch, et. al., 2005)

<sup>b</sup> จากการศึกษาของ Wiest, et. al. (2002)

## สรุป

การศึกษานี้มีเป้าหมายที่จะศึกษาความสามารถในการผลิตต่อต้านเชื้อราที่สังเคราะห์เป็นไทด์ในโอดิกส์โดยเทคนิคทางชีวโมเลกุล คือ การทำพิชีอาร์กับไพร์เมอร์จำเพาะจำนวน 3 คู่ ดังกล่าวมาแล้ว เทียบกับเทคนิคทางเคมี คือ การวิเคราะห์กรดอะมิโน Aib ด้วย TLC และ HPLC มีกิจกรรมการยับยั้ง *B. cereus* ATCC 11778 การตรวจสอบด้วยเทคนิค MALDI – TOF และ LC – ESI/MS พบร่วมกับ *nrps* ที่มีรายงานมาก่อน แบบ doubly charge  $[M+2H]^{2+}$  และคำนวนมวล mono – isotopic mass ได้เท่ากับ 1690.11 1704.13 1705.11 และ 1719.14 Da ซึ่งตรงกับมวลของ trichotoxins ที่มีรายงานมาก่อน

การทดสอบคัดกรองเชื้อราที่สังเคราะห์เป็นไทด์ในโอดิกส์โดยเทคนิคทางชีวโมเลกุล คือ การทำพิชีอาร์กับไพร์เมอร์จำเพาะจำนวน 3 คู่ ดังกล่าวมาแล้ว เทียบกับเทคนิคทางเคมี คือ การวิเคราะห์กรดอะมิโน Aib ด้วย TLC และการทดสอบกิจกรรมการยับยั้งเชื้อแบคทีเรีย ได้แก่ *B. cereus* ATCC 11778 *E. coli* ATCC 25922 และ *Candida albicans* ATCC 90028 ด้วยเทคนิค microdilution method ในระดับ 96 well plate พบร่วมกับการทดสอบเชื้อราที่ต้องการทราบจำนวน 57 สายพันธุ์เป็นกลุ่มต่างๆ ได้ 6 กลุ่ม โดยเฉพาะเชื้อราที่คาดว่ามีการสังเคราะห์เป็นไทด์ในโอดิกส์ และจากการทดสอบพบเชื้อที่น่าสนใจมีการศึกษาเพิ่มเติมในลำดับต่อไป ได้แก่ *Clonostachys rogersiana* BCC4862 และ *Mariannaea campylospora* BCC12193 แต่อย่างไรก็ตามการใช้เทคนิคพิชีอาร์กับไพร์เมอร์เพื่อคัดกรองเชื้อที่ผลิตเป็นไทด์ในโอดิกส์ อาจใช้ได้ในระดับเบื้องต้น เพื่อคัดประมวลเชื้อที่ใช้คัดกรองในเทคนิคอื่นๆ ลำดับต่อไปเท่านั้น เนื่องจากเชื้อที่ตรวจพบยังมีมากกว่าเชื้อที่ผลิตเป็นไทด์ในโอดิกส์ได้จริง 1.87 เท่า ดังนั้นการพบร่วมกับการศึกษาจึงมีโอกาสเกิดขึ้นได้มากกว่าการพบร่วมกับเชื้อที่ผลิตเป็นไทด์ในโอดิกส์ได้จริง และอาจบอกได้ว่าเทคนิคพิชีอาร์กับไพร์เมอร์มีความจำเพาะน้อยกว่าเทคนิคอื่นที่ใช้ในการศึกษานี้ แต่มีความรวดเร็ว สะดวกและสามารถทำพร้อมกันหลายตัวอย่าง ได้ดีกว่าเทคนิคอื่นๆ

การศึกษาลำดับกรดอะมิโนและลำดับสัญลักษณ์จากผลิตภัณฑ์พิชีอาร์กับไพร์เมอร์จำเพาะ C2F&AibR พบร่วมกับการทดสอบเชื้อที่มีรีเซปเตอร์ Aib module ได้เฉพาะเชื้อรากินส์ *Trichoderma* และ *Hypocreales* ซึ่งระบุลำดับสัญลักษณ์ที่เป็น Aib module ได้ 62.5 % และไพร์เมอร์จำเพาะ C2F&C5R เพื่อรับรู้ร่อง *nrps* พบร่วมกับการถ่าน化ใช้คัดกรองเชื้อราได้ในสายพันธุ์ที่ใช้ใน

การศึกษานี้และอาจจะใช้เป็น universal primer ได้ โดยเชื้อLOGYJIN STที่พับผลิตภัณฑ์พีซีอาร์เมื่อทดสอบแล้วมีความใกล้เคียงหรือเป็นยืนในกลุ่ม *nrps* ได้อย่างชัดเจน

จากการศึกษาระบวนการคัดกรองเชื้อราด้วยพีซีอาร์และไฟร์เมอร์จำเพาะ ควบคู่กับการวิเคราะห์กรดอะมิโน Aib ด้วย TLC และการทดสอบกิจกรรมการยับยั้งทางชีวภาพเหล่านี้ คาดว่ามีประสิทธิภาพเพียงพอในการคัดกรองและค้นหาเชื้อราสายพันธุ์ต่าง ๆ ที่มีความสามารถในการผลิตเป็นปี๊ปไไทโอดิกส์ได้ และอาจเป็นโอกาสในการค้นพบเป็นปี๊ปไทด์หรือเป็นปี๊ปไไทโอดิกส์รวมทั้งแหล่งเชื้อราชนิดใหม่ๆ ในขอบเขตที่กว้างขึ้นในลำดับต่อไป

## ເອກສາຣແລະສິ່ງອ້າງອີງ

- Augeven-Bour, I., S. Rebuffat, C. Auvin, C. Goulard, Y. Prigent and B. Bodo. 1997. Harzianin HB I, an 11-residue peptaibol from *Trichoderma harzianum*: Isolation, sequence, solution synthesis and membrane activity. **J. Chem. Soc.** (10): 1587-1594.
- Auvin-Guette, C., S. Rebuffat, Y. Prigent and B. Bodo. 1992. Trichogin A IV, an 11-residue lipopeptaibol from *Trichoderma longibrachiatum*. **J. Am. Chem. Soc.** 114: 2170-2174.
- Bailey, A. M., M. J. Kershaw, B. A. Hunt, I. C. Paterson and A. Keith. 1996. Cloning and sequence analysis of an intron-containing domain from a peptide synthetase-encoding gene of the entomopathogenic fungus *Metarhizium anisopliae*. **Gene.** 173 (2): 195-197.
- Bergmann, S., J. Schumann, K. Scherlach, C. Lange, A. A. Brakhage and C. Hertweck. 2007. Genomics-driven discovery of PKS-NRPS hybrid metabolites from *Aspergillus nidulans*. **Nature Chem. Biol.** 4: 213-217.
- Bok, J. W., D. Noordermeer, S. P. Kale and N. P. Keller. 2006. Secondary metabolic gene cluster silencing in *Aspergillus nidulans*. **Molec. Microbiol.** 61: 1636-1645.
- Brückner, H., G. Jung and M. Przybylski. 1983. Chromatographic and mass spectrometric characterization of the structures of the polypeptide antibiotics samarosporin and stilbellin and identity with emerimicin. **Chromatographia.** 17 (12): 679-685.
- Chikanishi, T., K. Hasumi, T. Harada, N. Kawasaki and A. Endo. 1997. Clonostachin, a novel peptaibol that inhibits platelet aggregation. **J. Antibiot. (Tokyo).** 50 (2): 105-110.

Chitta, R. K. and M. L. Gross, 2004. Electrospray ionization-mass spectrometry and tandem mass spectrometry reveal self-association and metal-ion binding of hydrophobic peptides: A study of the gramicidin dimer. **Biophys. J.** 86: 473-479.

Chugh, J. K. and B. A. Wallace. 2001. Peptaibols: models for ion channels. **Biochem. Soc. Trans.** 29 (Pt 4): 565-70.

Chutrakul, C. and J. F. Peberdy. 2005. Isolation and characterisation of a partial peptide synthetase gene from *Trichoderma asperellum*. **FEMS Microbiol. Lett.** 252: 257-65.

Degenkolb, T., A. Berg, W. Gams, B. Schlegel and U. Grafe. 2003. The occurrence of peptaibols and structurally related peptaibiotics in fungi and their mass spectrometric identification via diagnostic fragment ions. **J. Pept. Sci.** 9 (11-12): 666-678.

Degenkolb, T., T. Grafenhan, A. Berg, H. I. Nirenberg, W. Gams and H. Brückner. 2006. Peptaibiotics: screening for polypeptide antibiotics (peptaibiotics) from plant-protective Trichoderma Species. **Chem. Biodiv.** 3: 593-610.

Degenkolb, T., J. Kirschbaum and H. Brückner. 2007. New Sequences, Constituents, and Producers of Peptaibiotics: An Updated Review. **Chem. Biodiv.** 4: 1051-1067.

Duclohier, H. 2004. Helical kink and channel behaviour: a comparative study with the peptaibols alamethicin, trichotoxin and antiamoebin. **Eur. Biophys. J.** 33: 169-174.

Duclohier, H. 2006. Bilayer lipid composition modulates the activity of dermaseptins, polycationic antimicrobial peptides. **Eur. Biophys. J.** 35: 401-409.

- Duclohier, H., G. M. Alder, C. L. Bashford, H. Brückner, J. K. Chugh and B. A. Wallace. 2004. Conductance studies on trichotoxin\_A50E and implications for channel structure. **Biophys. J.** 87 (3): 1705-1710.
- Eisendle, M., H. Oberegger, I. Zadra and H. Haas. 2003. The siderophore system is essential for viability of *Aspergillus nidulans*: functional analysis of two genes encoding L-ornithine N 5-monoxygenase (sidA) and a non-ribosomal peptide synthetase (sidC). **Molec. Microbiol.** 49 (2): 359-375.
- Epand, R. F., R. M. Epand, V. Monaco, S. Stoia, F. Formaggio, M. Crisma and C. Toniolo. 1999. The antimicrobial peptide trichogin and its interaction with phospholipid membranes. **Eur. J. Biochem.** 266: 1021-1028.
- Finking, R. and M. A. Marahiel. 2004. Biosynthesis of nonribosomal peptides. **Annu. Rev. Microbiol.** 58: 453-88.
- Glenn, A. E., C. W. Bacon, R. Price and R. T. Hanlin. 1996. Molecular phylogeny of acremonium and its taxonomic implications. **Mycologia.** 88 (3): 369-383.
- He, H., J. E. Janso, H. Y. Yang, V. S. Bernan, S. L. Lin and K. Yu. 2006. Culicinin D, an antitumor peptaibol produced by the fungus *Culicinomyces clavisporus*, strain LL-12I252. **J. Nat. Prod.** 69 (5): 736-41.
- Heathcote, J. G. 1968. The analysis by TLC of the amino acids of protein hydrolysates and of biological fluids. **Plant Foods Hum. Nutr.** 16: 85-91.
- Hoffmeister, D. and N. P. Keller. 2007. Natural products of filamentous fungi: enzymes, genes, and their regulation. **Nat. Prod. Rep.** 24: 393-416.
- Ishida, H., Y. Hata, A. Kawato, Y. Abe, M. Sano and M. Machida. 2002. Molecular characterization of the gene (sid2) encoding non-ribosomal peptide synthetase and the clustered genes involved in the ferrichrome biosynthesis of

- Aspergillus oryzae. **EMBL/GenBank/DDBJ databases.** Accession no. BAC78651.
- Jaworski, A. and H. Brückner. 1999. Detection of new sequences of peptaibol antibiotics trichotoxins A-40 by on-line liquid chromatography-electrospray ionization mass spectrometry. **J. Chromatogr. A.** 862 (2): 179-89.
- Jaworski, A. and H. Brückner. 2000. New sequences and new fungal producers of peptaibol antibiotics antiamoebins. **J. Pep. Sci.** 6 (4): 149-167.
- Jirakkakul, J., J. Punya, S. Pongpattanakitshote, P. Paungmoung, N. Vorapreeda, A. Tachaleat, C. Klomnara, M. Tanticharoen and S. Cheevadhanarak. 2008. Identification of the nonribosomal peptide synthetase gene responsible for bassianolide synthesis in wood-decaying fungus *Xylaria* sp. BCC1067. **Microbiology.** 154: 995 - 1006.
- Juliana, F. d. S. D. and E. R. Filho. 2007. Peptaibols of Trichoderma. **Nat. Prod. Rep.** 24: 1128–1141.
- Kibbe, W. A. 2007. OligoCalc: an online oligonucleotide properties calculator. **Nucleic Acids Res.** 35: 43-46.
- Kohchi, M., K. Masubuchi, T. Murata, T. Okada and N. Shimma. 2005. **Aerothricin derivatives.** U.S. Patent 6849709.
- Krasnoff, S. B., R. F. Reategui, M. M. Wagenaar, J. B. Gloer and D. M. Gibson. 2005. Cicadapeptins I and II: new Aib-containing peptide from the entomopathogenic fungus *Cordyceps heteropoda*. **J. Nat. Prod.** 68: 50-55.
- Krause, C., J. Kirschbaum and H. Brückner. 2006. Peptaibomics: an advanced, rapid and selective analysis of peptaibiotics/peptaibols by SPE/LC-ES-MS. **Amino Acids.** 30 (4): 435-43.

- Krause, C., J. Kirschbaum and H. Brückner. 2007. Peptaibiotics: microheterogeneity, dynamics, and sequences of trichobrachins, peptaibiotics from *Trichoderma parceramosum* Bissett (*T. longibrachiatum* Rifai). **Chem. Biodiv.** 4 (6): 1083-1102.
- Leclerc, G., S. Rebiffat, C. Goulard and B. Bodo. 1998. Directed biosynthesis of peptaibol antibiotics in two *Trichoderma* strains I. fermentation and isolation. **J. Antibiot.** 170-177.
- Lee, S. J., W. H. Yeo, B. S. Yun and I. D. Yoo. 1999a. Isolation and sequence analysis of new peptaibol, boletusin, from *Boletus* spp. **J. Pept. Sci.** 5 (8): 374-378.
- Lee, S. J., B. S. Yun, D. H. Cho and I. D. Yoo. 1999b. Tylopeptins A and B, new antibiotic peptides from *Tylopilus neofelleus*. **J. Antibiotics.** 52 (11): 998-1006.
- Lohner, K. and S. E. Blondelle. 2005. Molecular mechanisms of membrane perturbation by antimicrobial peptides and the use of biophysical studies in the design of novel peptide antibiotics. **Comb. Chem. High Throughput Screen.** 8: 241-256.
- Lowry, O. H., N. J. Rosebrough, A. L. Farr, and R. J. Randall. 1951. Protein measurement with the Folin phenol reagent. **J. Biol. Chem.** 193: 265–275.
- Mahon, C. R. and G. Manuselis. 1995. Concepts in antimicrobial therapy. B. Procedures in antimicrobial susceptibility testing. pp. 58-89. In C. R. Mahon and G. Manuselis, eds. **Textbook of diagnostic microbiology**. W.B. Saunders Company, Philadelphia.
- Marahiel, M. A., T. Stachelhaus and H. D. Mootz. 1997. Modular peptide synthetases involved in nonribosomal peptide synthesis. **Chem. Rev.** 97: 2651-2673.

- Mootz, H. D. and M. A. Marahiel. 1997. Biosynthetic systems for nonribosomal peptide antibiotic assembly. **Curr .Opin. Chem. Bio.** 1: 543-551.
- Neuhof, T., R. Dieckmann, I. S. Druzhinina, C. P. Kubicek and H. von Dohren. 2007. Intact-cell MALDI-TOF mass spectrometry analysis of peptaibol formation by the genus Trichoderma/Hypocrea: can molecular phylogeny of species predict peptaibol structures? **Microbiol.** 153 (Pt 10): 3417-3437.
- Oh, S.-U., S.-J. Lee, J.-H. Kim and I.-D. Yoo. 2000. Structural elucidation of new antibiotic peptides, atroviridins A, B and C from *Trichoderma atroviride*. **Tetrahedron Lett.** 41 (1): 61-64.
- Oren, Z. and Y. Shai. 1998. Mode of action of linear amphipathic  $\alpha$ -helical antimicrobial peptides. **Biopolymers.** 47: 451-463.
- Peery, R. B., S. J. Thornewell, M. B. Tobin and P. L. Skatrud. 1997. Discovery of an MDR-like gene adjacent to a peptide synthetase in *Aureobasidium pullulans*. **EMBL/GenBank/DDBJ databases.** Accession no. AAD00581.
- Pocsfalvi, G., A. Ritieni, P. Ferranti, G. Randazzo, K. Vekey and A. Malorni. 1997. Microheterogeneity characterization of a paracelsin mixture from *Trichoderma reesei* using high-energy collision-induced dissociation tandem mass spectrometry. **Rapid Commun. Mass Spectrom.** 11 (8): 922-930.
- Poirier, L., J.-C. Amiard, F. Mondeguer, F. Quiniou, N. Ruiz, Y. F. Pouchus and M. Montagu. 2007. Determination of peptaibol trace amounts in marine sediments by liquid chromatography/electrospray ionization-ion trap-mass spectrometry. **J. Chromatogr. A.** 1160 (1-2): 106-113.
- Price, P. 1991. Standard definitions of terms relating to mass spectrometry. **J. Am. Soc. Mass Spectrom.** 2: 336-348.

- Raab, J., K. Erkelens, A. Ogrel, D.,A.,Skladnev and H.Brückner 2005. Fungal biosynthesis of non-ribosomal peptide antibiotics and  $\alpha$ ,  $\alpha$ -dialkylated amino acid constituents. **J. Pept. Sci.** 11(6): 331-338.
- Raeder, U. and P. Broda. 1985. Preparation of DNA from filamentous fungi. **Lett. Appl. Microbiol.** 1: 17-20.
- Rausch, C., T. Weber, O. Kohlbacher, W. Wohlleben and D. H. Huson. 2005. Specificity prediction of adenylation domains in nonribosomal peptide synthetases (NRPS) using Transductive Support Vector Machines (TSVM). **Nucleic Acids Res.** 33 (18): 5799-5808.
- Richardson, H., A. H. Emslie-Smith and B. W. Senuor. 1968. Agar diffusion method for the assay of colicins. **App. Microb.** 10: 1468-1474.
- Sambrook, J., E. F. Fritsch and T. Maniatis. 1989. **Molecular cloning: A laboratory manual.** Cold Spring Harbour Laboratory Press, New York.
- Schwarzer, D., R. Finking and M. A. Marahiel. 2003. Nonribosomal peptides: from genes to products. **Nat. Prod. Rep.** 20: 275–287.
- Singleton, P. 2004. **Bacteria in biology, biotechnology and medicine** (6<sup>th</sup> ed.). John Wiley & Sons Inc., New York.
- Song, X.-Y., Q.-T. Shen, S.-T. Xie, X.-L. Chen, C.-Y. Sun and Y.-Z. Zhang. 2006. Broad-spectrum antimicrobial activityand high stability of Trichokonins from *Trichoderma koningii* SMF2 against plant pathogens. **FEMS Microbiol Lett.** 260: 119-125.
- Stachelhaus, T. and M. A. Marahiel. 1995. Modular structure of peptide synthetases revealed by dissection of the multifunctional enzyme GrsA. **J. Biol. Chem.** 270: 6163-6169.

- Stachelhaus, T., H. D. Mootz and M. A. Marahiel. 1999. The specificity-conferring code of adenylation domains in nonribosomal peptide synthetases. **Chem. Bio.** 6: 493-505.
- Stone, K. L. and K. R. Williams. 1993. Enzymatic digestion of protein and HPLC peptide isolation. In P. Matsudaira, ed. **A practical guide to protein and peptide purification for microsequencing**. Academic Press, San Diego.
- Stoppacher, N., B. Reithner, M. Omann, S. Zeilinger, R. Krska and R. Schuhmacher. 2007. Profiling of trichorziaines in culture samples of *Trichoderma atroviride* by liquid chromatography/tandem mass spectrometry. **Rapid Commun. Mass Spectrom.** 21 (24): 3963-3970.
- Summers, M. Y., F. Kong, X. Feng, M. M. Siegel, J. E. Janso, E. I. Graziani and G. T. Carter. 2007. Septocylindrins A and B: peptaibols produced by the terrestrial fungus *Septocylindrium* sp. LL-Z1518. **J. Nat. Prod.** 70: 391-396.
- Suwan, S., M. Isobe, S. Kanokmedhakul, N. Lourit, K. Kanokmedhakul, K. Soytong and K. Koga. 2000. Elucidation of high micro-heterogeneity of an acidic-neutral trichotoxin mixture from *Trichoderma harzianum* by electrospray ionization quadrupole time-of-flight mass spectrometry. **J. Mass Spectrom.** 35 (12): 1438-1451.
- Toniolo, C., M. Crisma, F. Formaggio, C. Peggion, R. F. Epand and R. M. Epand. 2001. Lipopeptaibols, a novel family of membrane active, antimicrobial peptides. **Cell. Mol. Life Sci.** 58: 1179 - 1188.
- Vertesy, L., M. Kurz, M. Schiell and J. Hofmann. 2003. **Cephaibols: novel antiparasitics from *Acremonium tubakii*, process for their production, and use thereof.** U.S. Patent 7067112.

- Vives, E. and B. Lebleu. 2003. One-pot labeling and purification of peptide and proteins with fluorescein maleimide. **Tetrahedron Lett.** 44: 5389-5391.
- Vizcaino, J. A., R. E. Cardoza, L. Dubost, B. Bodo, S. Gutierrez and E. Monte. 2006. Detection of peptaibols and partial cloning of a putative peptaibol synthetase gene from *T. harzianum* CECT 2413. **Folia Microbiol. (Praha)**. 51 (2): 114-120.
- Vizcaino, J. A., L. Sanz, R. E. Cardoza, E. Monte and S. Gutierrez. 2005. Detection of putative peptide synthetase genes in Trichoderma species: Application of this method to the cloning of a gene from *T. harzianum* CECT 2413. **FEMS Microbiol. Lett.** 244 (1): 139-148.
- von Dohren, H. 2004. Biochemistry and general genetics of nonribosomal peptide synthetases in fungi. **Adv. Biochem. Engin./Biotechnol.** 88: 217-264.
- Wei, X., F. Yang and D. C. Straney. 2005. Multiple non-ribosomal peptide synthetase genes determine peptaibol synthesis in *Trichoderma virens*. **Can. J. Microbiol.** 51 (5): 423-9.
- White, T. J., T. Bruns, S. Lee and J. W. Taylor. 1990. Amplification and direct sequencing of fungal ribosomal RNA genes for phylogenetics. pp. 315-322. In M. A. Innis, D. H. Gelfand, J. Sninsky and T. J. White, eds. **PCR Protocols: A Guide to Methods and Applications**. Academic Press, New York.
- Whitmore, L. and B. A. Wallace. 2004. The peptaibol database: a database for sequences and structures of naturally occurring peptaibols. **Nucleic Acids Res.** 32 (Database issue): D593-4.
- Wiest, A., D. Grzegorski, B.-W. Xu, C. Goulard, S. Rebuffat, D. J. Ebbole, B. Bodo and C. Kenerley. 2002. Identification of peptaibols from *Trichoderma virens* and cloning of a peptaibol synthetase. **J. Bio. Chem.** 277 (23): 20862-20868.

- Wilhite, S. E., R. D. Lumsden and D. C. Straney. 2001. Peptide synthetase gene in *Trichoderma virens*. **App. Environ. Microbiol.**: 5055-5062.
- Xu, H., B. Andi, J. Qian, A. H. West and P. F. Cook. 2006. The a-amino adipate pathway for lysine biosynthesis in fungi. **Cell Biochem. Biophys.** 46: 1085-9195.
- Yeo, W.-H., B.-S. Yun, Y.-S. Kim, S.-J. Lee, I.-D. Yoo, K.-S. Kim, E.-K. Park, J.-C. Lee and Y. H. Kim. 2002. Antiviral, antimicrobial, and cytotoxic properties of peptavirins A and B produced by *Apiocrea* sp. 14T. **Plant Pathol. J.** 18: 18-22.
- Yun, B.-S., I.-D. Yoo, Y. H. Kim, Y.-S. Kim, S.-J. Lee, K.-S. Kim and W.-H. Yeo. 2000. Peptaivirins A and B, two new antiviral peptaibols against TMV infection. **Tetrahedron Lett.** 41 (9): 1429-1431.
- Yvon, M., C. Chabanet and J. P. Plissier. 1989. Solubility of peptides in trichloroacetic acid (TCA) solutions. Hypothesis on the precipitation mechanism. **Int. J. Peptide Protein Res.** 34 (3): 166-176.
- Zelakowska-Komon, M., T. Neuhof, R. Dieckmann, H. von Dohren, A. Herrera-Estrella, C. P. Kubicek and I. S. Druzhinina. 2007. The formation of atroviridin by *Hypocrea atroviridis* is conidiation-associated, and positively regulated by blue light and the G-protein GNA3. **Eukaryot Cell.** 6: 2332-2342.
- Zhang, N., L. A. Castlebury, A. N. Miller, S. M. Huhndorf, C. L. Schoch, K. A. Seifert, A. Y. Rossman, J. D. Rogers, J. Kohlmeyer and G.-H. Sung. 2006. An overview of the systematics of the Sordariomycetes based on a four-gene phylogeny. **Mycologia.** 98 (6): 1076-1087.

ภาคผนวก

**ภาคผนวก ก**  
**เทคนิคทางชีวสารสนเทศและชีวโมเลกุล**

**1. ข้อมูลการศึกษาใน ITS1, 5.8s และ ITS2 ด้วยไฟร์เมอร์ ITS1&ITS4**

ตารางผนวกที่ ก1 การระบุสายพันธุ์เชื้อโดยการศึกษาลำดับนิวคลิโอล์IGO ที่ส่วนของยีน ITS1, 5.8s และ ITS2 ด้วยไฟร์เมอร์ ITS1&ITS4

Code	microorganism	Identities
BCC11207	<i>Trichoderma atroviride</i>	548/550 (99%)
BCC12193	<i>Mariannaea campitospora</i>	508/513 (99%)
BCC12530	<i>Trichoderma asperellum</i>	504/504 (100%)
BCC13402	<i>Trichoderma velutinum</i>	573/576 (99%)
BCC14814	<i>Hypocrea lixii</i>	570/574 (99%)
BCC17183	<i>Talaromyces stipitatus</i>	525/530 (99%)
BCC17535	<i>Paecilomyces variotii</i>	518/522 (99%)
BCC17716	<i>Trichoderma parceramosum</i>	574/579 (99%)
BCC18053	<i>Trichoderma ghanense</i>	579/582 (99%)
BCC18241	<i>Cephalotheca sulfurea</i>	505/523 (96%)
BCC196	<i>Trichoderma asperellum</i>	550/555 (99%)
BCC19994	<i>Paraconiothyrium estuarinum</i>	480/485 (98%)
BCC372	<i>Paecilomyces lilacinus</i>	549/552 (99%)
BCC4293	<i>Bionectria pityrodes</i>	496/498 (99%)
BCC436	<i>Trichoderma harzianum</i>	550/552 (99%)
BCC4506	<i>Paecilomyces marquandii</i>	480/485 (98%)
BCC4744	<i>Verticillium luteo-album</i>	518/523 (99%)
BCC4862	<i>Clonostachys rogersoniana</i>	457/461 (99%)
BCC4868	<i>Fusarium oxysporum</i>	482/483 (99%)
BCC488	<i>Hypocrea lixii</i>	544/546 (99%)
BCC496	<i>Paecilomyces lilacinus</i>	485/487 (99%)
BCC5762	<i>Acremonium murorum</i>	495/497 (99%)
KU101	<i>Hypocrea lixii</i>	546/550 (99%)
KU102	<i>Hypocrea lixii</i>	547/551 (99%)
KU103	<i>Hypocrea lixii</i>	566/568 (99%)
KU107	<i>Hypocrea lixii</i>	549/549 (100%)
KU119	<i>Trichoderma aureoviride</i>	552/555 (99%)
KU66	<i>Hypocrea lixii</i>	568/571 (99%)
KU84	<i>Hypocrea lixii</i>	558/563 (99%)
KU86.2	<i>Trichoderma asperellum</i>	552/554 (99%)
KU87	<i>Trichoderma asperellum</i>	508/509 (99%)

หมายเหตุ ศึกษาลำดับนิวคลิโอล์IGO โดยโปรแกรม BLASTN (version 2.2.18) วันที่ 17 เมษายน 2551 ในเว็บ <http://www.ncbi.nlm.nih.gov>

## 2. การวิเคราะห์ลำดับเบสโดย multiple alignment และทำแท่งไฟร์เมอร์

**C4F**

```

nrps_Hvir_a
nrps_Hvir_d
nrps_Hvir_b
nrps_Hvir_c
pes_Aory
salps1_Thar
pes_Mani_a
pes_Mani_c
pes_Mani_b
nrps_Tvir_m13_Pro
nrps_Tvir_m2_Gly
nrps_Tvir_m7_Aib/Iva
nrps_Tvir_m1_Aib
nrps_Tvir_m15_Aib
nrps_Tvir_m4_Val/Leu
nrps_Tvir_m11_Leu
nrps_Tvir_m12_Aib
nrps_Tvir_m16_Aib
nrps_Tvir_m9_Aib
nrps_Tvir_m5_Aib
nrps_Tvir_m3_Al
nrps_Tvir_m10_Ser
nrps_Tvir_m14_Leu/Val
nrps_Tvir_m8_Al
pes1_Hvir
nrps_Tvir_m18_Valol
nrps_Tvir_m6_Gln
nrps_Tvir_m17_Gln
pes_Tasp
pes_Apul_b
pes_Enid_a
pes_Enid_b

```

ESVKTNCSVFIKDPILWUKGLPGKPGRQGRLYKTGDLVRYHKDGS---LS 257  
 NPTKTAAVFIESPAWMVK----RGRTGRLYKTGDLVRYKKDGS---LQ 287  
 DIDKTEKAFIESPRULKGANINSENSSTRVYKTGDLVRYNEDGS---LS 251  
 EPEKTAAAFIDQPTWLQ----FGRSGRMYKTGDLVCYNEDGT---LM 251  
 DPDKTAAAFIHDPAUWSGHNGYAAGRSGRLYKTGDLGKYDDPGSGG--IV 273  
 DDRKTAAVFLDHTRWLKQ----AGRSGRLYKTGDLVRYSEDGS---LI 274  
 APEKTAEVFIG-PDWGPLT--RQGAPRRLYKTGDLARYNPDGT---IH 277  
 LDETTFRARITM-PAWA---K--GQGD-RRFYKTGDLVYMFDT---ID 294  
 DAEKTKKSFIGCN-PIWSR-T--QPGVDRRFYKTGDLVRYNSDGS---LH 322  
 ATADVASNUNEM-VDWLP-G--NM--NKRVYRTGDLVRRNADGT---FE 238  
 DSEKTKLAIYDLPDWAPRR--ESQYWNRFYKSGDLCYYNPDGA---IE 272  
 DPVRTSGSTVYMLPNWAPNR--RDKYUNRFYKSGDGLGLYNAADGT---IQ 251  
 DFTKTESSMVRSRSLPEUVPNR--TSTHUDRFYKSGDLCRYNAADGT---ME 256  
 DPERTRSSTLYMLPKWAPR--DSKHUNKFYKSGDLCYYNQDGT---IE 263  
 DPERT-AASSVKAPKUQP--DSQHWRFRYKSGDLCSYNSDGT---LK 296  
 NPDKTQEAILYDLPWEAPR--DENNWGRFYKTGDLGFYNANGK---IE 286  
 DPQRSKETIITELPPWAPKQVSDAHLWSRFRYKSGDLCYNPNGT---LE 287  
 DVERTKATTMYKLPWAQPYQ--DQPSWSRFFKSGDLASYNPDGT---LE 283  
 DVDRTEAAVIKSLPDWAPFR--EQSSGSRFNMKSGDGLGVYNPDGT---IE 276  
 DPIRTKASILESSPRUAPRC--ESQHWUNRFYLTGDFCCYNPDGT---IE 250  
 DPAKTVSSTLTLPNWAPR--NDRKWGRFYKTGDLGFYNPDGT---IH 284  
 DPEKTAASATVTELPEWAPR--QSTTUNRFYRTGDLGFYDHDMG---LH 281  
 DKDKTASSIVAALPDWAPNR--RSHHWNRFYKTGYLAKYNPDGT---LQ 249  
 DPVKTATATITGLPQWVPKR--DSIHWDRFYLTGDLGFINEAGN---LE 262  
 DEEKTRKSFIKEVEULPSEA---NVGERRFYKTGDLVRYNLDGY---VE 249  
 DEEKTRKSFIKEVEULPSEA---NVGERRFYKTGDLVRYNLDGY---VE 245  
 DADRTKNSFITMVDCLPKSI---ISGPHRFYLTGDLVRYTPDGQ---LE 245  
 DKMKTEESFVCEIGSLPSSL---LHEPKRFRYLTGDLVRYNSNGE---LE 292  
 NEERTSASFIDLEWMMP----TGSKKVYRSGDGLAKFNPDGT---IE 263  
 MPELTESKIIINH-----PNYGRIFYRSGDGLGRLLPDGT---IL 247  
 LPFVTARVFIRS-----KEFGP-LYRTGDKARIIVUDESGHQVIE 292  
 LKDVTDTKYIWN-----EDAGQQLYYTGDLMVRMLS DGS---LE 267
 . : \*

ภาพนวนค์ที่ ก1 การทำ multiple alignment โดยใช้โปรแกรม ClustalW (version 2) ของ  
 ข้อมูลลำดับกรดอะมิโนเพื่อออกแบบไฟร์เมอร์ C4F และ C6R โดยลูกศร  
 แสดงตำแหน่งของไฟร์เมอร์

nrps\_Hvir\_a  
 nrps\_Hvir\_d  
 nrps\_Hvir\_b  
 nrps\_Hvir\_c  
 pes\_Aory  
 salps1\_Thar  
 pes\_Mani\_a  
 pes\_Mani\_c  
 pes\_Mani\_b  
 nrps\_Tvir\_m13\_Pro  
 nrps\_Tvir\_m2\_Gly  
 nrps\_Tvir\_m7\_Aib/Iva  
 nrps\_Tvir\_m1\_Aib  
 nrps\_Tvir\_m15\_Aib  
 nrps\_Tvir\_m4\_Val/Leu  
 nrps\_Tvir\_m11\_Leu  
 nrps\_Tvir\_m12\_Aib  
 nrps\_Tvir\_m16\_Aib  
 nrps\_Tvir\_m9\_Aib  
 nrps\_Tvir\_m5\_Aib  
 nrps\_Tvir\_m3\_Alpha  
 nrps\_Tvir\_m10\_Ser  
 nrps\_Tvir\_m14\_Leu/Val  
 nrps\_Tvir\_m8\_Alpha  
 pes1\_Hvir  
 nrps\_Tvir\_m18\_Valo1  
 nrps\_Tvir\_m6\_Gln  
 nrps\_Tvir\_m17\_Gln  
 pes\_Tasp  
 pes\_Apul\_b  
 pes\_Enid\_a  
 pes\_Enid\_b

FAGRKD-NQVKIHHGRVELDEIEVRLHEYIT--GMVHATAEIIIPVK--NS 302  
 FLGRKD-AQVKIRGQRVELEDVERLIQESMP--NVIRAAAEVIIIPQGVNS 334  
 YVGRKD-AQVKIRGQRVELGEIETLVQEYLP--DAQIVAAEVILPQAERP 298  
 FLGRKD-TQVKIRGQRVELGEIEHRRVEECFL--ESSQVAEVIGPY---N 295  
 FAGRKD-TQVKLRGQRVELGEIESQLNARLT--AEITVIVEVIKPKQSSGG 320  
 FVGRKD-TQVKIRGQRVELGEVEHHLRECLQ--DAREIIVELIKPEGKDS 321  
 FIGRKD-TQVKLRLRIELGETEHHSVHGF--TQHAIIVILPKSGPCKER 324  
 YVGRKD-TQFKLGQRIESSEIEHHLSTDHR--IRHAMILLSKSKGQQR 341  
 ILGRGD-TQIKLYGQRLDLTDIEAQIIDHQPSLRQVTVEAIMPKGTRKT 371  
 FMGRKD-TQVKLHGQRLVELGEIESRIPLP-KDMAIAVAVVKEDEHEHDS 286  
 YLTRKD-TQVKIRGLRVELGEIEYHLQHAIN--EIRQVAVDVINGENGSS 319  
 FASRKD-TRIKIRGLRVELSEVEHHVKTALS--RRPSGCCRCIRSTRWC 298  
 FGSRKD-GQVKIRGLRVELGEIEHHIREALE--GVKQAVDVANGDGGAI 303  
 FATRKD-TQIKIRGLRVELGEVQHHIQQALP--DARQAVADVYKGENGTM 310  
 FFSSRKD-TQVKIRGLRVELGEVEHHIQTLH--GVRQIAVDVYKGDHGTN 343  
 FSSRKD-TQVKIRGLRVELGEIEYQVQASVE--EIRQIAVDVIKTDNGSN 333  
 FYSRKD-TQVKIRGLRVELGEVEHHIRELLE--GVRQAVDVLTSETGTQ 334  
 FSNRKD-TQVKIRGLRVELGEVEYHVRLALK--VLVKLLLTYSRPIP-VQ 329  
 FSSRKD-TQVKIRGLRVELGEVEHAVQVALD--GVHQIAAVDVFKGDNGTQ 323  
 YHGRKD-TQIKIRGLRVELGEVEHQIRNFLG--ESVHVTVDVHKFESGSV 297  
 YSGRKD-TQVKIRGLRVELGEVEHHIRNSLD--SVROAVDVLRTEGTGM 331  
 FASRKD-TQVKIRGLRVELGEVEHRIQGSLDD--GVRQAVDVFKTEKGAN 328  
 YYSRKD-TQVKIRGLRVELGEVEHHIRQSLI--DAQQAVDVFTNDAGVN 296  
 YCTRKD-TQVKIRGLRVELGEIEHHIQANLE--SVROAVDVVIKSADGST 309  
 YLGRKD-TQVKVRGQRLIELGEIEHHIKNSNT--AIEHAVVDIRNAGRES 296  
 YLGRKD-TQVKLRGQRLIELGEIEHHIKNSNT--AIEHAVVDIRNAGRES 292  
 YLGRKD-TQVKLRGQRLIELGEIEYHVKKSLA--NIEHVAVDVAHRETGDT 292  
 YLGRKD-SQVKLRGQRLIELGEIEYNITQSL--SVRHAVDVVMHRQAGDS 339  
 VIGRKD-TQVKLRGQRLIELGEIEHLIMSELK--DVRYAVADVVEREAGKI 310  
 IQGRTD-DQRKIRGQRLIELGEISGCLLQFPSS--VQNCAIEVIKTADKER 293  
 YLGRKD-TQVKLGGIRIELSEISFALRGCHE--LVEAVVVVKRDSTSNG 340  
 YITRVD-DLVKLGGSIRIELSEISFALRGCHE--LVEAVETMILS-RKDRP 313

\*       \*: \* \*:: : .. :

nrps\_Hvir\_a  
 nrps\_Hvir\_d  
 nrps\_Hvir\_b  
 nrps\_Hvir\_c  
 pes\_Aory  
 salps1\_Thar  
 pes\_Mani\_a  
 pes\_Mani\_c  
 pes\_Mani\_b  
 nrps\_Tvir\_m13\_Pro  
 nrps\_Tvir\_m2\_Gly  
 nrps\_Tvir\_m7\_Aib/Iva  
 nrps\_Tvir\_m1\_Aib  
 nrps\_Tvir\_m15\_Aib  
 nrps\_Tvir\_m4\_Val/Leu  
 nrps\_Tvir\_m11\_Leu  
 nrps\_Tvir\_m12\_Aib  
 nrps\_Tvir\_m16\_Aib  
 nrps\_Tvir\_m9\_Aib  
 nrps\_Tvir\_m5\_Aib  
 nrps\_Tvir\_m3\_Alpha  
 nrps\_Tvir\_m10\_Ser  
 nrps\_Tvir\_m14\_Leu/Val  
 nrps\_Tvir\_m8\_Alpha  
 pes1\_Hvir  
 nrps\_Tvir\_m18\_Valo1  
 nrps\_Tvir\_m6\_Gln  
 nrps\_Tvir\_m17\_Gln  
 pes\_Tasp  
 pes\_Apul\_b  
 pes\_Enid\_a  
 pes\_Enid\_b

-----VVSHQIPTIHHSISTEERGNIARHL 344  
 -----IPTTSTARIIITIPAAVEQTFLFQNL 379  
 TPVLVVFTEPRIVS-----ETTEEVTLRIPSDVELRLAELY 335  
 NRILVAFIQCTGP-----AAATLLPAPSHVMDHLSKHL 329  
 QPTLVAFLASQSTKKNGDTEI----KSAELSDDLRKTLSKADAETIAKVL 365  
 KPMLAALCCLDAQ-----NKDGSISR--VVEMEYQLADRL 355  
 LVVALSLKDFLPDTSKTSNVR----LIPPEAQERASKQVAIKEQLSRHV 370  
 LTAAISLESVPPSAAR-DVPQ----LIQAES--AQLEVSLIRKKLAESV 383  
 LAAFFVMDDPDGTVDSLDS----TPISLTP-QLQKDLQELQSSLALSL 416  
 LLAFLWYTEG--AVASQPTAH--LMEVVTD-EARSMISFVDSLGMVL 329  
 LVAYICFSNEESKTDARVQD--DDKGPFMSIDEDELQARIITASGELRVVL 367  
 QWUPHTFALAMKQGLLVAEGFDECDFIEMMNDGMQERLTAVISQLNISL 348  
 IVSYFCFTDETRTAGKNYET--NVRDIFAPMTSDLQSQLTALVGQLGVTL 351  
 LAAYFCFSDETRVGVNDDA--SG-GPFLPISEDLQSCLAUVSKLSISL 357  
 LVAYICFTDEIRVAGVNDD--SS--PFFS1DQKLQNRNLNALVGNLKVTL 389  
 LVAYLCFNDEIRQL-HNADV--NG--PFSPLDTNLQETLAGAIGKLSVTL 378  
 LVSYICFNDDSQSPSSPELKA--SD--IYLPLDADIQARITSMVGELSRTL 380  
 GSSHISVSRMKHARQAFLNQ--ME-SIFLPVTEELQQLTMNISQLNVTL 376  
 PRGYFSFSDES--RQIHEAH--PS-GPFQAIDELQARLTVAIGKLNIAL 368  
 LVAYIGYSEET--MDNPDE--IFIPLTDDLQRDFHAMASQLSILL 338  
 LVSYICFSSEKKIPGPNVDP--EGDDIFLFMTESIQTDLNTAINKLNILL 379  
 LVAYLCFTSDTKPDQNTDF--EGKDVFAISIDTELQINLGMLTELNSSL 376  
 LVSP1CFNNNDTLPASTMADL--TSNDIVLRLTDDLKDSINSLLGHHLNVVL 344  
 LVAFVFSFSDATDQTVTDTRVIANG--PFSTLDGDFQATISRLIGILSTLM 357  
 LLAFICFTSQQAESVS--K---EIRLTEVTEELREMFSDIVTTISSNL 340  
 LLAFICFTSQQAESVS--K---EIRLTEVTEELREMFSDIVTTISSNL 336  
 LIAFVFKEKMATTSG-----NILLNDDLRVALATIMEHLKMSL 332  
 LVAFISFSGSHANTKWTSDL---CLNLVAPNETMRSTLGSLSRENLKASL 385  
 LVAFVTFRNAYARPAADSTAD---LEDYFIVDEIVTSSFQSLVQNLRQAL 356  
 LMAFWIPSGYSKDSYSILQP-----DKNLEEIIKSIYAHLADNL 332  
 GEQIVACLVVDAADGEGRE-----KIAQQAKKNAAQHQL 373  
 VRVVAFLCAPKAAGDAEGL-----LVLDLTDGRDIARAASLQARNVL 356

:

nrps\_Hvir\_a  
 nrps\_Hvir\_d  
 nrps\_Hvir\_b  
 nrps\_Hvir\_c  
 pes\_Aory  
 salpsi\_Thar  
 pes\_Mani\_a  
 pes\_Mani\_c  
 pes\_Mani\_b  
 nrps\_Tvir\_m13\_Pro  
 nrps\_Tvir\_m2\_Gly  
 nrps\_Tvir\_m7\_Aib/Iva  
 nrps\_Tvir\_m1\_Aib  
 nrps\_Tvir\_m15\_Aib  
 nrps\_Tvir\_m4\_Val/Leu  
 nrps\_Tvir\_m11\_Leu  
 nrps\_Tvir\_m12\_Aib  
 nrps\_Tvir\_m16\_Aib  
 nrps\_Tvir\_m9\_Aib  
 nrps\_Tvir\_m5\_Aib  
 nrps\_Tvir\_m3\_AlA  
 nrps\_Tvir\_m10\_Ser  
 nrps\_Tvir\_m14\_Leu/Val  
 nrps\_Tvir\_m8\_AlA  
 pes1\_Hvir  
 nrps\_Tvir\_m18\_Valol  
 nrps\_Tvir\_m6\_Gln  
 nrps\_Tvir\_m17\_Gln  
 pes\_Tasp  
 pes\_Apul\_b  
 pes\_Enid\_a  
 pes\_Enid\_b

PRYMPVNPIYLTMDEL-P-TATGKIDRKRLREIG---GEFTLQLVEPQTV 390  
 PSYMMPSVFFEIGALP-LGATGKLNRLQEI---SSLSSQRRAEARIV 425  
 PMYMIPLSVLFLVREL-P-MPTGKMNRRRLPEIG---ATFTMKLVEIQTG 381  
 PHMIPITLFFSVRQLP-MTATGKVNRRSLQDIG---ASLSAQDVAEMQTA 375  
 PRYMVPNAYISVNYIP-VLISGKTDKRKRLREFG---ATVDLQQLDQGTNN 411  
 PAYMIPSVCFALEAMP-KTTSGKTDRKQLIEMG---QSFSAQQLADMSN 401  
 PHYMVPETWIVVEAIP-LMLSGKMRASQWSKWI---AEMDDETYDRAVGV 416  
 PGYMVPSIWLVDHMS-MTVSGKLNRLEMFTKVV---EQMDDEVFATSADA 429  
 PRYMPIPATYIRMSQMP-MNSSGKTNRAALRTMA---AQFSETQWSDYSLE 462  
 PSYMPSSYLIFEKGKDQTVNGKVNRRNGLLAHA---HNLSTQDRLRFAPV 376  
 PSYMPVPTFFIPCSYLP-TSTSVKLDRKALKGYT---AALSADELSJKSLSI 413  
 PRYMVPTFFFIPCOQYMP-SITSRKLDRNLYLRRRT---AALSQEQLVTYSLQ 394  
 PRYMPIPTMFIPCCYMP-FITSTKLDKLLRLAM---SELSKQDVARYSLV 397  
 PRYMPIPTMFILCSYMP-FITSTKLDRNELKKLT---GALDKTQIAQYSL 403  
 PQYMPIPTLYIPCSFMP-SIISTKLDRNLRRT---ADLTRDQLSEYSLQ 435  
 PRYMPIPTFYIPCSYMP-SITSRKLDRNLYLRRRT---AALSQSELNKFSLH 424  
 PRYMPIPTLFIPCKYMP-FITSTKLDKTLKSIT---ASLRDELIHYSLI 426  
 PRYMVPSLFLPCRYMP-FIASKLDRNKLKLV---SELSHEDHAAYSRL 422  
 PRYMPIPTLFIPCKYMP-SITSTKLDRNELRRRT---LLLTTQSEELAMFSYR 414  
 PRYMVPTLIPCSQMP-HLTSGKLDKGRRLRT---SALNQQQLHSYALE 384  
 PRYMPIPTYIPCSYMP-LISSGKLDRVKLRLRT---AALAQEELEAYSLL 425  
 PTYMPIPTMFIPCAYMP-FITSSKLDRVKLRLRT---AELSDQOLEAYSLL 422  
 PGYMPIPTLFVPIKSMP-LVTSGKLDRKLLKL---ASVPKEQLEEYALT 390  
 PRYMVPSAFIPCAYKG-EFHQTGGRYKKLREL---ASLSQEDMAAYSRA 403  
 PSHMIPKYLIPVDPYMP-HNAAGKLDRKMLVASI---AKLTTDDLSNYLAG 386  
 PSHMIPKYLIPVDPYMP-HNAAGKLDRKMLVASI---AKLTTDDLSNYLAG 382  
 PGYMVPSLIPVREMP-FITSMVKDRKLLTAMA---AALSLEEITSFLV 378  
 PAYMVPSTIILPLQCMP-FITSMVKDLRTQLRALG---SSLSEELAAFTPG 431  
 PNYMIPSIVFLWDMP-FNTSQKIDRRMLRGLV---ADMSEQAISNFSIN 402  
 PAYMVPDALPVPSAIP-QTSQGKIDKRRRLASDG---SALTVEDLNAYSRG 378  
 ASFMCPCTTYTFDVLP-RSSSGKVDRKALAVQLQEKPDPVPIKNGLSEESA 422  
 PENMIPSVYLIVKKIF-KTPSAKVDRRRALQAA---AAVDIDKWENNVP 402

\* \*

### C6R

nrps\_Hvir\_a  
 nrps\_Hvir\_d  
 nrps\_Hvir\_b  
 nrps\_Hvir\_c  
 pes\_Aory  
 salpsi\_Thar  
 pes\_Mani\_a  
 pes\_Mani\_c  
 pes\_Mani\_b  
 nrps\_Tvir\_m13\_Pro  
 nrps\_Tvir\_m2\_Gly  
 nrps\_Tvir\_m7\_Aib/Iva  
 nrps\_Tvir\_m1\_Aib  
 nrps\_Tvir\_m15\_Aib  
 nrps\_Tvir\_m4\_Val/Leu  
 nrps\_Tvir\_m11\_Leu  
 nrps\_Tvir\_m12\_Aib  
 nrps\_Tvir\_m16\_Aib  
 nrps\_Tvir\_m9\_Aib  
 nrps\_Tvir\_m5\_Aib  
 nrps\_Tvir\_m3\_AlA  
 nrps\_Tvir\_m10\_Ser  
 nrps\_Tvir\_m14\_Leu/Val  
 nrps\_Tvir\_m8\_AlA  
 pes1\_Hvir  
 nrps\_Tvir\_m18\_Valol  
 nrps\_Tvir\_m6\_Gln  
 nrps\_Tvir\_m17\_Gln  
 pes\_Tasp  
 pes\_Apul\_b  
 pes\_Enid\_a  
 pes\_Enid\_b

A--PKRPP-KTAVERQLOQLWSQILGIS-LDIIGLDDSFQKNGDSISAM 436  
 HTGPKRQP-TTDIEHKLQNLWSKVLDIKPASMIGLDDSFQKLGGSITAM 474  
 EG-TKRPP-TTRLEQQIQAUVSEVLNID-VSKIGIDDSFFQQLGGDSITAM 428  
 TRKHRRP-ITEIEQLMQTIWARILQIN-LETIGLDDAFFQQLGGDSISAM 423  
 GP---ARE-LTDLEQRLRHGWGQVLQIN-PEGIRPNDNFALGGDSLAAM 456  
 ST-KKRQP-TTELESKLQDLWARVLNIS-PASVGLDDSFQRLGGDSITAM 448  
 HSQGEGATEMTEHEIQLQLVYSEELNLA-LSRIPPLDRSFLSLGGDSISAM 465  
 EDELEGSHIPATVMEDKIQKMLCQVLNLQ-T-VRLDRSFLSLGGDSITAM 476  
 NKVKE--LPSTDLEKRLQQLWSAVLCID-IDMIGAKDSFFGLGGDSV-AM 508  
 VSKSE--PPSTTMEFTLRLWAQVLQID-AESIGKNDSFRLRIGGDSISAI 423  
 S-GKKRAP-ETPMESOLQQIWAQILNIS-MESIGRDDSFLSLGGDSITAI 460  
 G-GKKRSPGTIVIMERILQAIWSRILCIP-SENIGLDDSFQRLGGDSITAI 442  
 D-SKKRAP-ENEMETRIOQAIWADLLKLP-TSSIGRDDSFLRLGGDSIAAI 444  
 D-GKKRAP-ETRWR-CSSKLWQISSLGIP-IESIGRDDSFLQIGGDSITAI 449  
 S-GIKRAP-ETSMERKLQOIWWSSVGLIP-QDSIGRDDSFFGIGGDSIK-- 480  
 G-VSKRAP-ETPMELQQLQNIWSKLLSIP-SESIGRDDSFLQIGGDSIMAI 471  
 N-SKKRVP-ETEMETRQLQAIWSEILNLP-IDSIGRDDSFLQIGGDSITAI 473  
 N-CVKRMP-ETEMETRMLQELWSTVLHMP-KEEIGCDDSFQIGGDSIAAI 469  
 --CNKRTP-ETPMESLQRIWSEILHIP-LDSIGRDDSFLQIGGDSITAI 460  
 D-AQKEAP-ETEMEVRLQNIWARILGLP-AHSIGRDDSFLRIGGDSISAI 431  
 D-ANKRAP-DTAMEIRLQQLWADILNIP-PQAIKGDDSFNNIGGDSIAAI 472  
 V-NEKQAP-ETEMEIRLQKLWAEVLDLP-EASIGRHDNFMRIGGDSIAAI 469  
 G-GDKRQP-ETEMEYRLQELWAVLLNMP-AASIGRDDSFMRIGGDSIAAI 437  
 N-EEKVAP-QTAMESRIQKIWAQVLNIS-IDSIGRDDSFLQIGGDSVVS 450  
 Q-RLPFRDCSTDTEFWIRHQWATTLDLP-AETVGVDDNFYSLGGDSIRIV 434  
 Q-RLPFRDCSTDTEFWIRHQWATTLDLP-AETVGVDDNFYSLGGDSIRIV 430  
 K-RD-YIAPSTPMKNLANLWAQVLKIS-SEDIGKNDSFQIGGDSISSI 425  
 K-AD-KIEPTTHMEEFKLRLDWQAQILKIS-AEEIGKNDSFQIGGDSISAI 478  
 K-RE-KTLPTELEFKLRLDWARILRVD-PESISKFDSSFLEIGGDSISAI 449  
 A-DDDETSELASATEQQLASALADTLQMS-QTSIGRSTSFFALGLDSDVSAI 426  
 ECWRHSDEAASSVQQLVIRLVAETGDVS-DSAIAKPGTELYSVGIDSLGAM 471  
 EGPDADEDDAATATQIETVAAVHV-E-SSTITKSNRRLRSLGVDSDLCAT 451

: : : \* : :

**C2F** →

Tasp_m1_Aib	YNAAVVLFTSGSTGPKGLVMQHAAVCTSQTAITKRLGMTSDVRLLFQASFVFDLSIGEI 16
Tvir_m1_Aib	RNAAYVLSTSGSTGPKGLVMQHQAVCTSQTAITKRLRMTSDVKMLQFASFVFDLSIGEI 97
Tvir_m7_Aib_Iva	SNAAYVLFTSGSTGPKGLVMEHRSVCTSFTAUTKRLKIRPSARTLQFAAHVFDCAVGEI 12
Tvir_m16_Aib	HNAAVVLFTSGSTGPKGLVMTHGGISTSQMAIKRKWGINSSNRTLQFVNPVFDLCLGES 64
Tvir_m12_Aib	SNAAYVLFTSGSTGPKGLVMQHQAVCTSQTAIKAKRLSTPDVRIQLFAAVFDLSIGEI 10
Tvir_m5_Aib	RNAAYVLFTSGSTGPKGFVIEHKAVCTSQTAITNRGLHLRGVRMLQFASYFVFDLSVGEI 61
Tvir_m15_Aib	DNAAVVLFTSGSTGPKGLVMQHGSVCTSQTAIKVLGLTPSVRMLQFAAFVFDLSIGEI 84
Tvir_m9_Aib	RNAAYVLFTSGSTGPKGLIMEHGSVCTSQVAIAKRLGLNSKVRILQFAAFVFDLSIGEI 67
Tasp_m12_Aib	QCSKMCSSLGSGTAYQRVLSWSPGPFVAVKRLLLKGLKLHSNVRMLQFAAFVFDLSIGEI 30
	*****. : : . : . : : * ***.. *** . :***
Tasp_m1_Aib	VGPWWVGGCLCVPSEHTRMNDLVFINTMKINUWAYLTSPSFTRTLNPSPDVGPLELLLFFAGE 22
Tvir_m1_Aib	FGPWWVGGCICVPSEETRMNDLVNFINTMKINUWAYLTSPSFARTLNPPDVPGPLELLLFFAGE 15
Tvir_m7_Aib_Iva	ISSSLFTGGCLFVPSDHDRMNLALPEFIRQNKKINYMUSTPSFIRTLSPMDVPSLELVVLUVE 18
Tvir_m16_Aib	ILQLISGACIFIPSEYTRMNGLKDFITEHKINTLFLTPSFVVRTLSPDQLPSVTLLLLAGE 12
Tvir_m12_Aib	VAPLTHGACVCVPSEETRMNGLKEFIRDARINUWAYLTSPSFVVRTLSPDVPVPSLQLLLLAGE 16
Tvir_m5_Aib	CCTLICAGACLVPSDEVRNNLNLAKFMRKDINWANFTPSFIRTLPEADVPKLEVLCCGE 12
Tvir_m15_Aib	IAPLITGACLCPSEHTRMNNLTFQFIRDMEINWAFLTPSFIRTLPEADVPKLEVLCCGE 14
Tvir_m9_Aib	VGPLISGACICVPSEHIRKNSIANFIRNQGITUTYLTPSFVVRTIKASEVPNVKLLLLAGE 12
Tasp_m12_Aib	VAPLISGACVCVPSEEARLNDIAGFIREMNVNWAYLTSPSFVVRVLTPEEVPSLELLLCCGE 36
	. *.*: :**: * * : *: .. : **** *.*: . :* : *::* : *::* **
<b>AibR</b>	
Tasp_m1_Aib	AVGRDVFEAWFGKVRLINGWGPAETCV <del>F</del> STLHEWKSLEESSLTVGSPVGGYCIVDPQPQ 28
Tvir_m1_Aib	AVRRDVFEAWFGRLRLINGWGPAETCV <del>F</del> STLHEWKSIDESPLTIGRPVGGHCIVDPQP 21
Tvir_m7_Aib_Iva	AVTRDIDMTWFGKVRLINGWGPAETCV <del>F</del> VSTIHEWQSIDESPLTIGRSVGGFCIVDPEDP 24
Tvir_m16_Aib	AVPRDILTTWFGKVRLWNGWGPAETCL <del>F</del> SSLHQQFQSVDSPHTIGRPVGGFCVVVDPTNA 18
Tvir_m12_Aib	AVGRDILDTWFGKVRLINGWGPAETCV <del>F</del> STLHEWSSIDESPLTIGRPVGGYCIVWEAEDS 22
Tvir_m5_Aib	ASDKKILEIUVGKVQLFNGWGPAETCV <del>F</del> SSLHEWKSUTESPLTIGRPVGVPAETCV <del>F</del> STLHEWKSUSNESPLTIGKPVGGFCVVVNPEDP 18
Tvir_m15_Aib	AVPDRDVTWFGQVRLINGWGPAETCV <del>F</del> STLHEWKSUSNESPLTIGKPVGGFCVVVNPEDP 20
Tvir_m9_Aib	AVPDRDIFATWFGKLRLINGWGPAETCC <del>F</del> STLHEMAICGRESPYCRPPVGGFCIVDPENP 18
Tasp_m12_Aib	ITPRDIFNTWVGKVRFISGWGPAETCV <del>F</del> SSLHEWKSASESPLNVGKPVGALCWIVDPDCQ 42
	... : *.*: : .***** .*: :* : ... .*.. *:*

ก้าพนวนกที่ ก2 การทำ multiple alignment ส่วน A-domain ของกรดอะมิโน Aib จากฐานข้อมูล NCBI โดยโปรแกรม CLUSTAL W (2) และตำแหน่งไฟร์เมอร์ C2F&AibR (ลูกศร), แลบสีเข้มแสดงตำแหน่งของกรดอะมิโนสัญลักษณ์ (signature) ทั้ง 9 เรซิดูลัส Tasp คือ *T. asperellum* (Chutakul and Peberdy, 2005) Tvir คือ *T. Virens* (Wiest *et al.*, 2002) m คือ โนดูลที่สำคัญต่างๆ

**ກາຄົນວັດ ຂ**  
**ຂໍ້ມູນຈາກກາຮົດລອງ**

**ຕາງໝາຍກຳ ໬1 ເປົ້າຍເທີບກາຮົດວິຄຣະທີ່ກິຈກຽມກາຮົດຊັ້ນຊັ້ງເຫື້ອ *B. cereus* ATCC 11778  
 ຮະຫວັງເທັນິກ Agar well plate ແລະ microdilution assay**

Well no.	BCC No.	Microorganism	Agar well plate		96 well plate	
			% relative inhibition	SD	% relative inhibition	SD
1A	BCC17183	<i>Talaromyces stipitatus</i>	35.24	4.63	0.31	26.01
1B	BCC108	<i>Paecilomyces marquandii</i>	40.00	2.04	78.27	2.89
1C	BCC4913	<i>Acremonium polychromum</i>	38.10	2.27	1.64	1.80
1D	BCC3903	<i>Stilbella emericellopsis</i>	46.67	2.72	-26.79	2.39
2A	BCC17467	<i>Paecilomyces</i> sp.	30.48	0.51	6.61	9.55
2B	BCC372	<i>Paecilomyces lilacinus</i>	54.29	4.70	99.99	0.17
2C	BCC18053	<i>Trichoderma qhanense</i>	113.33	8.90	100.82	0.33
2D	BCC18314	<i>Acremonium</i> sp.	31.43	2.62	-7.09	11.07
3A	BCC17392	<i>Trichoderma koningii</i>	73.33	3.34	100.03	0.37
3B	BCC242	<i>Acremonium polychromum</i>	33.33	4.35	-18.94	2.31
3C	BCC17957	<i>Paecilomyces carneus</i>	39.05	0.26	-11.84	1.52
3D	BCC4862	<i>Clonostachyrogersoniana</i>	93.33	8.58	100.79	0.03
4A	BCC17535	<i>Paecilomyces variotii</i>	32.38	4.83	9.00	6.96
4B	BCC436	<i>Trichoderma hazianum</i>	86.67	3.20	101.04	0.13
4C	BCC18241	<i>Paecilomyces</i> sp.	37.14	6.10	-24.41	9.80
4D	BCC12530	<i>Trichoderma asperellum</i>	83.81	7.08	100.09	0.23
5A	BCC17716	<i>T.parceramosum</i>	120.95	8.52	100.89	0.46
5B	BCC496	<i>Paecilomyces lilacinus</i>	63.81	3.81	86.38	0.67
5C	BCC17978	<i>Paecilomyces farinosus</i>	50.48	3.76	100.37	0.24
6A	BCC17797	<i>Paecilomyces variotii</i>	30.48	4.61	-0.84	1.50
6B	BCC488	<i>Hypocrea lixii</i>	63.81	0.77	100.07	0.03
6C	BCC17980	<i>Paecilomyces javanicus</i>	30.48	4.61	-14.42	1.79
7A	BCC107	<i>Paecilomyces marquandii</i>	31.43	2.62	3.57	24.81
7B	BCC4506	<i>Paecilomyces marquandii</i>	33.33	0.26	-7.40	0.30
7C	BCC2107	<i>Paecilomyces cinnamomeus</i>	36.19	0.00	-19.70	7.50
8A	BCC196	<i>Trichoderma asperellum</i>	106.67	0.00	100.47	0.19
8B	BCC5762	<i>Acremonium muronum</i>	29.52	5.04	-10.72	11.67
8C	BCC4293	<i>Bionectria pityrodes</i>	33.33	4.01	-23.37	11.07
5D	3%ME+Aib		46.67	1.56	-22.74	5.18
7D	MeOH		28.57	2.84	12.42	0.34
1E	Extracted Chloramphinical		45.71	1.73	-11.76	5.27
1F	Pure Chloramphinical		100.00	1.87	100.00	0.00
1G	Extracted Gramicidin		56.19	6.44	100.28	0.23
1H	Pure Gramicidin		52.38	3.60	93.63	8.81

ໜາຍແຫຼ່ງ ຄໍານວນ % relative inhibition ໂດຍເທີບກັບ chloramphinicol 100  $\mu\text{g.ml}^{-1}$

ตารางผนวกที่ ข2 การวิเคราะห์สารสกัดต่อการยับยั้งแบคทีเรียแกรมบวก *B. cereus* ATCC  
11778 ด้วยเทคนิค microdilution method

Code	Microorganism	Rep. I	Rep. II	% inhibition	SD	Evaluate*
BCC5762	<i>Acremonium muronum</i>	11751	13524	-10.66	11.59	-
BCC242	<i>Acremonium polychromum</i>	602	618	100.57	0.10	Positive
BCC4913	<i>Acremonium polychromum</i>	11445	11172	1.63	1.79	-
BCC4870	<i>Acremonium rosolum</i>	20963	19414	-4.98	5.99	-
BCC9257	<i>Acremonium</i> sp.	14471	13028	30.23	5.58	-
BCC5978	<i>Acremonium</i> sp.	16614	15194	18.45	5.49	-
BCC18314	<i>Acremonium</i> sp.	12589	11908	-7.06	4.45	-
BCC5763	<i>Acremonium strictum</i>	20640	18050	-0.37	10.02	-
BCC4293	<i>Bionectria pityrodes</i>	14849	13155	-23.28	11.08	-
BCC4862	<i>Clonostachys rogersoniana</i>	617	658	100.32	0.27	Positive
BCC4868	<i>Fusarium oxysporum</i>	967	935	100.22	0.12	Positive
BCC14814	<i>Hypocrea lixii</i>	853	857	100.75	0.02	Positive
BCC488	<i>Hypocrea lixii</i>	580	620	102.14	0.15	Positive
KU 101	<i>Hypocrea lixii</i>	876	925	100.50	0.19	Positive
KU 102	<i>Hypocrea lixi</i>	947	903	100.37	0.17	Positive
KU 107	<i>Hypocrea lixii</i>	994	965	100.07	0.11	Positive
KU 113	<i>Hypocrea lixii</i>	985	933	100.18	0.20	Positive
KU 66	<i>Hypocrea lixii</i>	971	967	100.13	0.02	Positive
KU 84	<i>Hypocrea lixi</i>	13166	13553	32.37	1.50	-
BCC12193	<i>Mariannaea campylospora</i>	946	931	100.29	0.06	Positive
BCC17957	<i>Paecilomyces carneus</i>	12878	12642	-11.79	1.54	-
BCC2107	<i>Paecilomyces cinnamomeus</i>	14180	13032	-19.62	7.51	-
BCC17978	<i>Paecilomyces farinosus</i>	646	719	99.90	0.48	Positive
BCC17980	<i>Paecilomyces javanicus</i>	12903	13171	-14.35	1.75	-
BCC372	<i>Paecilomyces lilacinus</i>	13703	13345	-18.86	2.34	-
BCC496	<i>Paecilomyces lilacinus</i>	695	735	99.60	0.26	Positive
BCC107	<i>Paecilomyces marquandii</i>	12991	9216	3.53	24.69	-
BCC108	<i>Paecilomyces marquandii</i>	692	754	99.53	0.41	Positive
BCC4506	<i>Paecilomyces marquandii</i>	3267	2856	77.90	2.69	-
BCC17467	<i>Paecilomyces</i> sp.	10044	11500	6.59	9.52	-
BCC18241	<i>Paecilomyces</i> sp.	14863	13363	-24.30	9.81	-
BCC17535	<i>Paecilomyces variotii</i>	11045	9989	8.95	6.91	-
BCC17797	<i>Paecilomyces variotii</i>	11461	11689	-0.83	1.49	-
BCC19994	<i>Paraconiothyrium estuarinum</i>	13843	13622	30.33	0.85	-
BCC4916	<i>Stilbella annulata</i>	23717	18214	-9.23	21.28	-
BCC4653	<i>Stilbella annulata</i>	17350	15629	15.25	6.65	-
BCC3903	<i>Stilbella emericellopsis</i>	14556	14182	-26.67	2.45	-
BCC4985	<i>Stilbella fimetaria</i>	16862	16509	14.18	1.37	-
BCC12353	<i>Stilbella holubovae</i>	11474	11345	43.03	0.50	-
BCC8283	<i>Stilbella</i> sp.	13527	14971	27.50	5.58	-
BCC7545	<i>Stilbella</i> sp.	13587	13690	30.84	0.40	-
BCC4742	<i>Stilbella</i> sp.	12521	12927	35.84	1.57	-
BCC17183	<i>Talaromyces stipitatus</i>	9469	13428	0.34	25.89	-
BCC196	<i>Trichoderma asperellum</i>	667	675	100.01	0.05	Positive
KU 87	<i>Trichoderma asperellum</i>	14524	15262	23.98	2.85	-
BCC12530	<i>Trichoderma asperellum</i>	677	748	99.63	0.46	Positive
BCC11207	<i>Trichoderma atroviride</i>	9351	10086	52.28	2.84	-
KU 119	<i>Trichoderma aureoviride</i>	10487	13577	39.63	11.95	-
BCC436	<i>Trichoderma hazianum</i>	2224	2153	85.98	0.46	-
BCC17392	<i>Trichoderma koningii</i>	729	708	99.57	0.14	Positive
BCC17716	<i>Trichoderma parceramosum</i>	643	610	100.42	0.22	Positive
BCC18053	<i>Trichoderma qhanense</i>	641	627	100.35	0.09	Positive
BCC12542	<i>Trichoderma</i> sp.	965	1027	99.98	0.24	Positive
BCC14173	<i>Trichoderma</i> sp.	868	983	100.36	0.44	Positive
BCC20419	<i>Trichoderma</i> sp.	992	951	100.11	0.16	Positive
BCC13402	<i>Trichoderma velutinum</i>	14915	14982	23.68	0.26	-
BCC4744	<i>Verticillium luteo-album</i>	16317	13268	24.53	11.79	-
	ME+Aib	11216	12092	41.69	3.39	-
	MeOH	21032	20451	-8.00	2.25	-

หมายเหตุ \* เกณฑ์การให้ผล positive คือ % inhibition มากกว่าหรือเท่ากับ 90 %

ตารางผนวกที่ ข3 การวิเคราะห์สารสกัดต่อการขับยั่งแบคทีเรียแกรมลบ *E. coli* ATCC 25922  
**ด้วยเทคนิค microdilution method**

Code	Microorganism	Rep. I	Rep. II	% inhibition	SD	Evaluate*
BCC5762	<i>Acremonium muronum</i>	13981	13884	5.13	3.42	-
BCC242	<i>Acremonium polychromum</i>	12491	12111	16.56	2.02	-
BCC4913	<i>Acremonium polychromum</i>	11906	12430	17.49	6.50	-
BCC4870	<i>Acremonium roscolum</i>	21966	19062	-2.14	10.67	-
BCC9257	<i>Acremonium</i> sp.	17377	16106	17.47	4.67	-
BCC5978	<i>Acremonium</i> sp.	19513	18737	5.08	2.85	-
BCC18314	<i>Acremonium</i> sp.	11746	12482	17.87	7.55	-
BCC5763	<i>Acremonium strictum</i>	21076	19765	-1.65	4.82	-
BCC4293	<i>Bionectria pityrodes</i>	15293	14350	-1.10	0.77	-
BCC4862	<i>Clonostachys rogersoniana</i>	8210	8291	44.94	4.30	-
BCC4868	<i>Fusarium oxysporum</i>	20199	18559	3.76	6.03	-
BCC14814	<i>Hypocrea lixii</i>	18017	15935	16.25	7.65	-
BCC488	<i>Hypocrea lixii</i>	13297	13219	9.86	3.51	-
KU 101	<i>Hypocrea lixii</i>	21511	20389	-4.41	4.12	-
KU 102	<i>Hypocrea lixii</i>	17940	18365	10.13	1.56	-
KU 107	<i>Hypocrea lixii</i>	18072	18510	9.41	1.61	-
KU 113	<i>Hypocrea lixii</i>	16123	16272	20.29	0.55	-
KU 66	<i>Hypocrea lixii</i>	18120	18669	8.88	2.02	-
KU 84	<i>Hypocrea lixii</i>	19112	19134	5.09	0.08	-
BCC12193	<i>Mariannaea campitospora</i>	19923	19456	2.15	1.72	-
BCC17957	<i>Paecilomyces carneus</i>	11513	11410	22.44	3.39	-
BCC2107	<i>Paecilomyces cinnamomeus</i>	12506	12285	15.90	2.80	-
BCC17978	<i>Paecilomyces farinosus</i>	12612	12635	14.30	4.01	-
BCC17980	<i>Paecilomyces javanicus</i>	13881	13807	5.75	3.53	-
BCC372	<i>Paecilomyces lilacinus</i>	11753	11300	21.99	1.65	-
BCC496	<i>Paecilomyces lilacinus</i>	12927	13590	9.85	7.18	-
BCC107	<i>Paecilomyces marquandii</i>	12497	12089	16.62	1.88	-
BCC108	<i>Paecilomyces marquandii</i>	10267	10492	30.03	5.01	-
BCC4506	<i>Paecilomyces marquandii</i>	11146	11413	23.72	5.22	-
BCC17467	<i>Paecilomyces</i> sp.	15113	13944	0.95	1.89	-
BCC18241	<i>Paecilomyces</i> sp.	11956	11719	19.81	2.73	-
BCC17535	<i>Paecilomyces variotii</i>	15102	13808	1.47	2.51	-
BCC17797	<i>Paecilomyces variotii</i>	16445	15627	-9.61	0.15	-
BCC19994	<i>Paraconiothyrium estuarinum</i>	20632	17881	4.40	10.11	-
BCC4916	<i>Stilbella annulata</i>	20814	19428	-0.10	5.09	-
BCC4653	<i>Stilbella annulata</i>	21744	20319	-4.83	5.24	-
BCC3903	<i>Stilbella emericellopsis</i>	12484	13051	13.29	6.71	-
BCC4985	<i>Stilbella fimetaria</i>	17136	14820	21.43	8.51	-
BCC12353	<i>Stilbella holubovae</i>	17050	16243	17.96	2.97	-
BCC8283	<i>Stilbella</i> sp.	15651	15016	24.78	2.33	-
BCC7545	<i>Stilbella</i> sp.	18697	17174	11.26	5.60	-
BCC4742	<i>Stilbella</i> sp.	18914	17439	10.01	5.42	-
BCC17183	<i>Talaromyces stipitatus</i>	15801	14388	-0.26	7.00	-
BCC196	<i>Trichoderma asperellum</i>	8638	10023	37.38	10.76	-
KU 87	<i>Trichoderma asperellum</i>	19132	20483	1.53	4.96	-
BCC12530	<i>Trichoderma asperellum</i>	12797	11964	16.00	0.23	-
BCC11207	<i>Trichoderma atroviride</i>	18601	18086	9.14	1.89	-
KU 119	<i>Trichoderma aureoviride</i>	17510	16524	16.03	3.62	-
BCC436	<i>Trichoderma hazianum</i>	10847	11303	25.15	6.16	-
BCC17392	<i>Trichoderma koningii</i>	13788	12704	9.94	1.47	-
BCC17716	<i>Trichoderma parceramosum</i>	9766	8863	37.49	0.57	-
BCC18053	<i>Trichoderma qhanense</i>	11037	10632	26.84	1.89	-
BCC12542	<i>Trichoderma</i> sp.	18852	17966	8.80	3.26	-
BCC14173	<i>Trichoderma</i> sp.	17156	16664	16.59	1.81	-
BCC20419	<i>Trichoderma</i> sp.	18276	17921	10.41	1.30	-
BCC13402	<i>Trichoderma velutinum</i>	19346	19110	4.54	0.87	-
BCC4744	<i>Verticillium luteo-album</i>	19696	18888	4.21	2.97	-
ME		12396	12798	14.49	5.89	-
MeOH		17061	17166	15.53	0.39	-

หมายเหตุ \* เกณฑ์การให้ผล positive คือ % inhibition มากกว่าหรือเท่ากับ 90 %

ตารางผนวกที่ ข4 การวิเคราะห์สารสกัดต่อการขับยั่งเชื้อราเชลล์เดียว *C. albicans* ATCC 90028  
ด้วยเทคนิค microdilution method

Code	Microorganism	Rep. I	Rep. II	% inhibition	SD	Evaluate
BCC5762	<i>Acremonium muronum</i>	2547	2619	83.79	0.57	Positive
BCC242	<i>Acremonium polychromum</i>	9444	8639	11.87	6.34	-
BCC4913	<i>Acremonium polychromum</i>	8475	9532	12.29	8.32	-
BCC4870	<i>Acremonium roscolum</i>	11347	12926	-22.60	12.43	-
BCC9257	<i>Acremonium</i> sp.	7068	7375	32.13	2.42	-
BCC5978	<i>Acremonium</i> sp.	11375	9602	-4.25	13.96	-
BCC18314	<i>Acremonium</i> sp.	11598	11132	-14.01	3.67	-
BCC5763	<i>Acremonium strictum</i>	8682	8113	19.04	4.48	-
BCC4293	<i>Bionectria pityrodes</i>	3395	3021	76.83	2.94	Positive
BCC4862	<i>Clonostachys rogersoniana</i>	976	1081	101.10	0.83	Positive
BCC4868	<i>Fusarium oxysporum</i>	1652	1453	95.26	1.57	Positive
BCC14814	<i>Hypocrea lixii</i>	3597	3493	73.07	0.82	Positive
BCC488	<i>Hypocrea lixii</i>	11320	10628	-9.65	5.45	-
KU 101	<i>Hypocrea lixii</i>	4445	4246	64.16	1.57	Positive
KU 102	<i>Hypocrea lixii</i>	12516	11215	-19.58	10.24	-
KU 107	<i>Hypocrea lixii</i>	13638	12254	-31.61	10.90	-
KU 113	<i>Hypocrea lixii</i>	11650	11138	-14.33	4.03	-
KU 66	<i>Hypocrea lixii</i>	6104	5317	48.96	6.20	-
KU 84	<i>Hypocrea lixii</i>	13182	11618	-25.53	12.32	-
BCC12193	<i>Mariannaea campitospora</i>	1202	1092	99.78	0.87	Positive
BCC17957	<i>Paecilomyces carneus</i>	7024	9047	23.07	15.93	-
BCC2107	<i>Paecilomyces cinnamomeus</i>	9617	11528	-5.18	15.05	-
BCC17978	<i>Paecilomyces farinosus</i>	6337	8360	30.72	15.93	-
BCC17980	<i>Paecilomyces javanicus</i>	7975	8201	22.48	1.78	-
BCC372	<i>Paecilomyces lilacinus</i>	5889	5215	50.72	5.31	Positive
BCC496	<i>Paecilomyces lilacinus</i>	3639	3526	72.66	0.89	Positive
BCC107	<i>Paecilomyces marquandii</i>	9883	9658	3.75	1.77	-
BCC108	<i>Paecilomyces marquandii</i>	10868	9747	-2.23	8.83	-
BCC4506	<i>Paecilomyces marquandii</i>	8554	9687	10.99	8.92	-
BCC17467	<i>Paecilomyces</i> sp.	9284	10041	4.95	5.96	-
BCC18241	<i>Paecilomyces</i> sp.	6886	6469	38.19	3.28	-
BCC17535	<i>Paecilomyces variotii</i>	11239	8328	3.60	22.92	-
BCC17797	<i>Paecilomyces variotii</i>	8993	9496	9.61	3.96	-
BCC19994	<i>Paraconiothyrium estuarinum</i>	6787	7536	32.80	5.90	-
BCC4916	<i>Stilbella annulata</i>	10803	9675	-1.47	8.88	-
BCC4653	<i>Stilbella annulata</i>	4475	3531	67.97	7.43	Positive
BCC3903	<i>Stilbella emericellopsis</i>	11200	10955	-10.81	1.93	-
BCC4985	<i>Stilbella fimetaria</i>	7791	9494	16.31	13.41	-
BCC12353	<i>Stilbella holubovae</i>	10653	8845	3.99	14.24	-
BCC8283	<i>Stilbella</i> sp.	11295	11234	-12.89	0.48	-
BCC7545	<i>Stilbella</i> sp.	4313	3856	67.07	3.60	Positive
BCC4742	<i>Stilbella</i> sp.	6919	6720	36.61	1.57	-
BCC17183	<i>Talaromyces stipitatus</i>	9593	9033	8.84	4.41	-
BCC196	<i>Trichoderma asperellum</i>	4016	4182	66.90	1.31	Positive
KU 87	<i>Trichoderma asperellum</i>	9832	9988	2.19	1.23	-
BCC12530	<i>Trichoderma asperellum</i>	9234	8573	13.40	5.20	-
BCC11207	<i>Trichoderma atroviride</i>	11303	10706	-9.99	4.70	-
KU 119	<i>Trichoderma aureoviride</i>	10168	10844	-4.44	5.32	-
BCC436	<i>Trichoderma hazianum</i>	8629	11833	-1.38	25.23	-
BCC17392	<i>Trichoderma koningii</i>	5919	8181	34.04	17.81	-
BCC17716	<i>Trichoderma parceramosum</i>	3388	3389	74.82	0.01	Positive
BCC18053	<i>Trichoderma qhanense</i>	2285	2159	87.81	0.99	Positive
BCC12542	<i>Trichoderma</i> sp.	11010	12862	-20.37	14.58	-
BCC14173	<i>Trichoderma</i> sp.	11896	12486	-23.21	4.65	-
BCC20419	<i>Trichoderma</i> sp.	10194	11920	-10.58	13.59	-
BCC13402	<i>Trichoderma velutinum</i>	6816	7168	34.69	2.77	-
BCC4744	<i>Verticillium luteo-album</i>	8621	10028	8.71	11.08	-
ME+Aib		9102	9096	11.23	0.05	-
MeOH		12484	12749	-27.94	2.09	-

หมายเหตุ \* เกณฑ์การให้ผล positive คือ % inhibition มากกว่าหรือเท่ากับ 50 %

## ประวัติการศึกษา และการทำงาน

ชื่อ – นามสกุล	นางสาวสโโรชา ปัญจันวพร
วัน เดือน ปี ที่เกิด	วันที่ 20 มิถุนายน 2523
สถานที่เกิด	กรุงเทพมหานคร
ประวัติการศึกษา	วท.บ. สาขาวิชาเทคโนโลยีชีวภาพ สถาบันเทคโนโลยีพระจอมเกล้าเจ้าคุณทหารลาดกระบัง (เกียรตินิยมอันดับหนึ่ง)
ตำแหน่งหน้าที่การงานปัจจุบัน	ผู้ช่วยนักวิจัย 2
สถานที่ทำงานปัจจุบัน	ศูนย์พันธุวิศวกรรมและเทคโนโลยีชีวภาพแห่งชาติ สำนักงานพัฒนาวิทยาศาสตร์และเทคโนโลยีแห่งชาติ 113 ถนนพหลโยธิน ตำบลคลองหนึ่ง อำเภอคลองหลวง ปทุมธานี 12120
ผลงานเด่นและรางวัลทางวิชาการ	-
ทุนการศึกษาที่ได้รับ	<ol style="list-style-type: none"> <li>1. ทุนสถาบันบัณฑิตวิทยาศาสตร์และเทคโนโลยีไทย (Thailand Graduate Institute of Science and Technology, TGIST) (พ.ศ. 2549)</li> <li>2. ทุนอุดหนุนการค้นคว้าและวิจัยประเภทวิทยานิพนธ์ (พ.ศ. 2550)</li> </ol>